



وزارة التعليم العالي والبحث العلمي

جامعة كربلاء - كلية الزراعة

قسم وقاية النبات

تقييم كفاءة بعض العوامل الأحيائية في تحطيم مبيد الأدغال كلايفوسينت
في التربة ودراسة أمتازاته بأستعمال السليكا النانوية

رساله مقدمة الى مجلس كلية الزراعة - جامعة كربلاء

وهي جزء من متطلبات نيل شهادة الماجستير في علوم الزراعة - وقاية النبات

من قبل

وسن صاحب عطية الثرواني

باشراف

أ.م.د. استبرق محمد عبد الرضا

أ.م. د . مشتاق طالب محمد علي

م 2023

١٤٤٤ هـ

بِسْمِ اللَّهِ الرَّحْمَنِ الرَّحِيمِ

وَيَرَى الَّذِينَ أُوتُوا الْعِلْمَ الَّذِي أُنْزِلَ إِلَيْكَ
مِنْ رَبِّكَ هُوَ الْحَقُّ وَهُدِيَ إِلَى صِرَاطٍ
الْعَزِيزُ الْحَمِيدُ

صدق الله العلي العظيم

سورة سباء: آية (6).

الإهداء

إلى النبي الأعظم خير خلق الله الراكم النبي محمد (صل الله عليه وآله وسلم) .

إلى معلمي الأول وقدوتي إلى من رحل عن الحياة لكنه حي في ذاكرتي إلى من شرفني حمل
أسمه أبي الغالي رحمه الله.

إلى نبع الحنان وعطر الجنان إلى من ساندتنى ووقفت بجانبى وأنارت بدعائهما حياتي
والذى الغالية اطال الله فى عمرها وأمدتها بالصحة والعافية .

إلى رفيق دربي وشريك حياتي زوجي العزيز.

إلى أخوتى وأخواتى مشاطري أفراحى وأحزانى .

إلى بناتي روحي وقرة عيني ونبض فؤادى .

إلى كل من وقف بجانبى وتمنى لي الخير.

شكر وتقدير

الحمد لله والشكر له حمدًا كثيراً طيباً مباركاً حمدًا يليق بوجهه وعظيم سلطانه.....

لأيسعني وانا اكتب السطور الاخيرة من رسالي الا ان اتقدم بالشكر والامتنان لكل من مد يد العون لي للمساهمة في اتمام هذا العمل.....

وببداية أود أنأشكرمن كان لهم الدور الاكبر في مسيرتي البحثية الأستاذة المشرفين فكل الشكر وعظيم الامتنان والتقدير لصاحب الهمة العالمية والعلم الوفير الدكتور مشتاق طالب مجد علي و الى الاستاذة الفاضلة الدكتورة أستبرق مجد عبد الرضا لما قدماه لي من نصائح وتوجيهات وعلى مساعدتهم لاتمام هذه الرسالة على أكمل وجه شاكرة تفانيهم وعطائهم.....

وي ملي على واجب الوفاء أن اتقدم بجزيل الشكر والامتنان لجميع أستاذة و منتسيبي قسم وقاية النبات وفي مقدمتهم السيد رئيس القسم الدكتور علي عبد الحسين كريم والدكتورة زينب عليوي في قسم الانتاج الحيواني لتزويدني بعزلة الفطر *Trichoderma harzianum* و الدكتور علي ناظم و م.م. علي عبد الرحيم لمساعدة التي بذلوها .

والشكر الموصول لأخوتي وأخواتي من طلبة الدراسات العليا وكل من أسهם في إنجاز هذه الرسالة وساندني داعية من الله ان يوفق الجميع.

المستخلص : (Abstract)

نفذت تجارب مختبرية وحقلية في كلية الزراعة - جامعة كربلاء بهدف تقييم العوامل الاحيائية للطفر *subtilis* و *Azotobacter chroococcum* و *Trichoderma harzianum* والأنواع البكتيرية *Pseudomonas fluorescens* و *Bacillus* دورها في التحطيم الحيوي لمبيد الكليفوسيت تحت الاسم التجاري تيلر SL %48 . شملت الدراسات المختبرية تقييم تحمل و نمو العوامل الاحيائية في الاوساط الزراعية المعاملة بتركيزات مختلفة من المبيد . شملت الدراسات الحقلية دور العوامل الاحيائية في التحطيم الحيوي وقياس متبقيات مبيد الادغال الكليفوسيت عند التركيز 10 ، 15 و 20 مل لتر⁻¹ في التربة والماء باستخدام تقنية جهاز الكرومتوغرافي السائل العالي الاداء HPLC . كما تم استخدام السليكا النانوية كعامل امتصاص لأذاله المبيد من الماء .

بيّنت نتائج الدراسة المختبرية الخاصة بمعاملة الاوساط الزراعية بالتركيز 10 و 15 و 20 و 25 مل لتر⁻¹ من مبيد الكليفوسيت ، أن بكتيريا *A. chroococcum* اظهرت تجاوباً ملحوظاً في قدرتها على النمو و التحمل لتركيز المبيد المستخدمة حيث سجلت معدل قطر نموها 7.20 سم ولم تختلف معنوياً عن معاملة الفطر *T. harzianum* والذي سجل معدل قطر نمو 6.00 سم في حين بلغ أقل معدل قطر نمو 4.60 سم للبكتيريا *P. fluorescens* والتي اختلفت معنوياً عن المعاملات الأخرى. كانت التركيز 10 و 15 مل لتر⁻¹ الأفضل امتداداً و نمواً للبكتيريا *T. harzianum* ، *A. chroococcum* ، *B. subtilis* ، الفطر *T. harzianum* مسجله نمواً بلغ 9 ، 8 و 7 ، 5 سم على التوالي مقارنة بمعاملة المقارنة التي حققت 9 سم ، فيما حققت البكتيريا *P. fluorescens* امتداد نمو بلغ 6 ، 4 سم على التوالي .

أوضحت نتائج دراسة النسبة المئوية لتنشيط البكتيريا *T. harzianum* *A. chroococcum* والفطر *T. harzianum* ان على نسبة تنشيط بفعل مبيد الكليفوسيت كانت للبكتيريا عند تركيز المبيد 20 مل لتر⁻¹ بنسبة مئوية بلغت 58.30 % وبفارق معنويّة عن معاملة الفطر *T. harzianum* التي سجلت نسبة تنشيط مئوية 66.70 % عند التركيز نفسه . سجل التركيز 10 مل لتر⁻¹ أقل نسب التنشيط 18.90 و 55.60 % للبكتيريا و الفطر و على التوالي ، في ضوء النتائج المستحصلة تم انتخاب ثلاثة تركيز هي 10 ، 15 و 20 مل لتر⁻¹ مع اختيار البكتيريا *A. chroococcum* والفطر *T. harzianum* للتجارب الحقلية .

اظهرت نتائج دراسة تقييم الفطر والبكتيريا في التحطيم الحيوي لمبيد الكليفوسيت في التربة ان التركيز الثلاثة المستخدمة 10 ، 15 و 20 مل لتر⁻¹ ماء سجلت 4238 ، 6176 ، 7933 ، 4126 و 6050 ، 7353 ملغم لتر⁻¹ لكل من معاملة الفطر والبكتيريا على التوالي بعد المعاملة مباشرة مقارنة بمعاملة المقارنة

التي سجلت 4640 ، 6828 ، 8725 ملغم لتر⁻¹ ، ثم بدا تركيز المبيد بالانخفاض بعد 3 يوم من المعاملة مسجلا 1552 ، 2235 ، 3096 و 1132 ، 1955 ، 2626 ملغم لتر⁻¹ على التوالي. في اليوم السابع انخفضت التراكيز مسجلة 975 ، 1227 ، 1227 و 1970 ، 942 ، 541 ، 1242 ملغم لتر⁻¹ على التوالي مقارنة بمعاملة المقارنة التي سجلت 1493 ، 3675 و 4536 ملغم لتر⁻¹ ، في اليوم العاشر لم تسجل اي متبقيات في التربة .

بينت نتائج دراسة تقدير متبقيات مبيد الكليفوسينت في الماء لمدة 15 يوماً ، ان التراكيز الثلاثة المستخدمة 10 ، 15 و 20 مل لتر⁻¹ ماء سجلت 3520 ، 5600 و 7955 ملغم لتر⁻¹ على التوالي بعد المعاملة مباشرة ، ثم بدا تركيز المبيد بالانخفاض وبمرور الايام قيد الدراسة لحين الوصول الى 822 ، 2011 و 3652 ملغم لتر⁻¹ على التوالي في اليوم السابع . ان التراكيز انخفضت في اليوم العاشر مسجلة 356 و 852 و 1203 ملغم لتر⁻¹ على التوالي ، وبعدها عند اليوم 15 لم يتحسس جهاز HPLC لأي تركيز من التراكيز المستخدمة في معاملة الماء .

اشارت نتائج دراسة استخدام السليكا النانوية كعامل امتصاص في ازالة مبيد الكليفوسينت في الماء ان التركيز 200 ملغم لتر⁻¹ حق اعلى معدل في ازالة للمبيد و بنسبة مؤدية بلغت 89.37 % متفوقا على التراكيز الاخرى 100 و 150 ملغم لتر⁻¹ التي حققت 63.45 و 82.87 % على التوالي.

قائمة المحتويات

الصفحة	الموضوع	الترتيب
1	المقدمة	1
3	استعراض المراجع	2
3	التلوث البيئي بالمبيدات	1-2
4	الكلايفوسيت	2-2
5	آلية عمل الكلايفوسيت في النباتات المعاملة	3-2
7	المعالجة البيولوجية	4-2
8	مسار تحلل الكلايفوسيت في التربة	5-2
10	العامل التي تحكم في التحلل الحيوي للمبيدات	6-2
10	تأثير التركيب الكيميائي وتركيزه	1-6-2
11	الكائنات الحية الدقيقة	2-6-2
11	تأثير نوع التربة والمعذيات	3-6-2
12	العوامل البيئية	4-6-2
12	درجات الحرارة	1-4-6-2
12	درجة الحموضة و المحتوى المائي للتربة	2-4-6-2
13	العامل الاحيائى المستخدمة في الدراسة	7-2
13	العامل الاحيائى الفطري <i>Trichoderma harzianum</i>	1-7-2
14	العامل الاحيائى البكتيري <i>Azotobacter chroococcum</i>	2-7-2
15	العامل الاحيائى البكتيري <i>Pseudomonas fluorecens</i>	3-7-2
16	العامل الاحيائى البكتيري <i>Bacillus subtilis</i>	4-7-2
17	استخلاص وتنقية بقايا المبيدات	8-2
19	كافأة الاسترجاع	9-2
19	التقانة النانوية	10-2
21	المواد وطرق العمل	3
21	الأجهزة والمواد المستخدمة لإجراء التجارب في الدراسة	1-3

21	الأجهزة والادوات المستخدمة في التجارب المختبرية	1-1-3
22	المواد الكيميائية والمبيدات المستخدمة لإجراء التجارب في الدراسة	2-1-3
23	الأوساط الزرعية المستخدمة في الدراسة	2-3
23	الوسط الغذائي (NA) Nutrient Agar (NA)	1-2-3
23	وسط المرق الغذائي (NB) Nutrient Broth (NB)	2-2-3
23	وسط البطاطا الغذائي (PDA) Potato Dextrose Agar(PDA)	3-2-3
24	وسط البطاطا دكستروز السائل (P.D.B.) PotatoDextroseBroth	4-2-3
24	الأحياء المجهرية المستعملة في الدراسة	3-3
24	حفظ العينات قيد الدراسة	4-3
24	تنمية عزلة الفطر <i>Trichoderma harzianum</i>	5-3
24	تنمية عزلات الانواع البكتيرية الثلاثة قيد الدراسة	6-3
25	اللصاق البكتيري	7-3
25	حساب الكثافة العددية للبكتيريا <i>B.subtilis</i> و <i>A.chroococcum</i> و <i>P.fluorescens</i>	8-3
25	قياس درجة التوافق بين الأحياء المجهرية ومبيد الادغال الكليفوسيت مختبرياً	9-3
25	اختبار تأثير مبيد Glyphosate في نمو العزله الفطرية <i>T. Harzianum</i>	1-9-3
26	اختبار تأثير مبيد Glyphosate في نمو العزلات البكتيرية <i>P. fluorescens</i> و <i>B. subtilis</i> و <i>A. chroococcum</i>	2-9-3
26	تحضير لاصق البكتيريا <i>A.chroococum</i>	10-3
26	تحضير لاصق الفطر <i>T. harzianum</i>	11-3
26	التجارب الحقلية	12-3
26	تعقيم التربة المستخدمة في التجارب الحقلية	1-12-3
27	تحليل التربة	2-12-3
27	دراسة كفاءة <i>T. harzianum</i> و <i>A. chroococcum</i> في تحلل مبيد الكليفوسيت في التربة حقلياً	13-3
28	تقدير متبقيات مبيد الكليفوسيت في الماء	14-3
28	الاستخلاص لمتبقيات مبيد الكليفوسيت من التربة	15-3
29	الاستخلاص لمتبقيات مبيد الكليفوسيت من الماء	16-3

29	الكشف والتحليل	17-3
30	استخدام السليكا النانوية المحبة للماء كعامل امتراز لأزاله المبيد	18-3
30	تحضير المنحني القياسي	1-18-3
32	المنحني القياسي	2-18-3
32	زمن الاتزان	3-18-3
33	امتراز المبيد باستخدام السليكا النانوية المحبة للماء	19-3
33	تصميم التجارب وتحليلها إحصائيا	20-3
34	النتائج والمناقشة	4
34	اختبار تأثير مبيد Glyphosate في نمو العزلات البكتيرية <i>A. chroococcum</i> و <i>B. subtilis</i> و <i>P. fluorescens</i> و <i>T. harzianum</i> الفطر	1-4
37	تأثير مبيد الكلايفوسيت على النسبة المئوية للتباطط في بكتيريا <i>A. chroococcum</i> و الفطر <i>T. harzianum</i> مختبريا	2-4
38	تقدير كفاءة <i>A. chroococcum</i> و <i>T. harzianum</i> في تلاشي مبيد الكلايفوسيت في التربة حقلياً	3-4
42	تقدير متبقيات مبيد الكلايفوسيت في الماء	4-4
44	فحص السليكا النانوية	5-4
45	استخدام السليكا النانوية المحبة للماء كعامل امتراز لأزاله المبيد	6-4
47	الاستنتاجات والتوصيات	5
47	الاستنتاجات	1-5
47	التوصيات	2-5
48	المصادر	6
48	المصادر العربية	1-6
50	المصادر الأجنبية	2-6
72	الملاحق	7

قائمة الجداول

الصفحة	عنوان الجدول	رقم الجدول
5	الخصائص الكيميائية والفيزيائية لمبيد الكليفوسين	جدول 1
12	الظروف البيئية المثلثة لتدحرج الملوثات بمicroبات التربة	جدول 2
21	الأجهزة والأدوات المستخدمة	جدول 3
22	المواد الكيميائية والمبيبات المستخدمة	جدول 4
23	الأوساط الزراعية المستخدمة	جدول 5
27	بعض الخواص الفيزيائية والكيميائية للتربة المستعملة في الدراسة	جدول 6
28	تواترخ وأوقات أخذ عينات التربة بعد معاملتها بمبيد الكليفوسين وبالتركيز الموصى به 10 و 15 و 20 مل / لتر	جدول 7
33	تقدير زمن الاتزان لامتزاز السليكا النانوية	جدول 8
37	تأثير مبيد الكليفوسين على النسبة المئوية لتنشيط بكتيريا <i>T. harzianum</i> و <i>A. chroococcum</i>	جدول 9
45	تقدير زمن الاتزان	جدول 10

قائمة الاشكال

رقم الشكل	عنوان الشكل	الصفحة
شكل 1	التركيب البنائي لمبيد الكلايفوسيت	5
شكل 2	تأثير Glyphosate في تصنيع الاحماس الامينية الحلقة PPT	6
شكل 3	مسار تحلل الكلايفوسيت في التربة	9
شكل 4	خطوات عمل طريقة QuEChERS في استخلاص متبقيات المبيدات	18
شكل 5	مخطط توضيحي لمكونات جهاز HPLC	19
شكل 6	منحنى المادة القياسية للمبيد كلايفوسيت	29
شكل 7	المنحنى القياسي لمبيد الكلايفوسيت	32
شكل 8	تأثير مبيد Glyphosate عند التراكيز 10 ، 15 مل / لتر في نمو العزلات البكتيرية <i>P. fluorescens</i> و <i>B. subtilis</i> و <i>A. chroococcum harzianum</i> و الفطر <i>T. harzianum</i>	34
شكل 9	تأثير مبيد Glyphosate عند التراكيز 20 ، 25 مل / لتر في نمو العزلات البكتيرية <i>P. fluorescens</i> و <i>B. subtilis</i> و <i>A. chroococcum harzianum</i> و الفطر <i>T. harzianum</i>	35
شكل 10	تلاشي بقايا مبيد Glyphosate ملغم لتر ⁻¹ في التربة بعد المعاملة مباشرة	38
شكل 11	تلاشي بقايا مبيد Glyphosate ملغم لتر ⁻¹ في التربة بعد 3 يوم من المعاملة	39
شكل 12	تلاشي بقايا مبيد Glyphosate ملغم لتر ⁻¹ في التربة بعد 7 يوم من المعاملة	39
شكل 13	13 تلاشي بقايا مبيد Glyphosate ملغم لتر ⁻¹ في التربة بعد 10 يوم من المعاملة	40
شكل 14	تلاشي بقايا مبيد Glyphosate ملغم لتر ⁻¹ في التربة بعد 15 يوم من المعاملة	40
شكل 15	تلاشي بقايا مبيد Glyphosate ملغم / لتر في الماء باستعمال 3 تراكيز مع عامل الوقت	42
شكل 16	تلاشي كميات المبيد Glyphosate (ملغم / لتر) في الماء بعد 10 يوم	43
شكل 17	حجم دفائق أوكسيد السليكا النانوية	44
شكل 18	استخدام السليكا النانوية كعامل في إزالة مبيد الكلايفوسيت في الماء	46

قائمة المختصرات

الدلالة	المختصر
Aluminium oxide	Al ₂ O ₃
Alpha-Amino-3-Hydroxy-5-Methyl-4-Isoxazole Propionic Acid	AMPA
DataTraveler 50	DT50
Energy Dispersive X-Ray	EDX
European Food Safety Authority	EFSA
Enolpyruvylshikimic acid-3-Phosphate Synthase	EPSP
Food Agriculture Organization	FAO
High Performance Liquid Chromatography	HPLC
Maximum Residue Limits	MRLs
Post Exposure Prophylaxis	PEP
Part per million	PPm
Primary Secondary Amen	PSA
Scanning Electron Microscopy	SEM
Tricalcium phosphate	TCP
United States Environmental Protection Agency	USEPA
World Health Organization	WHO

اولاً : المقدمة : (Introduction)

أحدث الأستعمال المفرط لمبيدات الادغال اضراراً بالنظام البيئي وخلق تهديداً لاستدامة النظام الزراعي ، (عباس واخرون، 2015). ، ومن بين اهم المبيدات المستخدمة للمكافحة في العراق مبيد الادغال كلایفوسیت Glyphosate وهو من مبيدات الادغال الجهازية الواسعة النطاق والذي يستخدم لمكافحة طيف واسع من الادغال ، تم ادخال مبيد الكلایفوسیت لمكافحة الحشائش في حقول الإنتاج الزراعي في عام 1974 تحت الاسم التجاري راوند اب Roundup من قبل شركة مونсанتو Monsanto (الرديني و ماهر ، 2015 ; AL-Safor ، 2012) . قدر الاستهلاك العالمي من مبيد الكلایفوسیت ما يقارب 8.6 مليار / لتر منذ عام 1974 (Benbrook ، 2016) .

أدى زيادة استخدام الكلایفوسیت بشكل متكرر و غالباً بجرعات أعلى من الموصى بها الى تراكم كميات كبيرة وزائدة في التربة وبالتالي وصوله الى المياه الجوفية ومياه المبارل عن طريق غسل التربة بالأمطار Jayasumaua ، 2014 .) . صنفت الوكالة الدولية لأبحاث السرطان مبيد الكلایفوسیت على أنه من الفئة I2 ، والتي حددت كمادة مسرطنة محتملة للإنسان (IARC ، 2017). حيث اكتشفت آثار الكلایفوسیت في عينات الادرار ، مما يسلط الضوء على استمراره ، وتراممه البيولوجي والمخاطر الصحية المحتملة (Niemann وآخرون ، 2015) . يمكن تحقيق تحلل الكلایفوسیت باستخدام الوسائل اللاحيائية والاحيائية ، مثل الامتصاص ، والتحلل الضوئي ، والحراري ، والمائي والبيولوجي باستخدام الكائنات الحية الدقيقة. في الآونة الأخيرة ، ظهر استخدام تقنية photocatalyst مع اشعة UV فوق البنفسجية في دائرة الضوء لقدرته على معالجة الملوثات. يمكن أن تودي هذه التقنية إلى تحلل الكلایفوسیت إلى مركبات غير سامة مثل ثاني أكسيد الكربون والماء والأيونات غير العضوية (Wang وآخرون 2016 ،) .

كشفت العديد من الدراسات عن قدرة الكائنات الحية الدقيقة كأداة قوية ومفيدة في المعالجة الحيوية ومن بينها دراسة تهدف الى تحديد السمية البيئية للكلایفوسیت وتحله البيولوجي وانه يمكن تحقيق تحلل الكلایفوسیت باستخدام العوامل الأحيائية ، مثل اجناس معينه من الفطريات و البكتيريا، أثبتت طريقة التحلل هذه أنها مثالية لإزالة متبقيات مبيد الكلایفوسیت قد تكون هذه الاستراتيجية الصديقة للبيئة حلاً واعداً للتغلب على المخاطر البيئية والصحية الناتجة عن الكلایفوسیت ومخلفاته Singh وآخرون (2020) .

اشارت العديد من الدراسات الى ازالة الملوثات من البيئة ومن التربة باستخدام الاحياء المجهرية الدقيقة التي تم عزلها من الترب الملوثة بالمبيدات ، على سبيل المثال استعملت انواع جنس البكتيريا *Pseudomonas sp* *Flavobacterium johnsoniae* و *Klebsiella oxytoca* (Zhang وآخرون ، 2005) . كما استخدمت بكتيريا

. (2013 . Zhang) *Bacillus subtilis* 2017 (. Alvarado-Gutiérrez) وبكتيريا Arya) *Stenotrophomonas sp* ، *Brevibacillus borstelensis* ، *Streptomyces sp* و Sharma 2015) . اثبتت جميع هذه الدراسات ان هذه الاحياء الدقيقة لها قدرة عالية في ازالة الملوثات العضوية من التربة .

يعد الامتياز من العمليات الواعدة ايضا في معالجة المياه بسبب مزايا كفاءة الازالة العالية (Zhou 2017) . ولأهمية مبيد الكليفوسينت في مكافحة الأدغال ولكثره استخدامه أهتم الكثير من الباحثين والمختصين في إجراء دراسات حول آلية إمتياز المبيد في الماء (Sophiphun 2022) . ومن أكثر المواد المستخدمة في إمتياز الملوثات المائية هو الكاربون ، الا أنه مكلف ويصعب تجديد المادة الممتازة فيه (Mojiri 2020) . لذلك اقترحت بعض الدراسات استخدام السليكا النانوية غير المتبلورة وهي مادة بديلة لإمتياز الكليفوسينت وقد أثبتت الدراسات قدرتها على إمتياز المبيد وهي غير مكلفة ويمكن تحضيرها والحصول عليها بسهولة (Chindaprasirt 2020) .

استعمال المركبات النانوية Nanocomposites في ازالة المبيدات الكيميائية ومتبيقاتها تعد من التطبيقات الواعدة (Cheng Hee Joo 2006) . كما اثبتت المركبات النانوية كفاءتها كمواد نانوية ماصة ممتازة Nano adsorbents وتم اجراء البحث عليها بشكل واسع بسبب زيادة قدرتها على الامتصاص ، والتشتت ، والاستقرار الديناميكي الحراري والفيزيائي والكيميائي في الوسائط المائية ، علاوة على ذلك تتميز المركبات النانوية الممتازة بانها ذات مساحة سطح عالية محددة وفعالة في إزالة المواد العضوية (Bruckmann 2022) .

لذا هدفت الدراسة الى

- 1- تقييم فعالية بعض الكائنات العوامل الأحيائية (الفطر والانواع البكتيرية) مختبرياً وحقلياً في تحلل مبيد الأدغال كليفوسينت.
- 2- تقدير بقايا المبيد في التربة والماء بـاستعمال تقنية الكروماتوغرافي السائل العالي الأداء HPLC.
- 3- تقييم كفاءة مركب السليكا النانوية المحبة للماء في إزالة مبيد الكليفوسينت من الأوساط المائية مختبرياً .

ثانياً : استعراض المراجع : (Literatures Review)

2 - التلوث البيئي بالمبيدات

على الرغم من الدور البارز والكبير الذي تؤديه المبيدات الكيميائية في المجال الزراعي والصحي ، الا أن معظم الدراسات والابحاث تتفق أن الاستخدام الواسع وغير العقلاني لتلك المبيدات يؤدي الى تلوث البيئة وينعكس ذلك سلبا على الانسان والحيوان والكائنات الحية الاخرى (العادل ، 2006) . يعد التلوث البيئي من اهم المشاكل العصرية التي ازدادت خلال القرن العشرين نتيجة تطور التكنولوجيا و التنمية الصناعية ، فضلا عن الزيادة الهائلة في معدل عدد السكان الذي تسبب بزيادة الطلب على الغذاء والماء ، مما سبب ضغطا هائلا على الموارد البيئية تبعه زيادة استخدام المبيدات التي ادت الى تلوثها (Hari و Karishma ، 2015) . استخدام المبيدات الكيميائية يعد عامل حاسما في الزراعة ، اذ يؤدي استعمالها الى زيادة الانتاج النباتي نتيجة القضاء على الآفات المختلفة . اشارت منظمة الفاو للزراعة والاغذية العالمية ان استخدام مبيدات الآفات ارتفع بنسبة 36 % خلال العقود الماضيين كما قدر الاستهلاك العالمي للمبيدات 4.2 مليون طن خلال عام 2019 (FAO ، 2019) . ترك هذه المبيدات مخلفاتها بشكل حر او مقيد في النظام البيئي مثل التربة و الماء وفي المواد الغذائية التي يستهلكها الانسان . لذلك يتعرض المستهلكون للمواد الغذائية و مصادر الماء الى حالات التسمم نتيجة انتقال هذه الملوثات الى اجسامهم (Hakeem و آخرون ، 2016) .

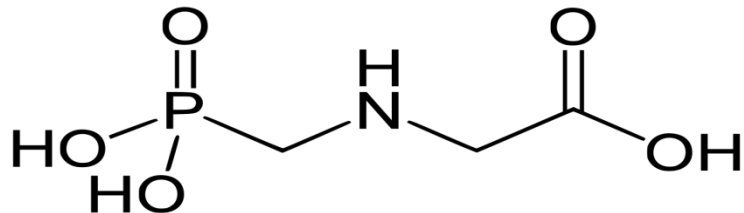
تعد دراسة متبقيات المبيدات الكيميائية من المواضيع المهمة في جميع الدول النامية ومن ضمنها العراق لان بعض المزارعين لا يلتزمون بالمددة ما بعد استخدام المبيد وكذلك بالجرعات الموصى بها من قبل الشركة المنتجة لضمان جاهزية المنتج للاستهلاك البشري (الغزي وآخرون،2011). حيث حرصت دول العالم والمنظمات الدولية كمنظمة الصحة العالمية (WHO) ومنظمة الغذاء والزراعة (FAO) ووكالة حماية البيئة الأمريكية (USEPA) وهيئة سلامة الأغذية الأوربية (EFSA) بإصدار الحدود القصوى للمتبقيات (MRLs) (Giulia) وآخرون (2022،

نتيجة الاستعمال المفرط وغير العقلاني للمبيدات ادى الى انتشار الامراض السرطانية والمخاطر البيئية الاخرى كنتيجة طردية لمتبقيات المبيدات وبهذا يتطلب الاستعمال الامثل للمبيدات والتقييد بشروط استعمال من الامور المهمة لتقليل الاضرار الناجمة عن متبقياتها (Wilbert،2019). تشكل مبيدات الادغال النسبة الاعلى 53 % من نسبة مبيدات الآفات المستهلكة عالميا مقارنة مع المبيدات الفطرية 23 % و المبيدات الحشرية 18 % و المبيدات الاخرى 6 % حسب تقرير منظمة الغذاء و الزراعة العالمية لعام 2020 (FAO ، 2020) . يعد الاستخدام المكثف

لمبيدات الادغال بصورة عامة ومبيد Glyphosate بصورة خاصة احد المشاكل البيئية المهمة بسبب المخاطر المحتملة للمواد الكيميائية على سير العمليات الحيوية للأحياء غير المستهدفة والتي تقود عمليات عده منها تحطيم المواد العضوية ، و تحرير العناصر المعدنية فضلا عن تحطيم المكونات المعقدة في التربة (Zobiole واخرون،2009). هنالك عده عوامل تساعد على خفض كمية متبقيات المبيدات منها إمتزاز المبيد من قبل مكونات التربة و غسل المبيد بواسطة مياه الأمطار و التقاط المبيد من قبل النبات والحيوان وكذلك التبخر بصورة مباشرة أو غير مباشرة و حمل المبيد ونقله بواسطة الرياح بينما ننظر الى البيئة كوحدة واحدة نجد أن هذه العمليات لم تخفض من كمية متبقيات المبيدات(شعبان ونزار، 2022). الا أن العمليات التي تعمل حقيقة على خفض وازالة تلك المتبقيات هي تلك العمليات التي تتم من خلال الكائنات الدقيقة والتربة وضوء الشمس، ودرجة الـ pH، والحرارة والعوامل المساعدة في التربة وانزيماتها اذا تعمل هذه العوامل على تحللها وخفض كميتها في البيئة (شعبان و نزار، 2022).

2-2 : الكليفوسيت (Glyphosate)

الكليفوسيت مبيد أدغال جهازي غير انتقائي Non selective يكون على هيئة سائل مركز قابل للذوبان في الماء (البريدي واخرون ، 2016) يعود الى مجموعة الفسفور العضوية المصنعة شكل 1 ، يستعمل لمكافحة جميع الادغال الحولية والمummerة رفيعة وعربيضة الاوراق بعد البزوغ post-emergence في البساتين والاراضي الزراعية وقوافل الري والبزل وكذلك جوانب الطرق، ويستخدم على نطاق واسع في حماية المحاصيل من الأعشاب الضارة المummerة كالحلفا و القصب و الثيل Singh واخرون ، (2020). اكتشف من قبل Franz وقدمته شركة Monsanto في عام 1974 تحت الاسم التجاري Roundup ، ومنذ ذاك الوقت استخدم الكليفوسيت على نطاق واسع وبعد مبيد الاعشاب الأكثر مبيعاً في تاريخ البشرية (Duke, 2018). بعض اسمائه التجارية الشائعة هي Control,Weed ,Glysat ,Glyphosul ,Glyphosate ,Herbazed ,Glyfolod ,Kalach ,Clean up Glyphosate- Glyphosate- ، اما الاسم الشائع لمبيد الكليفوسيت هو Benbrook) master, Round-up Marcel و Baer (2014 ، 2016). يؤثر مبيد الكليفوسيت سلبا في العمليات الفسيولوجية في النبات كالتركيب الضوئي وتنشيط النتروجين وايضا الكربون حتى عند استخدامه بترراكيز واطئة Geiger واخرون، 1999 ، Riberio واخرون ، (2008).



شكل (1) التركيب البنائي لمبيد الكلايفوسيت (Marcel Baer ، 2014) .

جدول (1) الخصائص الكيميائية والفيزيائية لمبيد الكلايفوسيت (دلالي و اخرون ، 2002) .

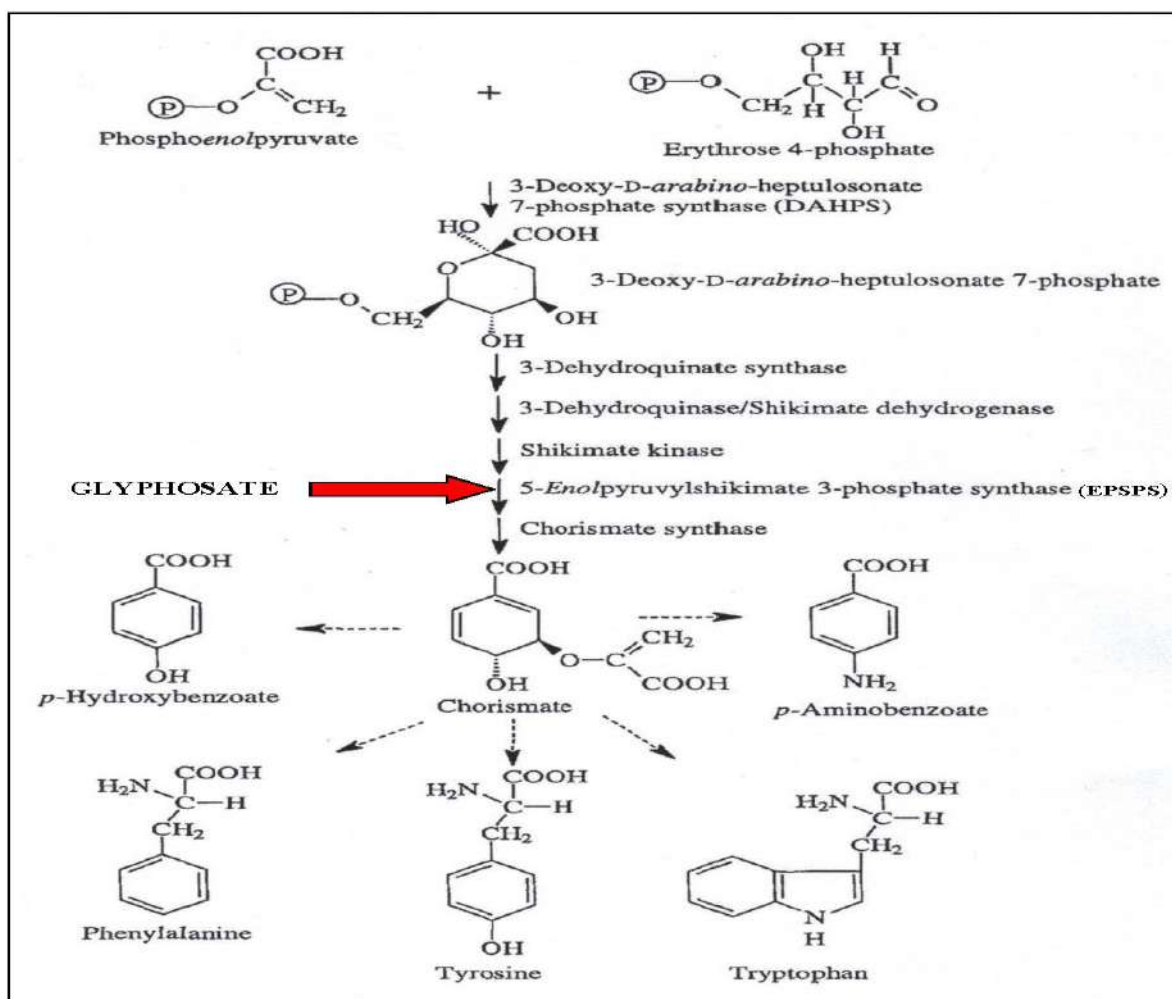
الاسم الكيميائي	N-(phosphomethyl) glycine
الاسم الشائع	Glyphosate
الوزن الجزيئي	228.2 غم / مول
الثباتية	ثابت في 60 ° م. ثابت في الضوء.
درجة الانصهار	200 °
قابلية الذوبان	سرير الذوبان في الماء ، لا يذوب في المذيبات العضوية الشائعة كالأسيتون ، الايثانول و الزايلين . تذوب املاح الامين في الماء بسرعة .
المستحضرات	36%SL ، 48%SL
معدل الاستعمال	2.5 لتر / دونم
الحد المسموح تناوله يوميا	0.3 ملغم / كغم من وزن الجسم

3-2 : آلية عمل الكلايفوسيت في النباتات المعاملة

ترتکز آلية عمل مبيد الكلايفوسيت في النباتات المعاملة على تثبيط نشاط الانزيم (EPSP) ، وهذا الانزيم ضروري لتخليق الأحماض الأمينية العطرية مثل phenylalanine tryptophan tyrosine (Kanissery et al., 2019) . يمكن أن يعمل الكلايفوسيت أيضًا كمثبط تنافسي للفوسفوفينول بيروفات (PEP) والذي يدخل ايضا في تخليق الأحماض الأمينية العطرية شكل (2) (Lyydia et al., 2021) . يؤدي تراكم الكلايفوسيت في القمم النامية للجذور والفروع إلى خلل في عملية التبادل الاليوني والعناصر من خلال خفض جاهزية تلك العناصر الحرة اذا ان للمبيد القابلية العالية على عمل معقدات

مع العناصر ثنائية التكافؤ مثل الكالسيوم والمغنيسيوم والمنغنيز والحديد ، وهذه العناصر ببساطة تتحدد مع جزيئات الكاربوكسيل والفوسفات للمبيد وتكون معقدات ذات ثباتية عالية (Barja وآخرون ، 2001) . يؤثر المبيد أيضا على تمثيل الكاربون في عملية التركيب الضوئي وعملية نقل السكروز في النبات (Geiger وآخرون ، 1999 ، Riberio وآخرون ، 2008) . يسبب المبيد خلل في استيعاب النترات وتنشيط النتروجين في النباتات المعاملة (King وآخرون ، 2001 ، De Maria وآخرون ، 2006 ، Bellaloui وآخرون ، 2006) .

تؤكد الدراسات والبحوث أن الايونات ثنائية التكافؤ تقل جاهزيتها للنبات عند المعاملة بالمبيد والذي يمكن عده أحد السلبيات غير المباشرة للمبيد بتأثيره على المحاصيل التي تزرع لاحقاً بعد اجراء المكافحة والتي تعد نباتات غير مستهدفة في عملية المكافحة (Buehting وآخرون 2007 : Rolder وآخرون 2007) .



شكل (2) تأثير glyphosate في تصنيع الاحماس الامينية الحلقة PPT

واخرون ، 2021 (Lyydia)

2 – 4 : المعالجة البيولوجية

تعرف المعالجة البيولوجية بانها تقنية يستعمل فيها الكائنات الحية الدقيقة مثل البكتيريا و الفطريات فتسمى Bioremediation او تستخدم فيها النباتات فندعى Phytoremediation . تعمل هذه التقنية على تحويل الملوثات السامة في البيئة الى مركبات غير سامة او قليلة السمية (Dash ، 2014) . تتميز هذه الطرق بانها اقتصادية وفعالة في معالجة ملوثات مختلفة (Bharadwaj وآخرون ، 2016) . تتم عملية المعالجة الحيوية بعد قيام الاحياء الدقيقة بإفراز انزيماتها في تحليل الملوثات العضوية للاستفادة منها من خلال عملية ازالة السموم Detoxification تتحول فيها الملوثات الى مركبات غير عضوية مثل احادي اوكسيد الكاربون و الماء و الميثان (Schoefs ، 2004) .

تعتمد المعالجة البيولوجية على استعمال الكائنات الدقيقة كالبكتيريا والفطريات و البكتيريا الشعاعية لتقليل مستويات التلوث سواء في التربة او في الماء . اذ تتميز هه الكائنات بقدرتها على تحليل المبيدات و الاستفادة منها كمصدر للطاقة (María وآخرون ، 2021) . تهاجم انزيمات البكتيريا الاوامر الكيميائية و تكسرها الى جزيئات صغيرة محولة هذه المركبات الى مواد او نواتج اقل سمية او غير سامة (Gupta وآخرون ، 2019) . اشارت العديد من الدراسات الى ازالة الملوثات البيئية من التربة باستخدام الاحياء المجهرية الدقيقة التي تم عزلها من الترب الملوثة بالمبيدات ، على سبيل المثال استعملت انواع جنس البكتيريا (Zhang) *Pseudomonas* sp و *Klebsiella oxytoca* Alvarado-Gutiérrez و *Flavobacterium johnsoniae* و بكتيريا (Streptomyces sp و *Bacillus subtilis* و *Stenotrophomonas* sp و *Brevibacillus borstelensis* Sharma Arya) . اثبتت جميع هذه الدراسات ان هذه الاحياء الدقيقة لها قدرة عالية في ازالة الملوثات العضوية من التربة .

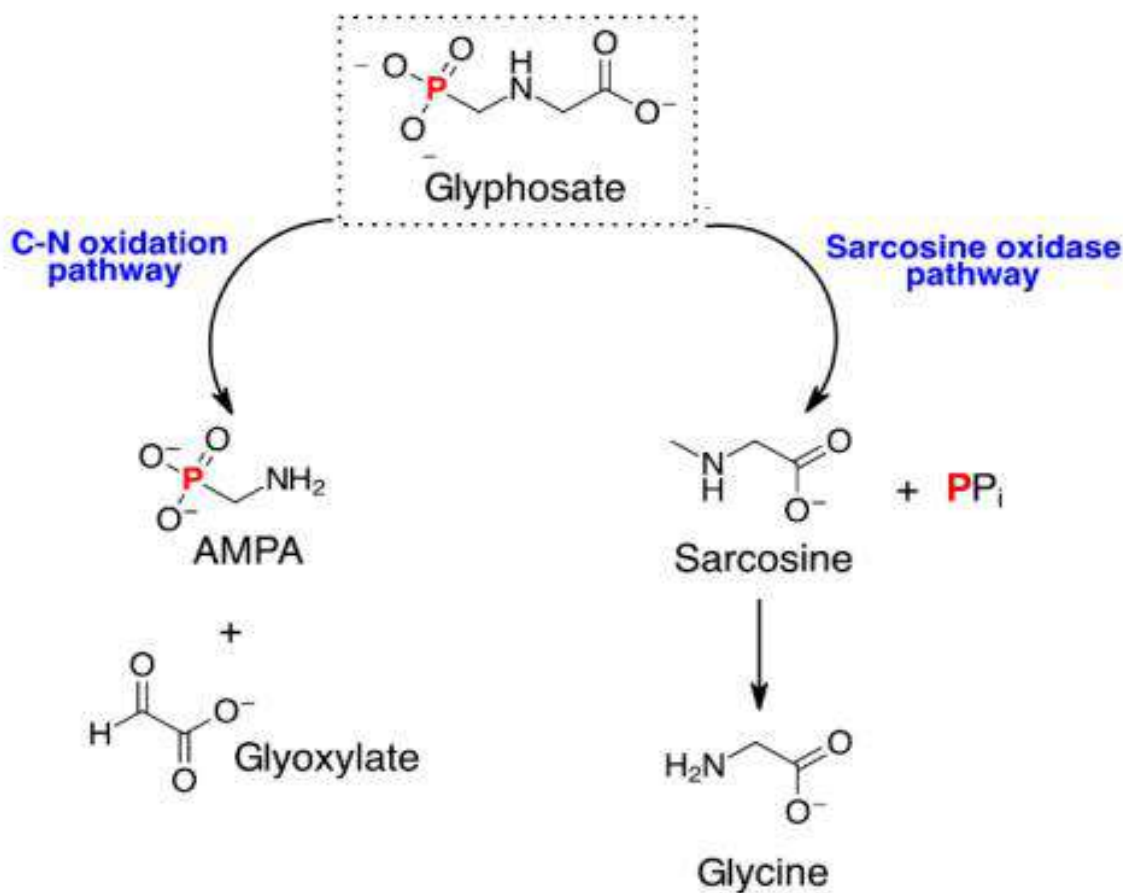
أوضحت دراسات اخرى ان العديد من السلالات الفطرية ، التي تنتمي بشكل اساسي إلى أنجاس قليلة مثل *Aspergillus* و *Trichoderma* و *Fusarium* و *Mucor* و *Penicillium* ، لها القدرة على تحمل و تحليل الكلايفوسيت في التربة . حيث وجد ان الفطر *Penicillium chrysogenum* كان قادرًا على النمو في وجود تركيزات عالية من مبيد الكلايفوسيت وكذلك ايضا بالنسبة للجنسين *Fusarium solani* و *Fusarium oxysporum* ، والتي أظهرت تحمل جراثيم عالية جدا من المبيد و قدرتها على التحليل و بكفاءة اقل من البكتيريا (Sudol و Krzysko-Lupicka ، 2001 ، 2008) . ان كسر الاصرة C-P في مبيد Klimek (2001) هو عن طريق دراسة *Pseudomonas spp* ، هناك مصادر الكلايفوسيت بواسطة بكتيريا *radio respirometry* ، بينما الفورمالدهايد تنهى ان كاربون هذه الاصرة يؤكسد الى CO_2 بسبب التحلل البايولوجي للمبيد كمصدر للفسفور ، بينما الفورمالدهايد

والفورمات مركبات احادية الكاربون تقدر ان تتحد مع tetrahydrofolate كعامل مساعد ، ويمكن اكسدة المركبين الى CO_2 بواسطة بكتيريا G2982 P، تشير النتائج ان المسار الأيضي لتحلل المبيد هو تكوين glycine (Jacob وآخرون، 1985). اشارت البحوث ان السلالات البكتيرية *Ochrobactrum intermedium* Sq20 ، و *Achromobacter sp* LW9 ، و *Agrobacterium radiobacter* SW9 للفسفور أو الكربون (Firdous وآخرون ، 2018 ؛ McAuliffe وآخرون ، 1990) . بين Gurikar وآخرون (2016) كفاءة البكتيريا *Azotobacter chroococcum* في التحلل البيولوجي لمبيد الكليفوسيت ، حيث تعد أنواع بكتيريا *Azotobacter* فعالة في تثبيت أعلى كمية من النيتروجين (29.21 ميكروغرام NmL^{-1} يوم $^{-1}$) ، وإنما حامض اندول اسيتك (24.50 ميكروغرام لتر) وحامض الجبريليك (15.2 ميكروغرام 25 مل $^{-1}$) ، وتشكيل منطقة ذوبان أكبر للفوسفات (13.4 ملم).

للمعالجة الحيوية أيجابيات منها سهولة تطبيقها و ان لها القدرة العالية في تحليل اغلب الملوثات العضوية تقوم الكائنات بتحطيم كل الملوثات في اغلب الاحيان ، و لا تل JACK الى تكوين ملوثات وسطية و تتميز هذه التقنية بانها لا توثر في الانشطة الطبيعية . وفيما يخص مساوئها و معوقاتها انها غير قادرة على تحليل بعض المركبات الخطيرة وانها تحتاج الى ظروف بيئية مثل لتوفر احياء التربة المجهرية ومن جانب اخر يتاثر نمو الاحياء المجهرية بدرجة الحرارة والرطوبة ودرجة الحموضة ، كما يعد الوقت العامل الاهم لأن المعالجة الحيوية تحتاج وقتا طويلا مقارنة بالطرق الاخرى كالحرق او الحفر لهذا تستغرق وقتا طويلا (Endeshaw وآخرون ، 2017) .

2-5 : مسار تحلل الكليفوسيت في التربة

أن مركب AMPA اكثر ثباتاً و خطورةً من الكليفوسيت في البيئة او التربة (Bruggen وآخرون ، 2018). يؤدي الى احداث الاجهاد التأكسدي في الحيوانات اضافة الى ذلك يتسبب في تلف DNA واعاقة تخلق mRNA وآخرون ، 2015) . عملية التحطيم الحيوي للكليفوسيت في التربة الى مركبات AMPA ، glycine و sarcosine تعتمد على نوع الكائنات الدقيقة الحية و التي تحدد بدورها المسار شكل (3) .



شكل 3 . مسار تحلل الكليفوسيت في التربة (Cecilia و Maggi ، 2018) .

يتضمن المسار الأكثر شيوعاً المتمثل بأكسدة C-N ، حيث تحلل الكائنات الحية الدقيقة الكليفوسيت مثل البكتيريا والفطريات محرر منه AMPA و Glyoxylate ، و الذي يستخدم لاحقاً كمصدر للكربون (Cecilia و Maggi ، 2018). وهناك مسار تحلل آخر ، من خلال اكسدة الساركوزين ، والذي يؤدي في النهاية إلى الحصول على مصدر للفسفور . في هذا المسار تتم معالجة الساركوزين أيضاً إلى الجلايسين Glycine بدلأً من AMPA ، مما يجعل هذا المسار الصديق الأفضل للبيئة (Sviridov و اخرون، 2015 و González و Dussán ، 2018). علاوة على ذلك ، يمكن استخدام الجلايسين في النشاط الایضي من قبل الكائنات الحية الأخرى (Hove-Jensen و اخرون 2014) وهذا ما اشار اليه Kulikova و اخرون (2020). في التحلل البيولوجي لمبيدات الأدغال الكليفوسيت يتم من خلال مسارين و النواتج تكون اما مركب AMPA او مركب Glycine وهذا المركب الاخير هو مسار التحلل الرئيسي للمبيد . تشكيل AMPA والساركوزين ، وهذا الأخير هو مسار التحلل الرئيسي. كما وجد

Njoku وآخرون (2020). في دراسة اجريت على التحلل البيولوجي لمبيد الكليفوسين والتي من خلالها تم التعرف على عزلات فطرية هي 2021، 9، 2322 13 و 21 للفطر *Aspergillus fumigatus* FJAT-31052 من خلال تحليل الكليفوسين الى AMPA وعلى الرغم من ذلك فإن عمليات التمثيل الغذائي لتحليل المبيد بواسطة الفطريات لم يتم وصفة بشكل كامل . بشكل عام تم تسجيل 13 نوعاً من الفطريات التي تتنتمي إلى أربعة أنجاس لديها القدرة على تحلل مبيد الكليفوسين ، حيث ان هذه الانواع أظهرت أهميتها من خلال الدراسات التي تناولتها و هي البكتيرية تقوم بتحليل مبيد الكليفوسين إلى ساركوزين Sarcosine ، تستفاد منه كمغذي نمو لها وهذا ما اشارت إليه بعض الدراسات في ان العزلات البكتيرية *Ochrobactrum anthropi* GPK و *Bacillus cereus* CB4 و *Fusarium* و *Trichoderma = Penicillium* و *Aspergillus* Guo وآخرون (2021) . بعض العزلات البكتيرية تقوم بتحليل مبيد الكليفوسين إلى ساركوزين Sarcosine ، تستفاد منه كمغذي نمو لها وهذا ما اشارت إليه بعض الدراسات في ان العزلات البكتيرية *Pseudomonas sp.* LBr 3 و *Sviridov* وآخرون ، 2012 ، Fan وآخرون ، 2012 ، Mario (Sarcosine 2012) .

2-6 - العوامل التي تحكم في التحلل الحيوي للمبيدات

ان التحكم بالمعالجة الحيوية يعد امراً معقداً . لهذا السبب توجد عدة عوامل اما تحسن او تسبب تراجعاً في كفاءة المعالجات الحيوية ومن اهم هذه العوامل :-

2-6-1: تأثير التركيب الكيميائي وتركيزه

قابلية التحلل الحيوي يحددها الهيكل الجزيئي للمبيد اذ أن ادخال المجموعات القطبية للتركيب الكيميائي للملوثات مثل COOH و NH_2 و OH يحفز الكائنات الحية الدقيقة على مهاجمة الملوثات ، اما بدائل الهايوجين والاكيل تمثل إلى جعل الجزيء أكثر مقاومة للتحلل الحيوي . بعض المبيدات تمتاز بأن لها القابلية للذوبان في الماء بسبب ادمساصه من قبل التربة فهو غير متاح نسبياً للتدور الحيوي . تؤثر تركيز المبيدات على قابلية تحلله فكلما مكث تركيز المبيد في التربة مدة اطول انخفض معدل تحلله . (Azmi وآخرون 2009) .

يعتمد بقاء المبيدات على تركيبها الكيميائي ، وعلى وجود المواد الفعالة غير الاعتيادية التي تحتل موقعًا كبيراً من جزيئة المبيد ويساعد التركيب الكيميائي على تحديد قابلية ذوبان المبيد بالماء، وتواجد الأحياء المجهرية التي حينما ترتبط مع المجاميع الفعالة للمبيد بأوامر ضعيفة او غير مستقرة، فانها تتحلل بسرعة اكبر ، والعديد من المبيدات الحديثة تمتلك مثل هذه الروابط فعند إضافة الماء تتكسر الكثير منها وهذه العملية تدعى التحلل المائي (hydrolysis) كما في المبيدات ملايثيون والكارباميت و مشتقات اليوريا و البايرمتسرويد و الديازينون و الاترازين و D,2,4 وغيرها من المبيدات ، ويطلق على مجاميع الانزيمات التي تساعد على عمليات التحلل هي مجموعة انزيمات Hydrolytical Enzymes ومنها انزيمي الاستريلز والفوسفاتيز، اما المجموعة الأخرى فهي انزيمات الاكسدة الاحادية والثنائية mono-and di-

oxygenases ، وهي تساعد في عملية تحطم المبيد وتزيد من ذوبانه بالماء وتبداً عملية التحطيم خارج الخلية **extracellular** وتكتمل في داخلها **intercellular**. و تستعمل الاحياء المجهرية في تحطم السيلولوز والهيميسيلولوز واللكتين وكثير منها تعمل على تحطم المبيدات ، وان عملية التحطيم تكون خارج الخلية بافراز انزيمات خارج جسمها تقوم هذه الانزيمات بكسر الروابط في السيلولوز والهيميسيلولوز واللكتين الى مركبات اصغر (العادل، 2006).

6-2: الكائنات الحية الدقيقة

الكائنات الدقيقة لها دور مهم في ازالة المبيدات من التربة الملوثة بها ؛ لقدرها على انتاج انزيمات متعددة تستطيع مصاحبة المركب ثم تحلله للاستفادة منه كغذاء أو مصدر للطاقة . يع وجود انواع مختلفة من الكائنات الحية الدقيقة أكثر فاعلية من تواجد نوع واحد (Dasgupta وآخرون ، 2010 و Megharaj ، 2011).

أكـد Jilani (2015) أن الاحياء الدقيقة المتواجدة طبيعيا في التربة يمكن ان تتكاثر وتنمو في البيئة التي تحتوي على المواد الكيميائية الخطيرة و تستفاد منها كمصدر للطاقة او عنصر للكاربون ، الجانب السلبي الوحيد في هذه الطريقة أنها تحتاج وقتا طويلا . أثبتت Shapir وآخرون (2007) و Rao وآخرون (2007). أن طريقة المعالجة بـاستعمال البكتيريا تعتمد على عوامل عديدة منها ، عمر الخلايا البكتيرية وتركيزها والاس الهيدروجيني ودرجات الحرارة ونوع مكونات الوسط الزراعي المغذي.

6-3: تأثير نوع التربة والمغذيات

وـجد Thabit و El-Naggar (2014). أن معدل تحلـل المـبيدات بـفعل الـاحيـاء الدـقيقـة يـزداد بـزيـادة مـحتـوى التـربـة من روـث الـابـقار مـقارـنة بـالتـربـة الفـقـيرـة ، أـذ تـعد خـصـائـص التـربـة الفـيـزـيـائـية والـكـيـمـيـائـية مـن العـوـامـل الرـئـيـسـية التي تـسـاعـد اـحـيـاء التـربـة في النـمو وـالـتكـاثـر. فـمـحتـوى التـربـة مـن المـوـاد العـضـوـية وـدـرـجـة الـحرـارـة وـمـحتـوى المـعـدـن الطـيـنـي لـه أـهمـيـة كـبـيرـة في مـعـدـل التـحلـل الـحـيـوي لـلـمـبيـدـات.أـوضـح Chirnside وـآخـرون (2007). أن دـور المـغـذـيات مـهـما في دـيـمـوـمـة المـجـتمـع المـيـكـرـوـبـي، ولـذـلـك انـعـكـاس اـيجـابـي عـلـى مـسـار التـحلـل الـحـيـوي لـلـمـلوـثـات العـضـوـية. حيث أـنـ المـغـذـيات تـحـفـزـ الكـائـنـاتـ الدـقـيقـةـ عـلـى النـمـوـ وـأـنـتـاجـ الـانـزـيمـاتـ المـهـمـةـ فيـ تـحلـلـ المـبيـدـاتـ وـكـافـةـ المـلوـثـاتـ العـضـوـيةـ وـمـنـ ثـمـ يـزـدـادـ مـعـدـلـ التـحطـيمـ الـانـزـيمـيـ. منـ أـهـمـ العـنـاصـرـ الـكـيـمـيـائـيةـ المـحـفـزـةـ لـنـمـوـ وـأـنـتـاجـ الـانـزـيمـاتـ أـحـيـاءـ التـربـةـ الدـقـيقـةـ هوـ الـكـارـبـونـ يـلـيـهـ الـنـتـرـوجـينـ وـالـأـوـكـسـيجـنـ وـالـمـهـرـوجـينـ وـالـفـسـفـورـ وـالـبـوـتـاسـيـومـ وـالـكـبـرـيتـ وـالـكـالـسـيـومـ وـالـصـودـيـومـ وـكـلـورـيدـ الـحـدـيدـ وـالـمـغـنـيـسيـومـ وـغـيـرـهـاـ مـنـ الـعـنـاصـرـ الـمـهـمـةـ لـبـنـاءـ خـلـاـيـاـ الـبـكـتـرـياـ.

4-6-2: العوامل البيئية

تلعب العوامل البيئية دوراً مهماً في استدامة الاحياء الدقيقة في التربة كالحرارة والحموضة (pH) والرطوبة الملائمة والمواد المغذية . تساعد هذه العوامل في تحقيق اعلى معدل لنمو البكتيريا والفطريات او غيرها و يؤدي الى زيادة معدل التحلل بشكل فعال (Khan, 2018). وهذه العوامل تشمل :-

1-4-6-2: درجات الحرارة

عند ارتفاع درجة الحرارة يزداد تدهور الملوثات اذ تؤثر ايضا في التمثيل الغذائي للأحياء الدقيقة فأن انخفاض درجات الحرارة من شأنه أن يخفض النشاط الانزيمي ومن ثم يقل معدل التحلل الحيوي (Magan وآخرون ، 2010).

2-4-6-2: درجة الحموضة والمحتوى المائي للتربة

بيّنت عدد من الدراسات ان درجة الحموضة في التربة تؤثر في معدل التحلل . اذا اوضحت بعض الدراسات ان درجة حموضة التربة هي الاكثر اهمية للحصول على افضل درجة من التحلل (Muller و آخرون ، 2007) . اذ تشير دراسة قام بها Rathore و Nollet (2012) ان افضل درجة pH للبكتيريا المستعملة في تحطيم المبيدات تتراوح بين (5.5-8.5). ذكر Shalgholi (2014) ان الماء التربة دورٌ كبيرٌ في تحلل المبيدات وتحولاتها. اذ ان رطوبة التربة تساعده على التفاعل ثم الاذابة والحركة والانتشار. لوحظ ايضاً ان التحلل الحيوي للمبيدات يقل بالتراب الجافة عنه في الترب الرطبة . ومن جانب اخر اكد Odukkathil و Vasudevan (2013) ان ملي التربة بالماء يؤثر في صعوبة تغلغل الاوكسجين في التربة مما يقلل عملية التحلل اللاهوائي .

جدول 2 . الظروف البيئية المثلى لتدّهور الملوثات بمكروبات التربة (Rathore و Nollet، 2012)

الحالات المثلى للنشاط الحيوي	العوامل البيئية
8.8-5.5	pH
°M 15-45	درجة الحرارة
% 25-28	الرطوبة
محتوى منخفض من الطين او الطمي	نوع التربة
اكثر من 10%	اوکسجين
الكاربون والنتروجين والفسفور	المغذيات

7-2 : العوامل الاحيائية المستخدمة في الدراسة

1-7-2 : العامل الاحيائي الفطري *Trichoderma spp.*

يعود الفطر *Trichoderma spp.* ، صف Duteromycotina الى تحت قسم الفطريات الناقصة ، عائلة Moniliaceae، رتبة Moniliales (Alexopoulos et al., 1996). كما ينتشر الفطر *Trichoderma spp.* في جميع انواع الترب الحامضية والقاعدية والطينية الثقيلة والرملية وعلى جذور النباتات وأيضا على البقايا النباتية ويعود سبب ذلك لامتلاكه فعاليات ايضية مختلفة ولقدرته التنافسية العالية ويتميز الفطر بسهولة عزله وسرعة نموه على الاوساط الزرعة (Ali Khan et al., 2020, and others 2020). وهو من الفطريات المعروفة بتنوعها الايضي وقدرتها على تحلل المواد الكيميائية المترسبة في التربة ومن ضمنها مبيد الكليفوسيت اشارت الدراسات عند اجراء تجارب مختبرية عن 50 سلالة فطرية معزولة من التربة (باستخدام اوساط الاستزراع ملوثة بالكليفوسيت كركيزة كarbonية وحيدة) فيبينت النتائج ان جميع السلالات الخمسين ومن ضمنها الجنس *T. harzianum* تستخدم الكليفوسيت كمصدر للفسفور (Correa et al., 2021 and others 2022).

يقوم الفطر *Trichoderma spp.* بإفراز بعض الانزيمات التي تحلل المواد المضافة الى التربة والمواد العضوية والكيميائية كالمبيدات فضلا عن فهو يقوم بزيادة العناصر المهمة لنمو النبات وتحسين المقاومة الطبيعية للنبات ضد المسببات المرضية ومن اهم هذه العناصر هي البوتاسيوم والزنك والنتروجين والحديد فضلا عن الفسفور الذي يعتبر الكليفوسيت مصدر مهم لانتاجه وهذه المواد تحسن نمو النبات عند بقائها في التربة بعد المعاملة بهذا الفطر(Akrami et al., 2015 and others 2018). يستخدم *T. harzianum* كسماد حيوي وبنطاق واسع لجميع المحاصيل تقريباً مع أو بدون اضافات (Debnath et al., 2020). ان الفطر *T. harzianum* له دور في تحسين غلة المحاصيل ويتحقق هذا الهدف بشكل أساسى من خلال القدرة على تحلل المركبات العضوية المعقدة الموجودة في التربة وايصالها للنباتات بشكل أبسط بحيث يمكن امتصاصها (Khan et al., 2017 and others 2020)، لذلك يمكن تقليل متطلبات النبات من السماد الكيميائي عن طريق إضافته للتربة بدلاً من الأسمدة الصناعية (Khan et al., 2017 and others 2018).

أكدة دراسة قام بها Beine et al., (2022). على ستة سلالات من *Trichoderma spp.*. حيث تم فحص قدرتها على إذابة فوسفات ثلاثي الكالسيوم (TCP) اذ كانت جميع السلالات الست قادرة على إذابة TCP بدرجات مختلفة ، وأيضا ساهمة في تحسين طول النبات وزن الجذع والجذر وامتصاص الفوسفور والأصباغ الضوئية ومحتوى البروتين الكلي.

وَجَدَ Carro- Huerga وآخرون(2023). كفاءة عزلات الفطر *Trichoderma spp.* في اذابة الفوسفات وجاهزية عنصر الفسفور من خلال انتاجها انزيم Phosphatase تم اختيار سلالتين أصليتين من *Trichoderma* كعوامل تحكم بيولوجية محتملة (*Trichoderma harzianum* و *Trichoderma gamsii*) وتوصلوا من خلال تجربتهم إلى استنتاج مفاده أن سلالات *Trichoderma* الأصلية لها إمكانات كبيرة كعوامل تحكم بيولوجية ومنتج للأرض الثنوي. فضلاً عن قدرة *T. harzianum* على اذابة بعض المركبات العضوية فإن بعض عزلات الفطر تعزز نمو النبات عن طريق افرازها لمنظمات نمو نباتية مثل هرمون الاثنين الذي يسرع انبات البذور ويعلم على زيادة نمو بادراتها نتيجة للعلاقة التكافلية بين الفطر والمجموع الجذري وزيادة قابلية النباتات على مقاومة الظروف غير الملائمة سواء كانت بيئية مثل الجفاف أو حيوية مثل المسببات المرضية(Alizadeh وآخرون، 2020).

2-7-2 : العامل الاحيائي البكتيري *Azotobacter chroococcum*

تنتمي بكتيريا *Azotobacter* إلى عائلة Azotobacteriaceae والتي تضم اجناساً عديدة واسعة الانتشار ومنها *Azomonas* و *Derxia* و *Beijerinckia* ، تعد هذه البكتيريا من المحفزات التي تساعد على نمو النبات وهي تتواجد في المنطقة المحيطة بالمجموع الجذري (Rhizosphere) Jeffries (2003؛ Wani و آخرون، 2016) وهي بكتيريا سالبة لصبغة كرام ذات خلايا كبيرة الحجم قد تكون كروية او عصوية او بيضوية وتتجمع بشكل سلسل مفردة او مزدوجة وقد تكون متحركة بواسطة الاهداب او غير متحركة (Waini و آخرون ، 2016 ؛ Soleymanifard و آخرون (2022).

تمكن بكتيريا *A. chroococcum* من النمو والعيش في ظروف بيئية قاسية أي أنها تتحمل تراكيز عالية من الاملاح يمكنها العيش حتى في الترب الجافة ذات درجات حرارة عالية والتي قد تصل الى 45 ° وايضا درجة حروبة 8 وانها تتحمل ما يصل الى 5% من تركيز المبيدات ، وكذلك تحل المعادن الثقيلة ومبيدات الآفات *Azotobacter spp.* (Bandyopadhyay Gangawane و آخرون، 2005) ان *Kadam* و *Ashar* (2022). لها القدرة على تحطيم مبيد phorate تحت ظروف المختبر مع التركيز الفعال الذي يتم استخدامه كمبيد ضد افات محصول القطن .

اثبّتت الدراسات كفاءة البكتيريا *A. chroococcum* في التحلل البيولوجي للعديد من مبيدات الآفات الشائعة الاستخدام ومنها اندوسلفان وكلوربيريفوس والكلافيروسيت والعديد من المبيدات الأخرى ومن هذا يتضح ان هذه البكتيريا لا تنتج فقط مواد معززة لنمو النبات ولكنها تتحمل ايضاً الاجهاد الاحيائي في ظل ظروف فسيولوجية مختلفة (Chennappa و آخرون، 2016). أوضحت دراسة قام بها Mousa و آخرون، (2021). أن البكتيريا .

لها دور في تحلل الكيميائيات المطبقة عن طريق التحلل المائي حيث أنها تربط روابط الفسفور بالأوكسجين وتهضم المبيدات لأنماط النتروجين والكربون كعناصر أساسية لنموها. أوضح Golhandapani واخرون (2017) و Razmjooei وآخرون (2022) أن *Azotobacter* spp. من الاحياء المستخدمة على نطاق واسع في المكافحة الاحيائية ، اذ تستخدم البكتيريا النتروجين لتخليق البروتين في الخلية وهي حساسة للتغيرات في الاس الهيدروجيني ودرجة الحرارة .

3-7-2: العامل الاحيائي البكتيري *Pseudomonas fluorescens*

يعود الجنس *Pseudomonas* إلى عائلة *Pseudomonadaceae* لرتبة *Pseudomonadales* من المملكة البكتيرية (Palleroni، 1984) والتي لها دور في نمو وتطور أشجار الغابات والخضر والمحاصيل الأخرى فضلاً عن احداثها تأثيرات في تحسين انبات البذور والحصول على بادرات نشطة وزيادة معايير النمو والتزهير وزيادة محتوى النبات والكبريت وانتاج الهرمونات النباتية ودورها في استئثار المقاومة الجهازية في النبات (Vessey، 2003 و Nehra، Saharan ، 2011). أول من عزل هذه البكتيريا Flugg عام 1886 شكل البكتيريا عصوي مستقيم الشكل ذات انحاء قليل سالبة لصبغة كرام تتحرك بوساطة اسواط قطبية تنتج صبغة متألقة خضراء أ مصفرة تسمى *fluorescin* خاصة في الاوساط التي تفتقر إلى عنصر الحديد (Meyer و Abdallah، 1978) وهي بكتيريا هوائية ولها سلالات يمكنها النمو لا هوائياً ولا تكون أبواغاً والمدى الحراري لها 4-40°C وأن درجة الحرارة المثلث لها من 24-35°C وتكون رمية المعيشة واسعة الانتشار في التربة(الكري، 2001 و Brenner وآخرون، 2004) .

أشارت دراسة قام بها Oliveira وآخرون (2022). بأن استجابة البكتيريا *P. fluorescens* لتحلل مبيد الكليفوسيت تعتمد على انخفاض نفاذية الغشاء البكتيري وفعاليته وقد تصل الاستجابة إلى 0.30-2.30 مل من مبيد الكليفوسيت ، في منتصف مرحلة نمو البكتيريا ، مع وجود الأحماض الدهنية مثل حمض nonadecylic ، وحمض lauric و margaric ويمكن تعديل تركيبة الأحماض الدهنية ونفاذية الأغشية في وضعين للاستجابة وفقاً للتركيب الفسيولوجي. أوضحت دراسة قام بها Kaczynski وآخرون (2020). عن المخاطر البيئية المحتملة لمتبقيات مبيد الكليفوسيت ومسارات تدهوره في التربة اذ تم التركيز على الكليفوسيت وتأثير المستقلبات الخمسة على المجتمع الميكروبي والنشاط الانزيمي للتربة وفي هذه الدراسة تم اقتراح آليات تحلل مبيد الكليفوسيت في أنواع مختلفة من التربة من خلال عدة فرضيات الاولى تأثير البكتيريا *P. fluorescens* و مياة الصرف الصحي على وقت تحلل مبيد الكليفوسيت، والثانية إجراء تحلل الكليفوسيت في وجود *P. fluorescens* ومياة الصرف الصحي في مسارات

أيضية مختلفة مقارنة بمعاملة السيطرة، والثالثة أن البكتيريا *P. fluorecens* و مياه الصرف الصحي يحفز النشاط الانزيمي للترابة.

4-7-2 : العامل الاحياني البكتيري *Bacillus subtilis*

تنتمي البكتيريا *Bacillus subtilis* إلى عائلة *Bacillaceae* وهي من رتبة *Bacillales* من المملكة البكتيرية ، وقد وصفها Ferdinand kohn بالتفصيل لأول مرة في عام 1872 (Lizah و Errington ، 2020). هي بكتيريا موجبة لصبغة جرام ، توجد في التربة والجهاز الهضمي للحيوانات المجترة تم تصنيف *B. subtilis* على أنها هوائية إجبارية ، على الرغم من وجود دليل على أنها لا هوائية اختيارية. تعتبر *B. subtilis* من أفضل أنواع البكتيريا المدروسة في إنتاج الإنزيمات المفرزة وتستخدم على نطاق صناعي بواسطة شركات التكنولوجيا الحيوية وكذلك سهلة الزراعة والاكتثار مختبرياً(Borriiss و اخرون، 2018). يمكن جنس البكتيريا *Bacillus* أن يشكل بوغاً داخلياً للبقاء على قيد الحياة في الظروف البيئية القاسية من درجة الحرارة العالية والجفاف، وتستخدم بشكل واسع لإنتاج بروتينات غير متجانسة (Su و اخرون، 2020). أكدت الدراسات عن إمكانية تحلل متبقيات مبيد الكليفوسينت في التربة باستخدام البكتيريا *B. subtilis* وتحمل تراكيز عالية من المبيد وقد يبلغ الحد الأقصى للتركيز الذي تتحمله Bs-15 40000 مجم / لتر عند توفر الظروف المثلث لنموها أما في الظروف العادمة كان فكان أقل من أقل من 10000 ملغم / لتر من الجليفوسات ، مع درجة حرارة 35 درجة مئوية و درجة حموضة 8.0 (Yu و اخرون ، 2015) .

أكّدت دراسة قام بها Manogaran وآخرون (2017). بأن توجد سلالات ومن بينها *B. subtilis* قادرة على النمو في وسط يحتوي على الغليفوسات كمصدر وحيد للفوسفور ، وأن لها القدرة على تحمل ما يصل إلى 12 مل / لتر من مستحضر glyphosate و 200 جزءاً في المليون من الغليفوسات التحليلي والظروف المثلث للتحلل عند درجة حرارة 30 م° ودرجة حموضة 6.

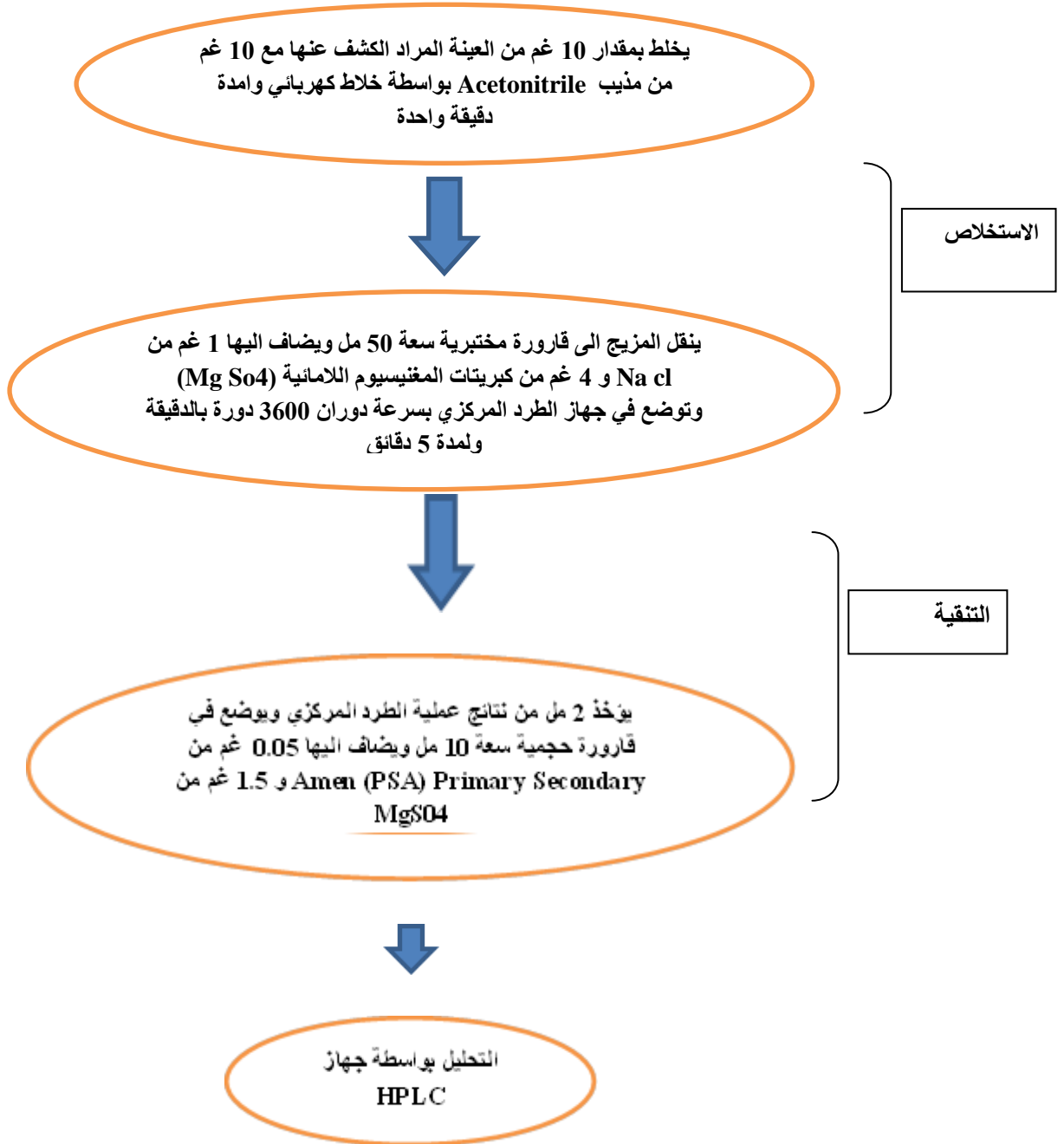
اشارت دراسة اجراها Salunkhe وآخرون (2013) حول قدرة اربعة سلالات من البكتيريا *Bacillus subtilis* هي DR-39, CS-126, TL-171، TS-204 في التحطيم الحيوي لمبيد الفسفور العضوي Profenofos حيث تمكنت من تحطيم 90 % من المبيد للسلالات (TS-204, TL-171, CS-126) و 79 % للسلالة (DR-39) مقارنة بمعاملة المقارنة الغير ملحة و التي 52 % من تدهور و تحلل مبيد Profenofos . وجد Saurabh و آخرون (2018) قدرة البكتيريا *Bacillus subtilis* strain 1D في التحطيم الحيوي لمبيد

Cypermethrin خلال 15 يوما تحت الظروف المختبرية ، حيث عدت هذه الدراسة الاولى التي توضح دور انزيم laccase في التحلل الحيوي للمبيد . كما اشار Gangola وآخرون (2018) . ان انواع البكتيريا *Bacillus spp* لديها الانزيمات esterase و laccase والتي لها دور فعال في تحلل المبيدات و خصوصا الفسفورية العضوية . اضافة الى وجود انزيمات carboxylesterases (Khan 2020) و hydrolase (Narayanan 2015) و organophosphate hydrolase (Acharya 2016) و آخرون ، 2015 () .

8-2 : استخلاص وتنقية بقايا المبيدات

وظفت طريقة كويجرز QuEChERS لأجل تقدير متبقيات المبيدات التي طورت عام 2003 من قبل Anastassiades ولا تزال قيد التحديث والتطوير وقد أشتق اسم الطريقة من الحروف الأولى لتصنيف الطريقة Quick, Easy, Cheap, Effective, Rugged, and Safe أي إن الطريقة سريعة النتائج، سهلة التطبيق، ورخيصة الثمن، وفعالة، ودقيقة النتائج ، وأمينة (Anastassiades، وأخرون 2003).

في العراق اجريت العديد من الدراسات التي تناولت دراسة متبقيات و تلاشي المبيدات الكيميائية واجراء بعض العمليات الغذائية في معالجة المركبات الثانوية العائدة لمتبقيات المبيدات لبعض انواع المحاصيل الزراعية (Mahdi و 2017، Mohammed 2017؛ المشهداني، 2012؛ حسين، 2018؛ العبيدي، 2018؛ حسن، 2018؛ علي، 2018؛ ابو دكه ، 2021؛ المقصوصي ، 2021). ذكر Momčilović (2012) خطوات عمل لهذه الطريقة كما في الشكل (4) :



شكل (4) : خطوات عمل طريقة QuEChERS في استخلاص متبقيات المبيدات .

9-2 : كفاءة الاسترجاع:

تعد كفاءة الاسترجاع بمثابة تقويم لكفاءة طرائق تحليل واسترداد المبيدات أو المواد الكيميائية المستخدمة على الغذاء وتتراوح قيم هذا المعيار عالمياً ما بين 70 – 120 %. يحدث أحياناً أن تكون الطريقة ذات كفاءة في التحليل ولكن قد يحصل تحطيم العينة أثناء مراحل تحضيرها فتكون كفاءة الاسترجاع قليلة وأفضل مثال على ذلك كفاءة استرجاع مبيد الكابتان والتي تتراوح ما بين 30-40% وهي مستويات قليلة قد تقبل على أن يستمر البحث عن طريقة أخرى لاستخدامها واختبارها فقد تكون أكثر ملاءمة من الطريقة السابقة (EU Guideline SANCO/12571/2013 G5) . ذكر المشهداني (2012). في دراسته أن كفاءة الاسترجاع للمبيدات أكتاراً وأوبيرون والساiperمثرين هي 85 – 80,%90 , 75 - 70 % على التوالي. بينما بلغت كفاءة استرجاع مبيد Pyroxslam 4.5% OD 101.8 - 99.5 و 96.7 – 103.1 % على التوالي. (Abdulkareem, وآخرون 2017).

10-2 : التقانة النانوية

وصف التقانة النانوية بأنها من اسرع التقانات انتشارا على المستوى العالمي وقد اطلق عليها بالثورة التقنية القادمة في مختلف المجالات لما تتمتع بها من ميزات كبيرة (Lux ، 2008). أن تقانة النانو من التقانات الحديثة التي تدخل في مجالات عديدة منها الزراعة. اذ يتم تخليق الجسيمات النانوية بطرائق عديدة، اذ تعد الطريقة الحيوية من الطرائق السهلة، السريعة، الرخيصة والامنة بيئياً والتي تتم باستخدام الكائنات الحية الدقيقة أو المستخلصات النباتية (علوش 2020). يهتم علم النانو تكنولوجي بدراسة تركيب وخصائص وتصنيع المواد النانوية التي يتراوح حجمها بين 1-100 نانومتر فضلاً عن تطبيقات تلك المواد في مختلف المجالات الصناعية والطبية والزراعية (Chinnamuthu و MurugesaBoopathi 2009).

تحتل التطبيقات الزراعية اولوية متقدمة في سلم اولويات التقانة النانوية ويتوقع منها احداث ثورة في مختلف المجالات الزراعية منها وقاية النبات، من خلال انتاج مستحضرات ومبيدات نانوية nanopesticides يمكن ان تقدم الحلول الفعالة في مكافحة الآفات الزراعية المختلفة فضلاً عن تحسين خواص عوامل المكافحة الاحيائية المختلفة وطرائق دقيقة في الكشف عن متبقيات المبيدات وازالة اثارها السلبية وبالتالي تقليل التلوث البيئي وتخفيض كلف التطبيقات (Chowdappa و ShivaKumar ، 2013). وبعد استعمال الجسيمات النانوية في امتزاز المبيدات الكيميائية ومتبيقياتها من التطبيقات الوعدة اذ اظهرت تلك الجسيمات كفاءة في تحطيم مبيدات مجموعة السايكلودين

التي تتميز بمقاؤتها لعوامل التحلل المختلفة (Nano suspension) (Cheng, Hee Joo, 2006). المعلقات النانوية هي عبارة عن جسيمات نانوية يتراوح حجمها بين 1 – 100 نانومتر تكون على شكل معلقات مائية تستعمل بشكل محاليل مائية في مكافحة الآفات مثل السليكا النانوية (Hakravarthy وآخرون 2012).

تعد السليكا النانوية المادة الأكثر تصنيعاً من حيث الكمية بين مختلف أطياف المواد النانوية نظراً لاستخداماتها الكثيرة في مختلف جوانب الحياة، ولكون تكلفة إنتاجها تكون غالباً أرخص من تكلفة إنتاج معظم المواد النانوية، فضلاً عن سهولة التعامل معها نسبياً بالمقارنة مع باقي المواد النانوية. حظيت السليكا النانوية باهتمام كبير من قبل الباحثين لتحسين فعالية وسلامة مبيدات الآفات بسبب مزاياها المميزة منها سميتها المنخفضة ، واستقرار حراري وكيميائي مرتفع ، ولا سيما قابلية ضبط الحجم والوظائف المتعددة. والأدوار المتعددة لذلك تمت مناقشة السليكا النانوية في الاستخدام الآمن لمبيدات الآفات باستخدام تقنية النانو كعامل ممتاز لبقاء أو إزالة مبيدات الآفات في الوسط المائي ، و كدعم محفزات لتدحر ملوثات مبيدات الآفات ، و كدعم لأجهزة الاستشعار للكشف عن مبيدات الآفات Kong وآخرون 2021.

ثالثاً. المواد وطرق العمل : (Materials and Methods)

1-3: الأجهزة والمواد المستخدمة لإجراء التجارب في الدراسة.

1-1-1: الأجهزة والأدوات المستخدمة في التجارب المختبرية.

جدول (3) : الأجهزة والأدوات المستخدمة.

الرقم	اسم الجهاز او الاداة	الشركة المصنعة	بلد المنشأ
1	الثلاجة Refrigerator	Hitachi	Japan
2	جهاز التعقيم البخاري Autoclave	Hysc	Korea
3	الحاضنة Incubator	Hysc	Korea
4	مجهر ضوئي مركب Compound light microscope	Olympus	Japan
5	میزان حساس Sensitive Balance	Sartorius	Germany
6	غرفة عزل Laminar Flow Hood	Hysc	Korea
7	جهاز قياس الحرارة و الرطوبة Temperature and humidity	Hygrometer	China
8	جهاز التقطير Distillation device	G F L	Germany
9	Vortex	Digisystem	Taiwan
10	حمام مائي Water bath	Gallen hamp	England
11	جهاز كروموتغرا菲يا السائل HPLC	SYKAMN	Germany
12	جهاز المطياف الضوئي	EMC-11-UV	Germany
13	PH meter	Sartorius	Germany
14	میزان حساس Analytical balance	Radwag	Poland (EU)
15	أطباق بتري بلاستيكية	-	Jordan
16	أنابيب اختبار بلاستيكية Test tubes	Hiprove	China
17	دواрок زجاجية مختلفة الأحجام Flasks	-	China

England	Whatman	وراق ترشيح Filter paper	18
England	-	محقنة طبية Medical syringes	19
Germany	-	ثاقب فليني Cork borer	20
Germany	Gilsom	ماسقات دقيقة Micro pipits	21
China	-	مناخل Sieves	22
China	-	أصص بلاستيكية Plastic pots	23
China	-	أطباق بلاستيكية Plastic dishes	24
China	Zhangjiagang	ورق المنيوم Aluminum Foil	25
China	-	قطن Cotton	26

• (-) تعني الجهاز او الاداة لا تحمل اسم الشركة او بلد المنشأ

3-1-2 : المواد الكيميائية والمبيدات المستخدمة لإجراء التجارب في الدراسة

جدول (4): المواد الكيميائية والمبيدات المستخدمة

ت	أسم المادة	الشركة المصنعة	بلد المنشأ
1	مبيد الاعشاب تيلر Tiller 48% SL	Astrachem	KSA
3	كحول ايثانول 70%	Aljoud	Iraq
4	سيليكا نانوية (Nano silica)	US Research Nano., Inc.	USA
5	سولفات المغنيسيوم	Merck	Germany
6	مولبيدات الصوديوم 5%	BDH	England
7	كلوريド الصوديوم	BDH	England
8	ثنائي هيدرات ستراط الصوديوم	BDH	England
9	سيترات هيدروجين ثائي الصوديوم	BDH	England
10	أسيتونتريل (Acetonitrile)	Merck	Germany
11	نيهابدرین 5% (Ninhydrin 5%)	BDH	England

3-2: الأوساط الزرعية المستخدمة في التجارب المختبرية

جدول (5): الأوساط الزرعية المستخدمة

الرقم	اسم الوسط الزراعي	الشركة المصنعة	بلد المنشأ
1	وسط اكار دكستروز البطاطا (Potato dextrose Agar)	Liofilchem	Italy
2	وسط (Nutrient Agar)	Liofilchem	Italy
3	وسط (Nutrient Broth)	BD Difco	USA
4	وسط البطاطا السائل (Liquid potato Agar)	Himedia	India

1-2-3 : الوسط الغذائي (Nutrient Agar NA)

حضر الوسط الغذائي Nutrient Agar حسب تعليمات الشركة المجهزة Liofilchem الإيطالية بإذابة 28 غم من المادة في 1000 مل من الماء المقطر واغلفت فوهرته بواسطة القطن وورق الألمنيوم وعمق بجهاز المؤصدة (Autoclave) بدرجة حرارة 121 ° م وضغط 15 باوند / انج ² لمده 20 دقيقة وبعد التعقيم صب في اطباق بتري قطر 9 سم بمعدل 20 مل / طبق.

2-2-3 : وسط المرق الغذائي (Nutrient Broth NB)

حضر الوسط حسب تعليمات الشركة الأمريكية المجهزة BD Difco بإذابة 13 غم من المادة في 1000 مل من الماء المقطر ثم عقم بنفس الظروف المستخدمة في الفقرة 1-2-3 وأستخدم هذا الوسط لتنشيط واكتار البكتيريا المستخدمة في التجارب.

3-2-3 : وسط البطاطا الغذائي (Potato Dextrose Agar PDA)

حضر الوسط حسب تعليمات الشركة المصنعة شركة Liofilchem الإيطالية بإذابة 42 غم من الوسط الزراعي في 1000 مل من الماء المقطر في دورق زجاجي سعة 1000 مل (1 لتر) وضع مضاد حيوي بعدها اغلقت فوهرته بواسطة القطن وورق الألمنيوم عقم بنفس الظروف المستخدمة في الفقرة 1-2-3 بعدها صب في اطباق بتري قطر 9 سم بمعدل 20 مل / طبق.

3-2-4: وسط البطاطا دكستروز السائل (P.D.B.)

حضر الوسط بأخذ 200 غرام من درنات البطاطا قشرت وقطعت الى مكعبات صغيرة وبعد غليها بالماء لمدة 20 – 30 دقيقة أخذ الراشح بواسطة قطعة من القماش الشاش وأضيف له 15 غرام من السكروز (السكر العادي) وأكمل الحجم الى 1000 مل ثم وضع في جهاز المؤصلة وعقم بنفس الظروف المستخدمة في الفقرة 3-2-1 ثم وضع المضاد الحيوي 250 مليغرام / لتر.

3-3 : الاحياء المجهرية المستعملة في الدراسة

استعملت الاجناس البكتيرية *Azotobacter* و *Bacillus subtilis* و *Pseudomonas f luorescens* و *chrooccoccum* المشخصة مورفولوجييا وجزئيا والتي اخذت من مختبرات وزارة العلوم والتكنولوجيا بتاريخ 2022/9/21 و عزلة الفطر *Trichoderma harzianum* أخذت مشخصة من مختبرات كلية الزراعة جامعة كربلاء (الاستاذ الدكتورة زينب عليوي في قسم الانتاج الحيواني) في تاريخ 28 / 9 / 2022 .

4-3 : حفظ العينات قيد الدراسة

حفظت اطباق العينات في مختبر الدراسات العليا كلية الزراعة جامعة كربلاء قسم وقاية النبات لغرض اكتثارها والاستفادة منها في اجراء التجارب المختبرية و الحقلية وحفظت في الثلاجة بدرجة حرارة 4 °م.

5-3 : تربية عزلة الفطر *T. harzianum*

حضر وسط البطاطا الغذائي المعقم والحاوي على المضاد الحيوي Choramphenicol بنسبة 25 غم لكل لتر صب في اطباق بتري. كما في الفقرة 3-2-4 واخذ جزء من المستعمرة النامية على الوسط اعلاه بواسطة الثاقب الفليني من حافة المستعمرة ووضعت وسط الطبق وحضنت الاطباق بالحاضنة في درجة حرارة 25 ± 2 ° درجة مئوية لحين اكتمال النمو بعدها حفظت بالثلاجة بدرجة حرارة 4 °م.

6-3 : تربية عزلات الانواع البكتيرية الثلاثة قيد الدراسة

حضر الوسط الغذائي وعقم في جهاز Autoclave بنفس الظروف في الفقرة 3-2-1 ، وبعدها صب في اطباق بتري حتى تتصلب ثم لقحت بأنواع البكتيريا قيد الدراسة بطريقة التخطيط ووضعت بالحاضنة في درجة حرارة 28 ± درجة مئوية لحين اكتمال النمو ومن ثم حفظت في الثلاجة بدرجة حرارة 4 °م.

3-7 : اللقاح البكتيري

اجريت سلسلة من التخافيف العشرية من مستببت العزلة البكتيرية قيد الدراسة بمقدار $10^{-1} - 10^{-6}$ بواسطة الماء المقطر المعقم ، نقل 1 مل من التخافيف الاخير لكل طبق بتري يحتوي على الوسط الغذائي وحضنت الاطباق في الحاضنة على درجة 28 م° لحين نمو البكتيريا.

3-8: حساب الكثافة العددية للبكتيريا *P. fluorescens* و *B. subtilis* و *A.chroococcum*

حسبت اعداد البكتيريا باستعمال طريقة التخافيف والعد بالأطباق ، اذ اجريت سلسلة من التخافيف العشرية من مستببت العزلة البكتيرية قيد الدراسة بمقدار $10^{-1} - 10^{-6}$ بواسطة الماء المقطر ، في انبيب حاوية على المحلول الملحي المعقم 85% NaCl Sterilized normal saline وضع 1مل من التخافيف الاخير بواسطة ماصة معقمة الى الاطباق بواقع ثلات اطباق لكل معاملة حضنت الاطباق بدرجة حرارة 28 ± 2 م° لمدة 48 ساعة ، لعد المستعمرات البكتيرية النامية عدد الوحدات البكتيرية في cfu / 1 مل = عدد المستعمرات النامية × مقلوب التخافيف ، (1965Clark).

3-9: قياس درجة التوافق بين الأحياء المجهرية ومبيد الادغال الكليفوسين مختبرياً

3-9-1: اختبار تأثير مبيد Glyphosate في نمو العزلة الفطرية *T. harzianum*

سم وسط البطاطا الغذائي الصلب PDA المعقم بإضافة تراكيز المبيد 10 و15 و 20 و 25 مل لتر⁻¹ و صب الوسط في اطباق بتري ثم لقحت الاطباق بأفراش الفطرية *T. harzianum* بواقع ثلات مكررات لكل ترکيز فضلا عن معاملة السيطرة لقحت بالفطر لكن بدون أضافة المبيد ، و حضنت الاطباق في درجة حرارة 25 م° ± 2 ولمدة 48 ساعة احتساب الكفاءة التثبيطية للعامل الاحيائى وقد حددت الفعالية التضادية للعامل الاحيائى بالاعتماد على النسبة المئوية للتثبيط وباستعمال مقياس Sangoyomi (2004) .

$$\text{النسبة المئوية للتثبيط} = \frac{100 \times \frac{\text{معدل النمو في المقارنة} - \text{معدل النمو في المعاملة}}{\text{معدل النمو في المقارنة}}}{\text{معدل النمو في المقارنة}}$$

3-9-2: اختبار تأثير مبيد Glyphosate في نمو العزلات البكتيرية A. chroococcum و P. fluorescens و B. subtilis .

سم الوسط الغذائي P.D.B المعقم بإضافة تراكيز المبيد 10 و 15 و 20 و 25 مل لتر⁻¹ . وصب الوسط في اطباق بتري ولقحت الاطباق من المزروع البكتيري لأنواع البكتيريا الثلاث بواقع ثلاث مكررات لكل تركيز ومعاملة السيطرة لقحت بأنواع البكتيرية الثلاث لكن بدون إضافة تراكيز المبيد إلى الوسط الغذائي المعقم، بدون مبيد وحضنت بدرجة حرارة 28 ± 2°C ولمدة 48 ساعة ثم تم قياس كثافة النمو البكتيري .

$$\text{النسبة المئوية للتبطط} = \frac{\text{عدد المستعمرات في المقارنة} - \text{عدد المستعمرات في المعاملة}}{\text{عدد المستعمرات في المقارنة}} \times 100$$

3-10 : تحضير لقاح البكتيريا A.chroococum

حضر لقاح البكتيريا عن طريق تتميّتها على وسط البطاطا السائل بوضع 50 مل من هذا الوسط في دورق زجاجي حجم 1000 مل وبعد التعقيم لقح بالبكتيريا المأخوذة من مزرعة بعمر 24 ساعة، وبنفس الطريقة حضرت كميات أكبر من اللقاح البكتيري لاستخدامها في التجارب الحقلية، وحضنت المزارع لمدة 24 ساعة على درجة حرارة 28°C .

3-11 : تحضير لقاح الفطر T. harzianum

حضر لقاح الفطر عن طريق تتميّتها على وسط البطاطا السائل بوضع 50 مل من هذا الوسط في دورق زجاجي حجم 1000 مل وبعد التعقيم لقح بالفطر من مزرعة وسط البطاطا الغذائي، وبنفس الطريقة تم تحضير كميات أكبر من اللقاح الفطري لاستخدامه في التجارب الحقلية، حضنت المزارع لمدة 24 ساعة على درجة حرارة 25°C .

3-12 : التجارب الحقلية

اجريت جميع التجارب الحقلية في أحد حقول جامعة كربلاء – كلية الزراعة التابعة لقسم وقاية النبات

3-12-1: تعقيم التربة المستخدمة في التجارب الحقلية

نظفت التربة الخاصة بالتجربة من جميع الشوائب والأحجار وبعدها نقلت إلى مختبر المقاومة الاحيائية التابع لقسم وقاية النبات في كلية الزراعة اذ عقمت بجهاز المؤصدہ تحت ضغط 15 باوند / انج² ودرجة حرارة 121°C لمده ساعة واحدة مرتين متتاليتين بفترة فاصلة يوم واحد.

3-12-2: تحليل التربة

تم فحص و تحليل الخواص الفيزيائية و الكيميائية للترابة في مختبر الدراسات العليا قسم المحاصيل الحقلية ، كلية الزراعة جامعة كربلاء و حسب ما مبين في الجدول 6.

جدول 6. بعض الخواص الفيزيائية والكيميائية للتربة المستعملة في الدراسة .

نوع التربة	رمليه مزيجيه
pH	7.2
درجة الملوحة (التوصيل الكهربائي) E.C	4.2
المادة العضوية %	0.54
الرمل %	68.2
الغرين %	17.8
الطين %	14

3-13: تقييم كفاءة A. chrooccoccum و T. harzianum في تحلل مبيد الكلإيفوسيت في التربة حقلياً

نفذت هذه الدراسة في تاريخ 11/12/2022 اذ أخذ 50 كيلو غراما من التربة المعقمة ووزعت على 27 سندانه بلاستيكية حجم 1.5 كيلوغرام لثلاث تراكيز من المبيد الموصى بها وهي 10 و 15 و 20 مل لتر⁻¹ وبواقع ثلاث مكررات لكل تركيز وللمقارنة ايضاً ثلاثة مكررات لكل تركيز ، وحققت السنادين بالللاصال الفطري Harzianum . A.chroococcum ، اخذت القراءات بعد المعاملة مباشرة و بعد 3 و 7 و 10 و 15 يوما من المعاملة ولأجل التحرير عن بقايا المبيد في التربة أخذت نماذج من تربة السنادين من موقع مختلفة ومن مستويات مختلفة من كل مكرر وضعت العينات في اكياس بلاستيكية وحفظت بالمجمدة عند درجة حرارة - 20 °م وذلك لتجنب تأثير أي عامل على متبقيات المبيد ولحين اجراء التحاليل الخاصة بكشف وتقدير المبيدات بواسطة جهاز HPLC (Chavarri 2005 ; آخرون، 2015).

جدول 7. تواریخ وأوقات أخذ عینات التربة بعد معاملتها بمبید الكلایفوسیت وبالترکیز 10 و 15 و 20 مل لتر¹

رقم العينة	أوقات ما بعد المعاملة (الوقت)	تأريخ أخذ العينة
1	بعد المعاملة مباشرة	2022/12/12
2	بعد المعاملة بثلاثة أيام	2022/12/15
3	بعد المعاملة بسبعة أيام	2022/12/19
4	بعد المعاملة بعشرة أيام	2022/12/22
5	بعد المعاملة بخمسة عشر يوم	2022/12/27

14-3: تقدير متبقيات مبید الكلایفوسیت في الماء

تم فحص مستوى حامضية الماء ودرجة الملوحة لعينات الماء المستخدمة في سقي السنادين في مختبر الدراسات العليا كلية الزراعة – جامعة كربلاء

مستوى حامضية الماء PH	8.20
درجة الملوحة EC	6.5

اجريت هذه التجربة في حقول كلية الزراعة جامعة كربلاء في تاريخ 18/1/2023، استخدم مبید الكلایفوسیت تيلر 48 % سعودي المنشأ والمسجل لدى وزارة الزراعة العراقية وبواقع ثلاثة تراكيز ، هي 10 و 15 و 20 مل / لتر ماء ، اخذ راشح ماء السقي من سنادين معاملة بمبید الكلایفوسیت وضعت العینات في قناني بلاستيكية سعة 10 مل ، وتم اخذ القراءات بعد المعاملة مباشرة و بعد 3 و 7 و 10 و 15 يوم من المعاملة . حفظت العینات في انباب بلاستيكية في المجمدة عند درجة حرارة - 20 ° م لحين اجراء عملية الاستخلاص .

3-15 : الاستخلاص لمتبقيات مبید الكلایفوسیت من التربة

اخذت 10 غم من التربة المعاملة بمبید الكلایفوسیت ثم وضعت في انبوبة بلاستيكية. تمت عملية الاستخلاص من خلال اضافة 10 مل من acetonitrile و تم رجه جيداً لمدة دقيقة واحدة بعدها اضيفت الاملاح (0.2 ± 4 غم trisodium citrate 0.05 ± 1 ، sodium chloride 0.05 ± 1 ، magnesium sulfate anhydrous disodium hydrogen citrate sesquihydrate) بعدها نقل الخليط الى dehydrate

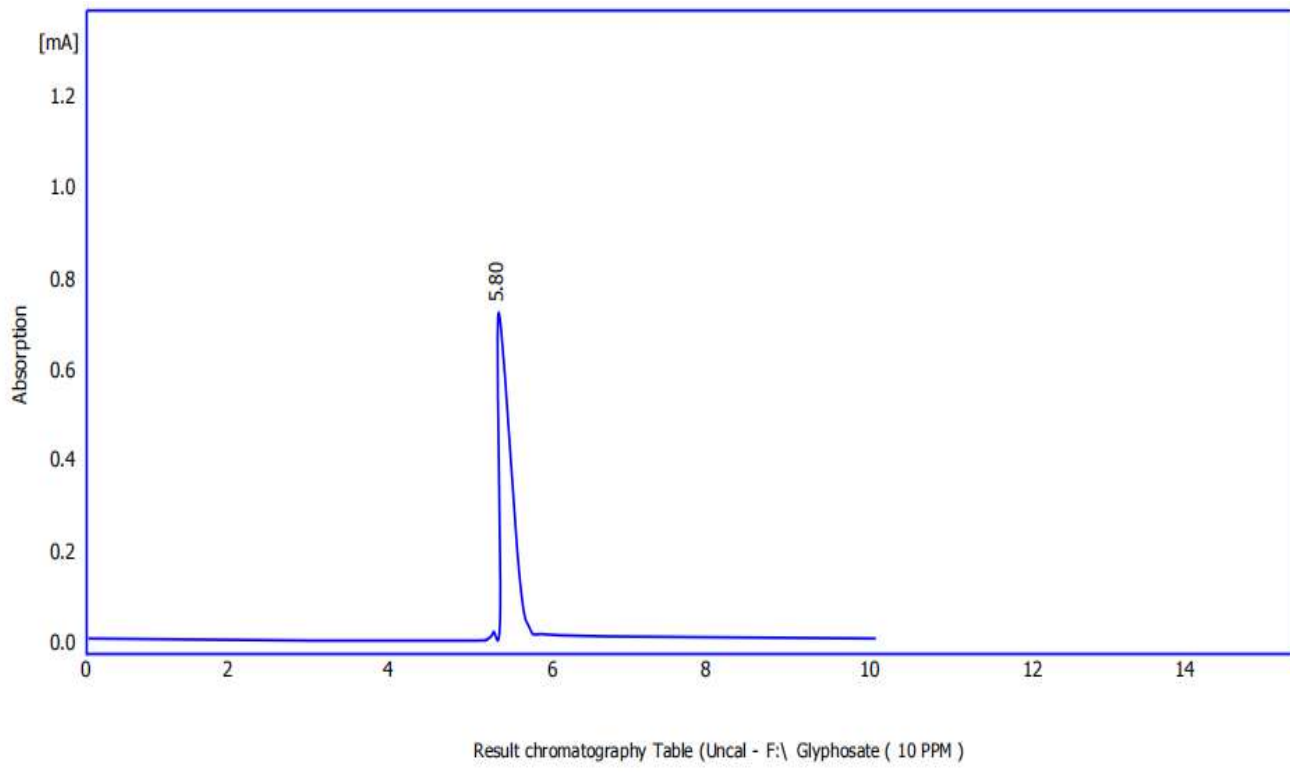
جهاز الطرد المركزي لغرض الفصل . تم استخدام 150 ملغم من primary secondary amine و 900 ملغم من MgSO₄ لغرض التنظيف و التقليل من التلوث .

3-16: الاستخلاص لمتبقيات مبيد الكلايفوسيت من الماء

اخذ 10 مل من الماء المعامل بمبيد الكلايفوسيت ووضع في أنبوبة بلاستيكية . وتمت عملية الاستخلاص من خلال اضافة 10 مل من Acetonitrile و تم رجه جيدا لمدة دقيقة واحدة بعدها اضيفت الاملاح (0.2 ± 4 غم trisodium citrate 0.05 ± 1 ، sodium chloride 0.05 ± 1 ، magnesium sulfate anhydrous disodium hydrogen citrate sesquihydrate) بعدها نقل الخليط الى dehydrate و 0.5 ± 0.5 غم بعدها لغرض التنظيف و التقليل من التلوث .

17-3 : الكشف والتحليل

جرى الكشف و التحليل بمختبرات كلية الزراعة جامعة كربلاء للكشف عن بقايا مبيد الكلايفوسيت في عينات الماء المعاملة باستخدام جهاز كرومتوغرافيا السائل عالي الكفاءة (HPLC) حيث كانت ظروف الجهاز كالتالي : Chromatographic column: NH₂ (5μm) 250 mm x 4.6 mm, mobile phase: 85%water solution KH₂PO₄ with 1,5% NaOH 3M : 15% Acetonitrile (80 : 20 V/V) atflow rate 0,8 ml/min, the detector was Fluorescence detection at Ex = 265 nm and Em = 310 nm .



شكل 6. منحني المادة القياسية للمبيد كلايفوسينت

3-18 : استخدام السليكا النانوية المحبة للماء كعامل امتراز لازالة المبيد

لغرض تقدير امتراز مبيد الكلايفوسينت تم اتباع الطريقة الموصوفة من قبل Carneiro وآخرون (2015) و Mondal و Sen (2020) وذلك باتباع الخطوات الآتية

3-18-1: تحضير المنحني القياسي

يعد منحني المعايرة المعروف بالمنحني القياسي طريقة عامة لتحديد تركيز مادة ما غير معروفة عن طريق مقارنة المجهول بمجموعة من العينات القياسية ذات التركيز المعروف، إذ يتم حقن مادة معروفة التركيز من المبيد(محضرة من المادة القياسية) في جهاز High performance liquid chromatography(HPLC) ، ليتم مقارنة الناتج مع المادة المجهولة المحقونة في جهاز HPLC عن طريق مساحة القمة (Peak Area) ووقت الاحتجاز (Retention Time)

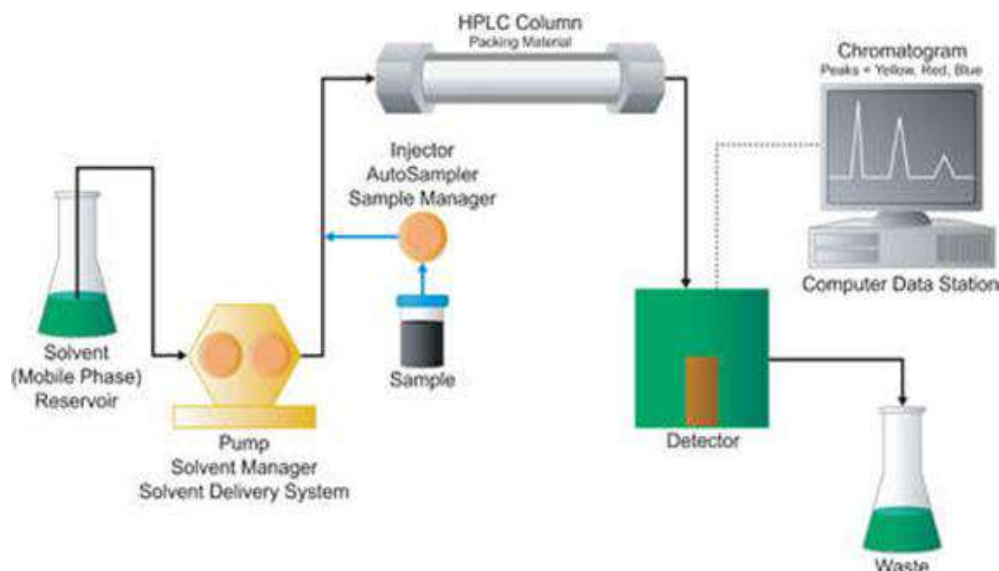
(Time) والذي يستخدم كمؤشر للكشف عن المادة الفعالة في العينات المأخوذة في الفترات الزمنية المختلفة ليتم استخراج المجهول.(2018، FSANZ).

جهاز الكروماتوغرافي السائل عالي الاداء (HPLC):

يستخدم جهاز الكروماتوغرافي السائل عالي الاداء (شكل 5) لفصل المكونات لمزيج ما كل على حدة ويتتألف هذا الجهاز من الأجزاء التالية:

- خزان المذيب Solvent Reservoir
- نظام الصخ Pumping System
- وحدة تفريغ الغازات Degassing Unit
- أنابيب توصيل Connecting Tubes
- نظام حقن النماذج Sample Injection System
- العمود Column
- فرن العمود Coumn Oven
- المكشاف Detectors
- نظام معالجة البيانات Data Processing System

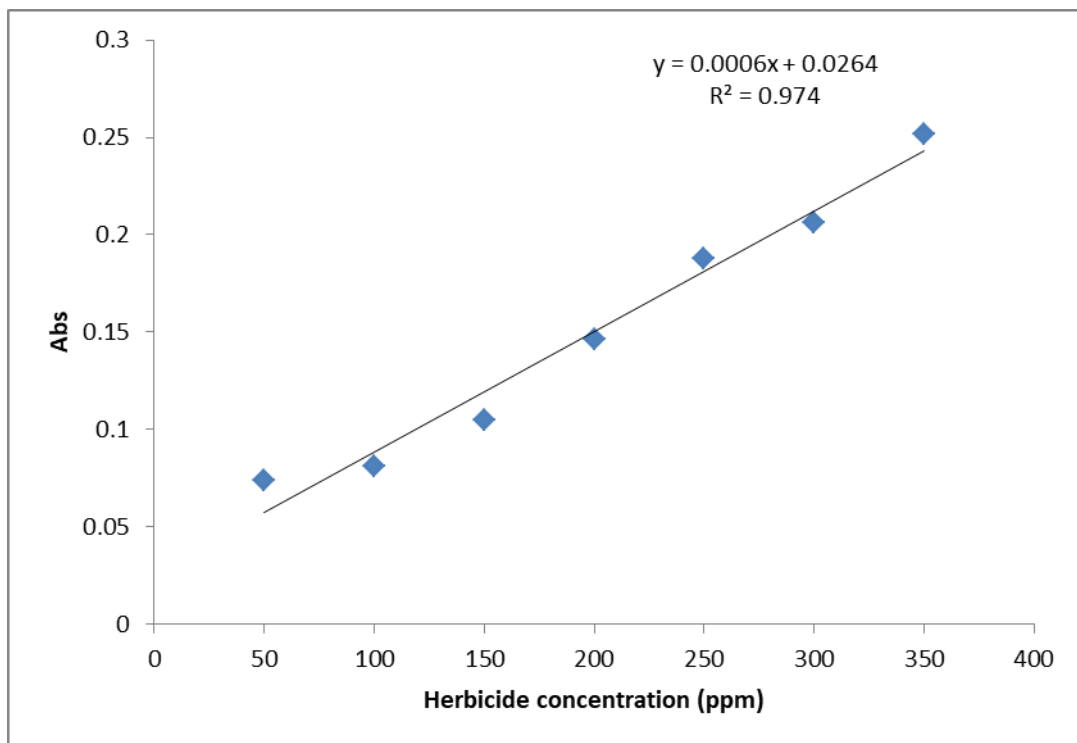
وقد ظهرت هذه التقانة في السنوات الأخيرة كتقانة قوية للتقدير الكمي للعقاقير والمواد السامة المتبقية على المواد المعاملة فيها .(Matuszewski, 2003)



. (HPLC) . شكل 5. مخطط توضيحي لمكونات جهاز

3-18-2 : المنحنى القياسي

حضر المنحنى القياسي لتقدير تركيز مبيد Glyphosate وذلك بتحضير تراكيز مختلفة منه 5 و 10 و 20 و 25 و 30 و 35 ملغم . اضيف لكل تركيز من التراكيز المحضره 1 مل من مادة Ninhhydrin 5 % و 1مل من مولبيدات الصوديوم 5 % ، حضن الخليط في الحمام المائي بدرجة حرارة 100°C لمدة 5 دقائق وثم ترك الخليط لتبرد بحرارة الغرفة ومن بعدها تم قراءة الامتصاصية بجهاز المطياف الضوئي EMC-11-UV المنشا عند 570 نانوميتر شكل 7.



شكل 7. المنحنى القياسي لمبيد الكليفوسينت .

3-18-3 : زمن الاتزان

قدر زمن الاتزان وذلك بتجهيز 8 أنابيب بلاستيكية وضع في كل منها 2 مل من المبيد 30 ملغم مل⁻¹ و 1 مل Ninhhydrin% و 1 مل Sodium molybdate% و 1 مل Cilica ، ثم نقلت الانابيب البلاستيكية الى حمام مائي 100°C ، ثم تنقل الى جهاز هز الانابيب عند درجة حرارة 1 25±0 م وبسرعة 100 دورة/ دقيقة. وضعت الانابيب البلاستيكية في جهاز الطرد المركزي (85 دوره / دقيقة) لمدة 15 دقيقة ومن ثم يتم فلترة السائل والتخلص من الراسب ومن بعدها يتم تقدير الامتصاصية بجهاز المطياف الضوئي عند 570 نانومتر وهكذا لباقي الانابيب البلاستيكية وحسب الزمن المخصص لكل منها جدول 8.

جدول 8. تقدير زمن الاتزان لامتازاز السليكا النانوية .

رقم الانبوبة البلاستيكية	الزمن الذي ترفع بعده (دقيقة)
1	10
2	20
3	30
4	40
5	50
6	60
7	70
8	80

19-3 : امتازاز المبيد باستخدام السليكا النانوية المحبة للماء

تم تحضير ثلاثة تراكيز من السليكا النانوية المحبة للماء 100 و 150 و 200 ملغم لتر⁻¹ ، تم اضافة 1 مل من كل تركيز الى 2 مل من المبيد و 1 مل 5% Ninhydrin و 1 مل موليبيدات الصوديوم 5% ثم نقلت الى حمام مائي عند درجة حرارة 100م° لمدة 5 دقائق ومن بعدها نقلت الى جهاز هز الانابيب لمدة 50 دقيقة زمن الاتزان ومن بعدها نقلت الانابيب البلاستيكية الى جهاز الطرد المركزي 85 دورة / دقيقة لمدة 15 دقيقة ومن ثم تم فلترتها وتم اهمال الراسب ومن بعدها حسبت الامتصاصية بجهاز المطياف الضوئي عند نانومتر، 570 ، طبقت المعادلة ادناه لمعرفة النسبة المئوية للمبيد المزال Asouhidou وآخرون (2009) .

$$Re\ Herbicide\% = \left\{ \frac{C_{initial} - C_{adsorption}}{C_{initial}} \right\} \times 100$$

Initial C : التركيز الاولى adsorption C : التركيز بعد الامتصاص

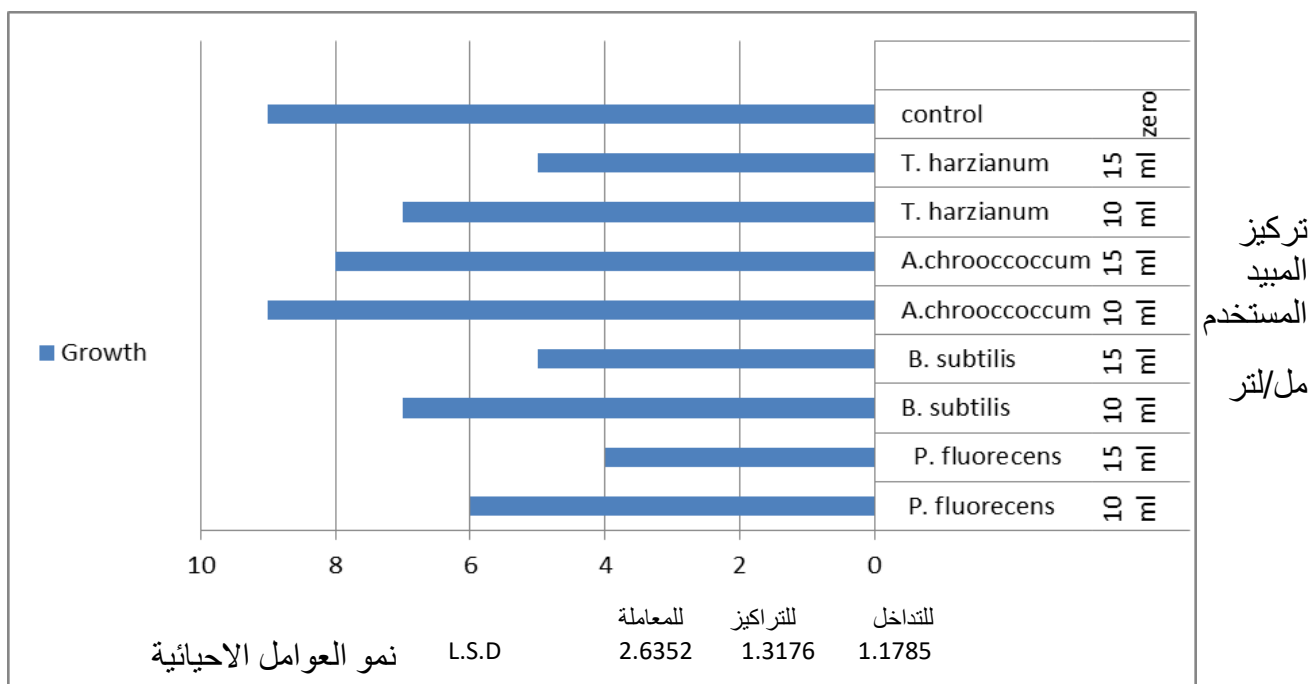
20-3 : تصميم التجارب وتحليلها إحصائيا

حللت البيانات احصائيا بأستعمال برنامج SAS (2001) وبتجربة عاملية وبأستعمال التصميم العشوائي الكامل (CRD) وقورنت الفروق بين المتوسطات بأستعمال اختبار اقل فرق معنوي (LSD) أقل فرق معنوي SAS (2012)

رابعاً : النتائج والمناقشة : (Results and Discussion)

4-1: اختبار تأثير مبيد Glyphosate في نمو العزلات البكتيرية *A. chroococcum* و *T. harzianum* و *P. fluorescens* و *B. subtilis* مختبرياً.

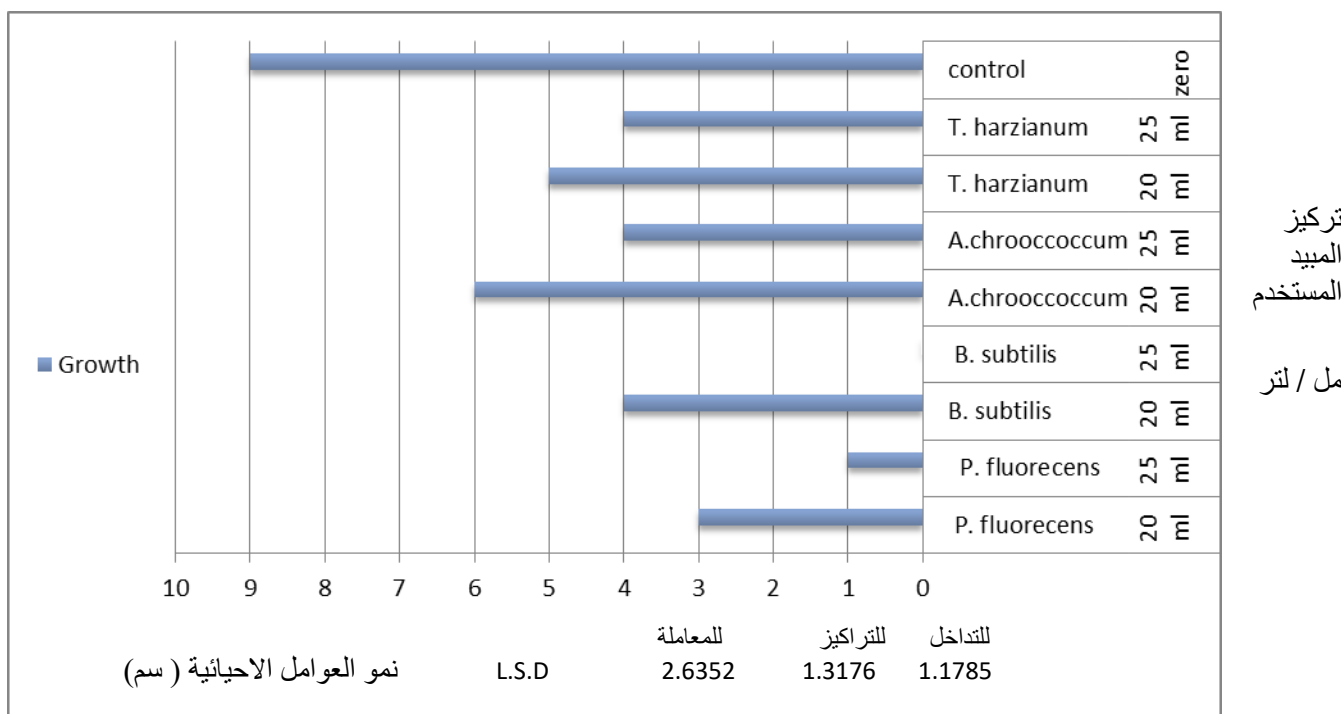
أظهرت نتائج دراسة امتداد النمو البكتيري و الفطري على الاوساط الزراعية N.A و على التوالي P.D.A. المسمى بالتراكيز 10 و 15 و 20 و 25 مل لتر⁻¹ من مبيد Glyphosate ، أن بكتيريا *A. chroococcum* اظهرت تجاوباً ملحوظاً في قدرتها على النمو و التحمل لتراكيز المبيد المستخدمة (10 و 15 و 20 و 25 مل لتر⁻¹) حيث سجلت معدل قطر نموها 7.20 سم ولم تختلف معنوياً عن معاملة الفطر *T. harzianum* والذي سجل معدل قطر نمو 6.00 سم في حين بلغ أقل معدل للنمو في 4.60 سم للبكتيريا *P. fluorescens* والتي اختلفت معنوياً عن المعاملات الأخرى. كانت التراكيز 10 و 15 مل لتر⁻¹ شكل (8) الأفضل امتداداً و نمو للبكتيريا *A. chroococcum* و الفطر *T. harzianum* و *B. subtilis* ، فيما حفظت البكتيريا *P. fluorescens* امتداد نمو بلغ 6 ، 4 سم على التوالي مقارنة بمعاملة المقارنة التي حققت 9 سم ، على التوالي .



شكل 8. تأثير مبيد Glyphosate في نمو العزلات البكتيرية *A. chroococcum* عند التراكيز 10 ، 15 مل لتر⁻¹ و *T. harzianum* و *P. fluorescens* و *B. subtilis*

اشارت نتائج دراسة التراكيز 20 و 25 مل لتر⁻¹ شكل 9 قدرة البكتيريا *A. chroococcum* و الفطر *T. harzianum* على التحمل و النمو في التراكيز العالية للمبيد حيث مسجلة نسبة نمو بلغت 6 ، 4 ، 5 ، 4 سم على التوالي و بدون اختلاف معنوي مقارنة بالبكتيريا *P. fluorescens* و *B. subtilis* التي حققتا نسبة نمو 4 ، 0 و 3 ، 1 سم وبفارق معنوي عن باقي المعاملات الأخرى .

وفيما يخص التداخلات بين العوامل الاحيائية والتراكيز المختلفة فقد بلغ اعلى معدل نمو للتداخل فيما بين البكتيريا *A. chroococcum* والتركيز 10 مل لتر⁻¹ اذ كان معدل النمو 9 سم و اختلف معنويًا عن بقية التداخلات في حين كان اقل معدل للنمو للتداخل فيما بين البكتيريا *B. subtilis* والتركيز 25 مل لتر⁻¹ اذ كان معدل النمو 0 سم .



شكل 9. تأثير مبيد Glyphosate عند التراكيز 20 ، 25 مل / لتر في نمو العزلات البكتيرية *A. chroococcum* و *T. harzianum* و *P. fluorescens* و *B. subtilis* و الفطر .

يرى إن نمو البكتيريا *A. chroococcum* كان بشكل جيد اذ يرجع ذلك إلى أن البكتيريا تقوم بتفكك المبيد بوساطة اليات متعددة ، كإزالة مجموعة الإلکيل المتصلة بذرة الأوكسجين او إزالة مجاميع المثيل المتصلة بذرة الأوكسجين ، النتروجين او الكاربون، أما التفاعلات الأخرى التي يمكن أن تحصل للمبيdes نتيجة لتأثير الإنزيمات البكتيرية ، فتشمل استبدال بعض المجاميع مثل الكاربوكسيل والهيدروكسيل لتنتج مركبات من نوع Azo ، أو يحدث أن ترتبط أكثر من جزئية من جزيئات المبيد نتيجة لتأثير الإنزيمات ، وهذا ما يطلق عليه بالتكثيف ، الذي يؤدي في معظم الأحيان إلى تثبيط

فعالية المبيد ، وقد تقوم الأحياء بإبطال فعالية المبيدات بمحاجمها بمحاجم أخرى خلال تفاعلات مثل تفاعلات Acetylation أو Methylation و Formylation (الخفاجي ، 1987) .

اجرى Sangeeta (2008) دراسة للكشف عن قدرة 102 JL A. chroococcum على تحطيم مبيد الليندين التابع إلى مجموعة الكلور العضوية في التربة ، اظهرت البكتيريا القدرة على تحلل المبيد بنسبة 73.69% و 45.1% عند التراكيز 10 و 100 جزء في المليون على التوالي . كما اشار Balajee و Mahadevan (1993) عن قدرة A. chroococcum في تحطيم 58% من مبيد الادغال D-4,2 عند درجة الحرارة 30°C في التربة المعاملة .

يعتقد أن الفطر T. harzianum يقوم بإفراز إنزيمات Enzymes خاصة بأيضاً المبيدات تؤدي عملها بطريقتين متلاقيتين يتم في الأولى تغيير التركيب الجزيئي للمبيد ليصبح أقل سمية من المادة الأصلية ، أما في الثانية فيتم تحويل الجزء إلى مركب أكثر قطبية ، وعندما يصبح أكثر ذوباناً في الماء ويمكن التخلص منه إلى خارج الجسم ، حيث تكون معظم المبيدات الكيميائية غير ذائبة في الماء ، وان أكسدتها أو تحللها مائيًا يساعد على إدخال محاجم قطبية إلى الجزيء ليصبح أكثر ذوباناً في الماء مهيأً للدخول في تفاعلات أخرى تدعى هذه الخطوة بالأيض الأولي ، وفي معظم الأحيان يتم ارتباط المركب الناتج من الأيض الأولي بمركبات طبيعية داخل أنسجة الكائن كالسكريات والأحماض (العادل ، 2006)

اذ اتفقت هذه النتائج مع اراء العديد من الباحثين إلى ان سبب كفاءة الفطر T. harzianum يعود إلى امتلاكه العديد من الآليات التي يؤثر من خلالها بإفراز الإنزيمات. ان الفطر T. harzianum يقوم بإفراز إنزيمات تؤدي عملها بطريقتين متلاقيتين في الأولى تغيير التركيب الجزيئي للمبيد ليصبح أقل سمية من المبيد الأصلي اما الطريقة الثانية فيتم تحويل التركيب الجزيئي إلى مركب أكثر قطبية وأكثر ذوباناً في الماء ويمكن التخلص منه بسهولة اذ ان معظم المبيدات الكيميائية غير ذائبة في الماء ونتيجة اكسدتها او تحللها مائيًا تدخل محاجم قطبية إلى الجزيئي ليصبح أكثر ذوباناً في الماء ومهماً للدخول بالتفاعلات الأخرى ربما يعود السبب في امكانية البكتيريا A. chroococcum في النمو الى قدرتها على افراز مواد ايض ثانوي تساعد في تحلل المبيد وتحوله من سام الى أقل سمية (Gurikar وآخرون ، 2014 و Gurikar وآخرون ، 2015) .

من خلال ما تقدم انتخب البكتيريا *A. chroococcum* والفطر *T. harzianum* لأجراء التجارب حقلياً وتم اهمال تركيز المبيد 25 مل لتر¹ لمستوى سميته العالية و عدم تحمل الفطر و البكتيريا لهذا التركيز العالي .

2-4 : تأثير مبيد الكلايفوسيت على النسبة المئوية للثبيط في الفطر *T. harzianum* و البكتيريا *A. chroococcum*.

بيان نتائج جدول 9. ان أعلى نسبة ثبيط بفعل مبيد الكلايفوسيت كانت للبكتيريا *A. chroococcum* عند تركيز المبيد 20 مل / لتر بنسبة مئوية بلغت 58.30 % و بفارق معنوي عن معاملة الفطر *T. harzianum* التي سجلت نسبة ثبيط مئوية 66.70 % عن التركيز نفسه. كما سجل التركيز 10 مل / لتر أقل نسب الثبيط مسجلاً 18.90 و 55.60 % للبكتيريا و الفطر و على التوالي .

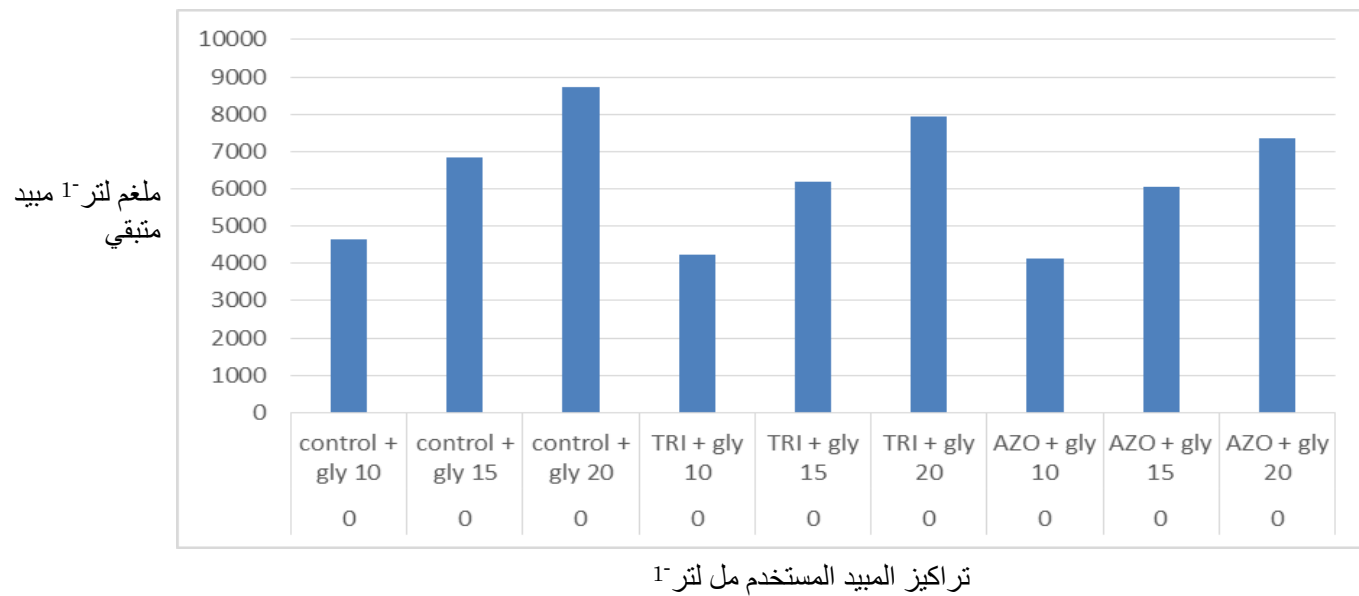
جدول 9. تأثير مبيد الكلايفوسيت على النسبة المئوية للثبيط بكتيريا *A. chroococcum* والفطر . *T. harzianum*

النسبة المئوية للثبيط <i>T. harzianum</i>	النسبة المئوية للثبيط <i>A. chroococcum</i>	تركيز مبيد الكلايفوسيت مل / لتر
55.60	18.90	10
60.70	37.84	15
66.70	58.30	20
0.00	0.00	Control
7.25	5.06	L.S.D 0.05

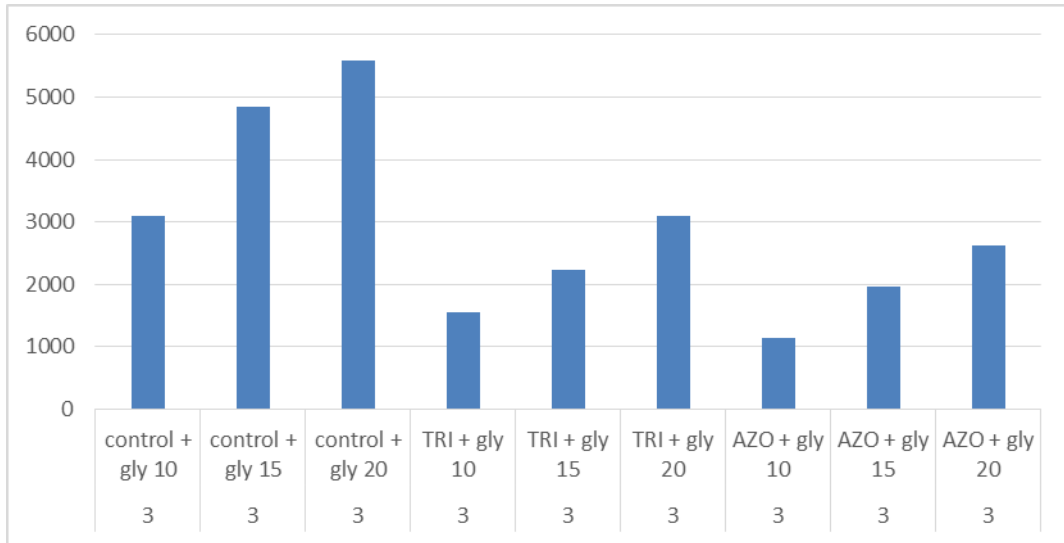
تنقق نتائج دراستنا مع تلك التي ذكرها Flores و Santos (1995) أن التراكيز العالية لمبيد الكلايفوسيت لا تثبيط فعالية ثبيط النيتروجين في *A. chroococcum* ولكن أيضًا يقلل من معدل تنفس البكتيريا بنسبة 60% وبالتالي تمنع تكاثرها و تثبيط من نموها . كما اشارت Elsa و Verónica (2020). ان استخدام تركيز 1 لتر من المبيد التجاري كلايفوسيت 480 g./l. في 200 لتر ماء ادى ان تثبيط نمو الفطر *T. Harzianum* بنسبة 81% .

3-4 : تقييم كفاءة *A. chroococcum* و *T. harzianum* في تحلل مبيد الكلأيفوسيت في التربة حقلياً

اظهرت نتائج دراسة تقييم الفطر والبكتيريا في تلاشي مبيد الكلأيفوسيت في التربة شكل 10 ان التراكيز الثلاثة المستخدمة 10 ، 15 و 20 مل لتر⁻¹ ماء سجلت 4238 ، 6176 ، 7933 و 4126 ، 6050 و 7353 ملغم لتر⁻¹ لكل من معاملة الفطر والبكتيريا على التوالي بعد المعاملة مباشرة مقارنة بمعاملة المقارنة التي سجلت 4640 ، 6828 ، 8725 ملغم لتر⁻¹ ، ثم بدا تركيز المبيد بالانخفاض بعد 3 يوم من المعاملة شكل 11 مسجلا 1955 ، 1132 و 3096 ، 2235 ، 1552 ملغم لتر⁻¹ على التوالي .

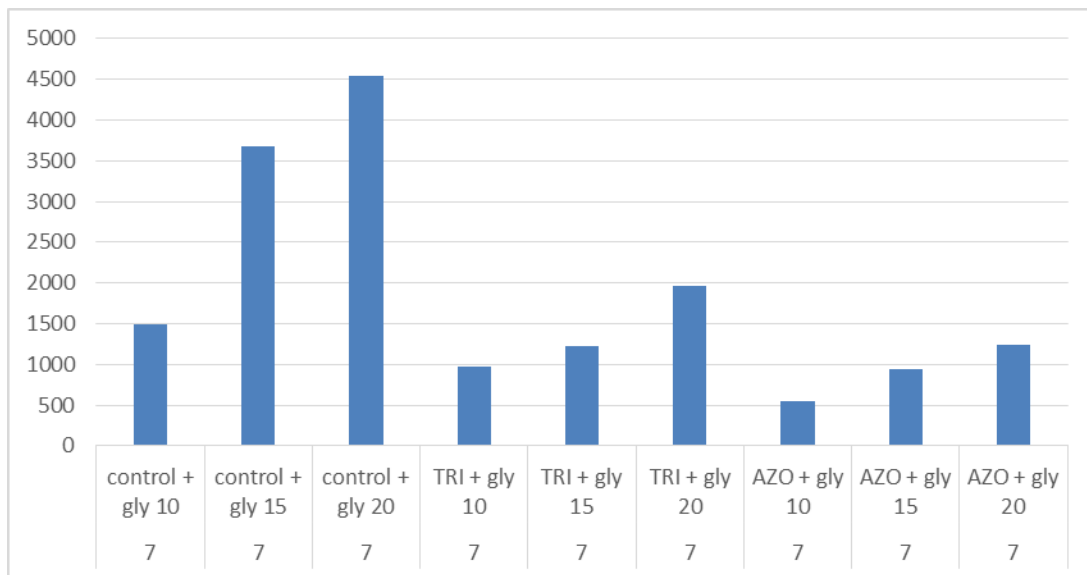


شكل 10. تلاشي بقايا مبيد Glyphosate ملغم لتر⁻¹ في التربة بعد المعاملة مباشرة



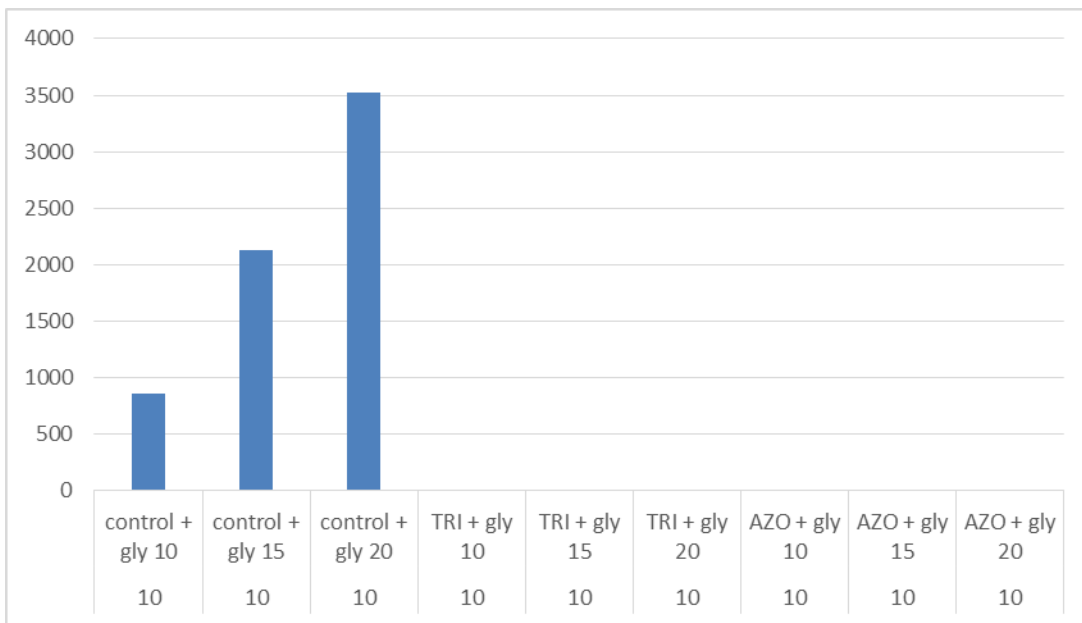
شكل 11. تلاشي بقايا مبيد Glyphosate ملغم لتر⁻¹ في التربة بعد 3 يوم من المعاملة.

كما يلاحظ من الشكل 12. ان التراكيز انخفضت في اليوم السابع مسجلة 975 ، 1227 ، 1270 ، 541 ، 942 ، 1242 ملغم لتر⁻¹ على التوالي مقارنة بمعاملة المقارنة التي سجلت 1493، 3675 و 4536 ملغم لتر⁻¹ .

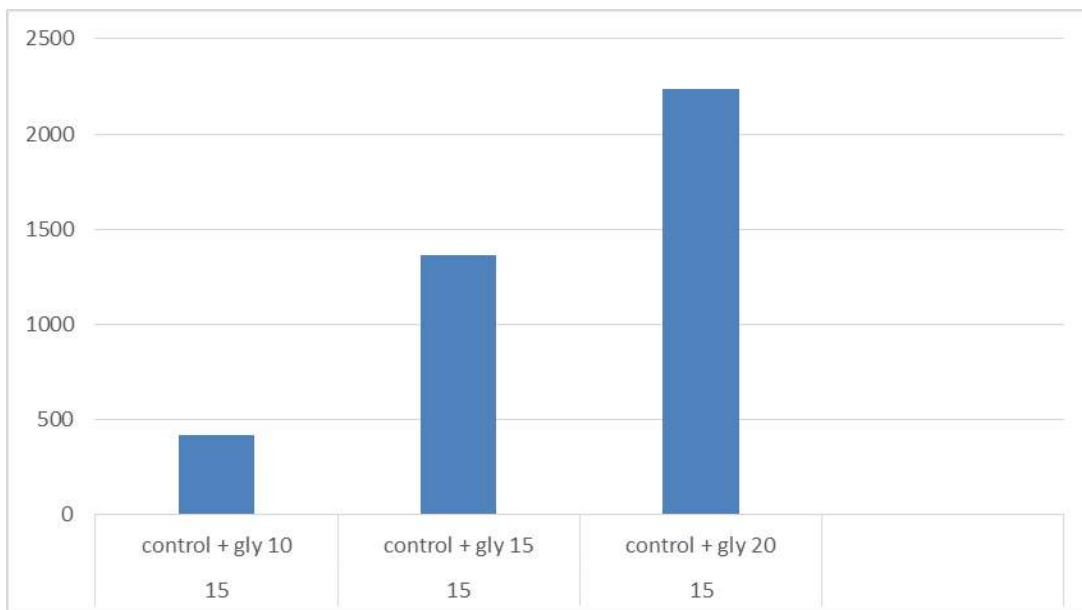


شكل 12. تلاشي بقايا مبيد Glyphosate ملغم لتر⁻¹ في التربة بعد 7 يوم من المعاملة.

اشارت نتائج الدراسة ان الفطر *A.chroococcum* والبكتيريا *T. harzianum* حققت الكفاءة في تحطيم و تلاشي المبيد بعد 10 ايام من المعاملة شكل 13. حيث كان التركيز المتبقى صفر و للتركيزات الثلاثة المستخدمة في الدراسة مقارنة بمعاملة المقارنة بعد 10 و 15 يوم التي سجلت 855 ، 2125 ، 3528 و 420 ، 1365 ، 2235 ملغم لتر⁻¹ على التوالي شكل 14.



شكل 13. تلاشي بقايا مبيد Glyphosate ملغم لتر⁻¹ في التربة بعد 10 يوم من المعاملة.



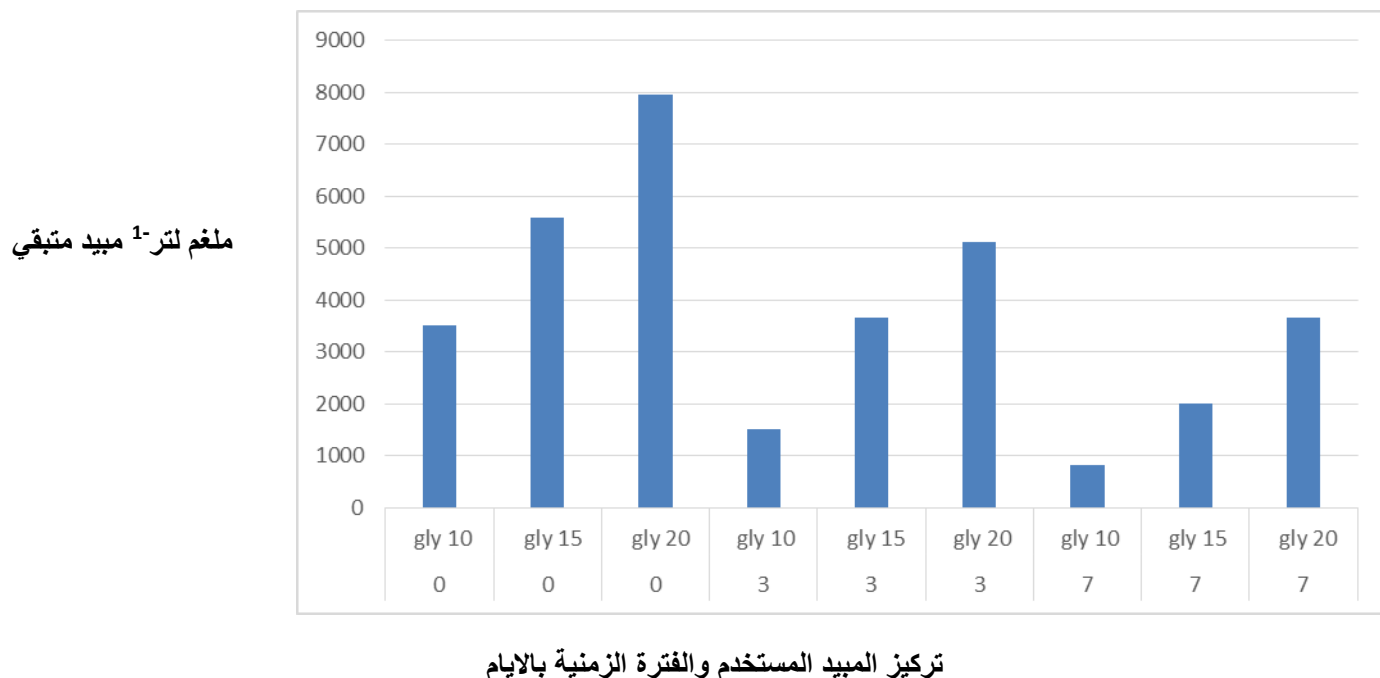
شكل 14. تلاشي بقايا مبيد Glyphosate ملغم لتر⁻¹ في التربة بعد 15 يوم من المعاملة.

بينت نتائج الدراسة كفاءة الفطر *T. harzianum* و البكتيريا *A. chroococcum* في تحطيم مبيد الكليفوسيت بعد 10 يوم من المعاملة . كانت البكتيريا الاحيائية *A. chroococcum* الاكثر كفاءة نسبياً من الفطر في تحطيم متبقيات مبيد الكليفوسيت في التربة وهذا يتفق فيما اشارت اليه البحوث التي تناولت قدرة البكتيريا على التحطيم الحيوي للمبيدات . أوضح Kole واخرون (1994). قدرة وكفاءة البكتيريا *A. chroococcum* في تحمل مبيد Hove-Jensen Pendimethalin و بنسبة تحطيم بلغت 45% بعد 10 أيام و 55% بعد 20 يوماً. اشار Sangeeta (2008) واخرون (2014). في ان البكتيريا الموجودة في التربة تقوم بعملية التحلل الايضي البيولوجي لمبيد الكليفوسيت وبالنالي تقوم باستخدام نتائج التحلل الايضي كمصدر للكربون والنيتروجين والفسفور. اجرى دراسة للكشف عن قدرة 102 JL *A. chroococcum* على تحطيم الليندين التابع الى مجموعة الكلور العضوية في التربة ، اظهرت البكتيريا القدرة على تحلل المبيد بنسبة 73.69% و 45.1% عند التراكيز 10 و 100 جزء في المليون على التوالي . بين Balajee و Mahadevan (1993) الى قدرة *A. chroococcum* في تحطيم 58% من مبيد الادغال D-4.2 عند درجة الحرارة 30°C في التربة.

. كما اوضح Moneke واخرون (2010) في دراسة اجريت على الانواع *Azotobacter, Pseudomonas, Escherichia, Acetobacter* المعزولة من التربة لها القدرة على تحمل تراكيز عالية من مبيد الكليفوسيت 100 - 250 ملغم مل⁻¹ وبالتالي ممكن استخدامها في تحطيم المبيدات الاخرى التابعة لمجموعة الفسفور العضوية . وجد Correa واخرون (2021) . من خلال دراسة اجريت على الفطريات *Trichoderma* و *Aspergillus* و *Penicillium* لمعرفة قدرتها على تحطيم مبيد الكليفوسيت في البرازيل انها حققت معدل تحطيم بلغ من 87-88% بين Masmali و Abd El-Ghany (2016). في دراسة اجريت حول قدرة الفطر *T. harzianum* في تحطيم المبيد الفسفوري ديانون بتراكيز و فترات و درجات حرارة مختلفة ، ان للفطر القدرة على تحطيم المبيد عن التراكيز 10 ، 20 و 40 ملغم لتر⁻¹ وبنسبة بلغت 91.8 ، 88.2 و 84.8 % على التوالي بعد 20 يوم من المعاملة وان درجة الحرارة المثلث للفطر هي 35°C . وضح Moneke واخرون (2010). ان انواع البكتيريا *Azotobacter, Pseudomonas, Escherichia, Acetobacter* مبيد الكليفوسيت 100 - 250 ملغم مل⁻¹.

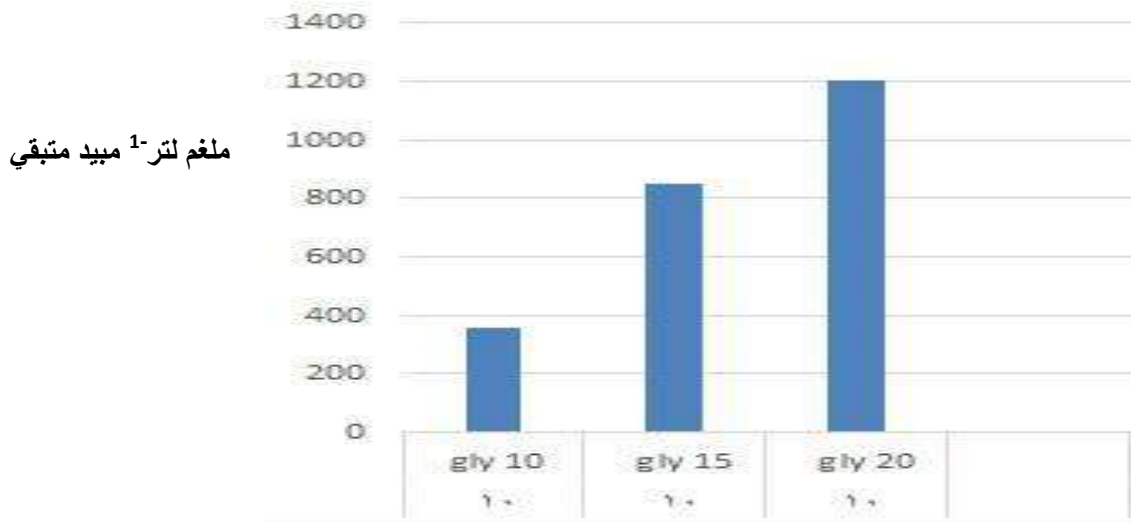
4-4 : تقدير متبقيات مبيد الكلايفوسينت في الماء

اظهرت نتائج دراسة تقدير متبقيات مبيد الكلايفوسينت في الماء لمدة 10 أيام كما في الشكل 15. والشكل 16. ان التراكيز الثلاثة المستخدمة 10 ، 15 و 20 مل لتر⁻¹ ماء سجلت 3520 ، 5600 و 7955 ملغم لتر⁻¹ على التوالي بعد المعاملة مباشرة، ثم بدا ترکیز المبید بالانخفاض وبمرور الايام قید الدراسة لحين الوصول الى 822 ، 2011 و 3652 ملغم لتر⁻¹ ، على التوالي في اليوم السابع بعد المعاملة بالسيليكا النانوية شكل 15.



شكل 15. تلاشي بقايا مبيد Glyphosate ملغم لتر⁻¹ في الماء باستعمال 3 تراكيز للمبید مع عامل الوقت .

كما يلاحظ من الشكل 16. ان التراكيز انخفضت في اليوم العاشر مسجلة 356 و 852 و 1203 ملغم لتر⁻¹ على التوالي ، وبعدها عند اليوم 15 لم يتحسس جهاز HPLC لأي تركيز من التراكيز المستخدمة في معاملة الماء .

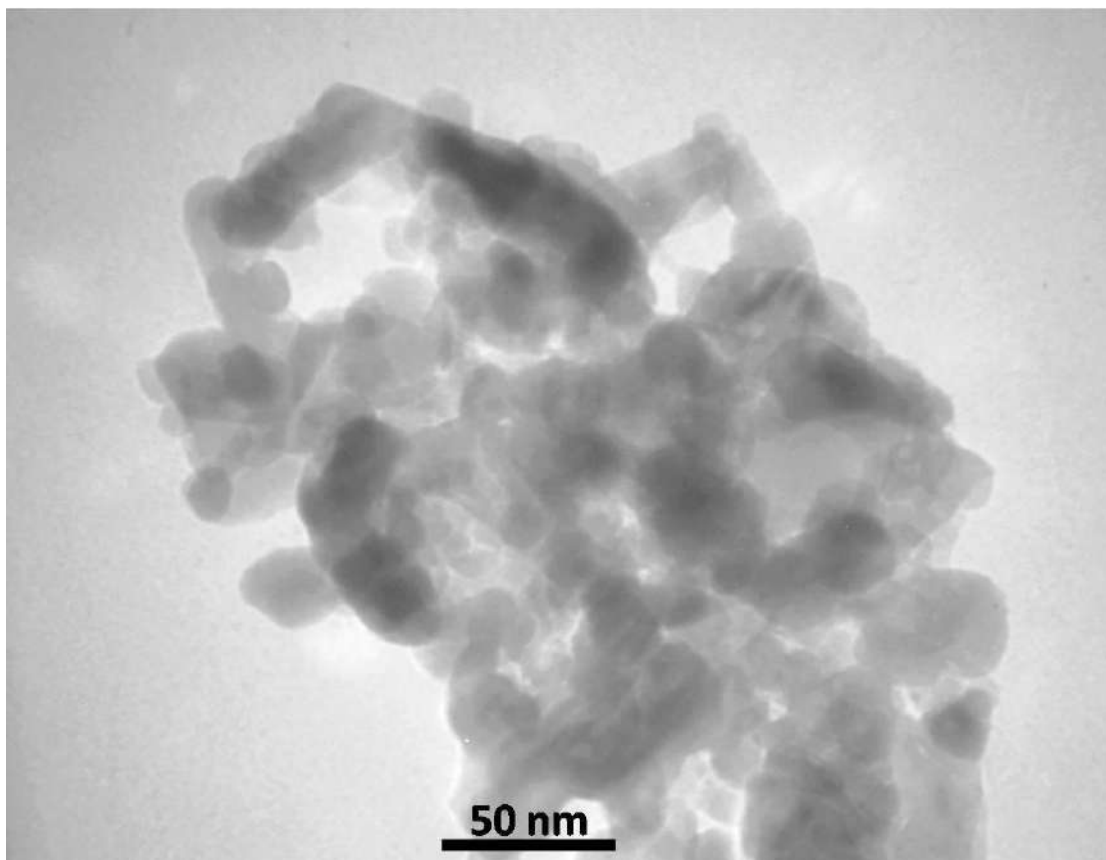


شكل 16. تلاشي كميات المبيد Glyphosate (ملغم لتر⁻¹) في الماء بعد 10 يوم .

وجد Evandro وآخرون (2017) . في دراسة اجريت لقياس متبقيات مبيد الكليفوسيت وتقدير العمر النصفي half-time في احواض الماء الملوثة بأدغال زنبق الماء وآخرى نظيفة في البرازيل عند التركيز الموصى به 7 لتر / هكتار حيث قدر العمر النصفي للمبيد 16 يوم في الاحواض التي تحتوي على زنبق الماء و 6 ايام في الاحواض النظيفة . كما اجرى Bandana وآخرون (2015) . دراسة لتحديد تلاشي بقايا مبيد الكليفوسيت المطبق على ثلاثة مستويات من الجرعات في محصول الشاي في شمال غرب الهيمالايا في الهند على موسدين متاللين . استمر وجود الكليفوسيت في التربة لمدة تصل إلى 30 و 45 و 60 يوماً عند تركيز بلغت 0.5 و 1 و 2 لتر / هكتار على التوالي . تراوحت أعمار نصف الكليفوسيت من 5.80 إلى 19.10 يوماً في تربة حقول الشاي . يمتلك مبيد الكليفوسيت قابلية للذوبان بالماء بدرجة عالية ويعتبر غير ثابت ، حيث اشارت البحوث ان قيمة DT50 (الوقت اللازم لتبديد 50 % من التركيز الأولي) بلغت من 1.1 إلى 13.7 يوماً تحت ظروف الدراسة الحقلية (PPDB, 2022) . لهذا تتفق دراستنا في ان متبقيات مبيد الكليفوسيت في الماء كان اكثر نسبياً مع مرور الوقت مع معاملة التربة بسبب ان الكليفوسيت يتمتع بقابلية الذوبان بالماء و تتركز متبقياته في راشح الماء .

4-5: فحص السليكا النانوية

اظهرت نتائج الفحص المجهرى لتحديد حجم دقائق اوكسيد السليكا النانوي بالمجهر الالكتروني الماسح Scanning Electron Microscopy (SEM) الى ان معدل اقطار اوكسيد السليكا صورة (1) كان 50 نانومتر ، بنقاوة 98 %. تشير نتائج الاشعة السينية المشتتة للطاقة Energy Dispersive X-Ray Analysis (EDX) الى ان نسب التحليل الكمي لمحتويات اوكسيد السليكا كانت السليكون (Si) 66.38 % و الاوكسجين 33.26 % و الصوديوم (Na) 0.25 % و النحاس (Cu) 0.37 % .



شكل 17. حجم دقائق اوكسيد السليكا النانوية

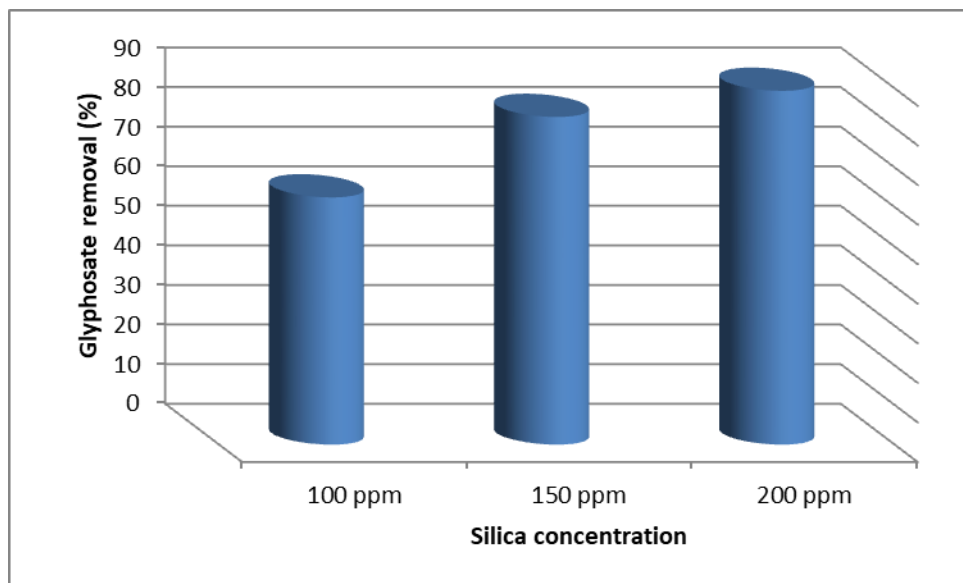
4-6 : استخدام السليكا النانوية المحبة للماء كعامل امتراز لازالة المبيد

بيّنت النتائج جدول 10. و شكل 18. إن التراكيز بعد الزمن 50 دقيقة عند الاتزان يحدث فيها ثبوت نسبي مسبب معه ثبوت قيم النسبة المئوية لكفاءة الامتراز حيث حقق الزمن 50 دقيقة افضل زمن اتزان في ازالة المبيد بلغ 81.55 % ، اذ اشارت النتائج ان زمن الاتزان يبدأ بعد 50 دقيقة من بدء عملية الامتراز للسليكا النانوية المحبة للماء و إن هذا الثبوت يعود الى عدم وجود موقع امتراز غير مشغولة على سطوح المادة النانوية.

جدول 10. تقدير زمن الاتزان لأمتراز السليكا النانوية

Glyphosate removal (%) النسبة المئوية لازالة المبيد	Glyphosate concentration (ppm) تركيز مبيد الكلاييفوسيت	Time (min)
1.71	344	10
20.98	276.56	20
49.05	178.34	30
67.26	114.58	40
81.55	64.56	50
81.56	64.55	60
81.59	64.45	70
81.59	65.48	80

اوضحت نتائج دراسة استخدام السليكا النانوية كعامل في ازالة مبيد الكلاييفوسيت في الماء ان التراكيز 200 ملغم لتر ¹ حق اعلى معدل في ازالة المبيد و بنسبة مئوية بلغت 89.37 متوقعا على التراكيز الاخرى 100 و 150 ملغم لتر ¹ و التي حققت 63.45 و 82.87 % على التوالي .



شكل 18. السليكا النانوية كعامل في ازالة مبيد الكلاييفوسيت في الماء .

وفقاً لـ Sophia و Lima (2018) . يعد استخدام المواد النانوية طرق واعدة نتيجة كونها منخفضة التكلفة و عملية و فعالة لإزالة الملوثات العضوية وغير العضوية في محلول المائي. يمكن أن تكون آليات الامتراز عبارة عن فعل فيزيائي ، وارتباط كيميائي عبر رابطة تساهمية قوية ، ضعف في قوى فان دير فالس ، تبادل الكاتيونات ، تبادل ثنائي القطب ثنائي القطب ، أو تفاعلات أيون ثنائي القطب (Mojiri و آخرون ، 2020) وبين Amini و Armaghan (2012) . إن المركب النانوي Al_2O_3 حق كفاءة في إزالة المبيد الحشري الفسفوري diazinon و المبيد الحشري البايثرويدی fenitrothion و بكفاءة إزالة بلغت 90% و 57% عند التراكيز 0.32 و 0.28 ملغم / مل على التوالي خلال فترة 24 ساعة .

خامساً : الاستنتاجات والتوصيات : (Conclusions and Recommendations)

1-5 : الاستنتاجات : (Conclusions)

- 1- العوامل الاحيائية البكتيريا *Trichoderma harzianum* و الفطر *Azotobacter chrooccoccum* امتلكت القدرة على التحمل والنمو في التراكيز العالية من مبيد الكليفوسين ، وان أعلى نسبة تثبيط للنمو كانت للفطر *T.harzianum* عند تركيز 20 مل/لتر.
- 2- نتائج تقدير متبقيات مبيد الكليفوسين في الماء اشارت الى تلاشي مبيد الكليفوسين بعد 10 أيام من المعاملة.
- 3- كفاءة استخدام السليكا النانوية المحبة للماء كعامل أمتزاز في إزالة متبقيات مبيد الكليفوسين في الماء وكان التركيز 200 ملغم لتر⁻¹ الأكفاء في تحقيق أعلى معدل في إزالة المبيد .

2-5 : التوصيات : (Recommendations)

- 1- عزل فطريات وبكتيريا من تربة ملوثة أصلا بالمبيد وأكثرها مختبريا لمعودة استخدامها في المعالجة الحيوية للتخلص من متبقيات مبيد الكليفوسين.
- 2- الالترالم بتراكيز المبيد الموصى بها من قبل الشركة المصنعة والمكتوبة على عبوة المبيد عند مكافحة الادغال.
- 3- استخدام السليكا النانوية كعامل أمتزاز فعال لإزالة متبقيات مبيد الادغال كليفوسين .

سادساً : المصادر (References)

1-6 المصادر العربية

ابو دكة ، احمد بريير . 2021 . دراسة بقايا المبيدات Acetamiprid 20 % SP و WG 25 % على *Brevicoryne brassicae* (Homoptera: Aphididae) واستخدامها لمكافحة المن Thiamethoxam محصول اللهاة ودور بعض العمليات الغذائية في خفضهما . رسالة ماجستير . كلية الزراعة ، جامعة كربلاء . 104 صفحة .

الاثوري ، ياسر ناشر طائف . 2002 . تأثير البسترة الشمسية وبعض المعاملات الكيميائية والاحيائية في مرض النبول Fusarium oxysporum Schl.f.sp. lycopersici (Sacc.) على الطماطه والمتسبب عن الفطر Snyder & Hansen رسالة ماجстير ، كلية الزراعة - جامعة البصرة . 89 صفحة .

البريدي ، فهد بن حمد وماجد بن سعود الفهيد و ابراهيم عبد الله الحسون وعبد العزيز عبد علي الطبشي . 2016 . دليل المبيدات الزراعية في المملكة العربية السعودية . ص 307-308 .

حسن ، زهراء بشير . 2018 . تقدير متبقيات الاسيتامبريد في الحنطة و دراسة تحاله الحيوي باستخدام خميرة الخبز المعزولة محليا . رسالة ماجستير . كلية الزراعة ، جامعة بغداد . 94 صفحة .

حسين، علاء حسين. 2018. دراسة بقايا المبيدات Imidacloprid 20% S.L و Oxymatrine 2.4% S.L واستخدامهما لمكافحة المن Aphis gossypii Glover على محصول الخيار . رسالة ماجستير . كلية الزراعة ، جامعة بغداد . 108 صفحة .

الخفاجي ، زهرة محمود . 1987 . الفعاليات الحيوية للبكتيريا . مديرية دار الكتب للطباعة و النشر . جامعة بغداد .

دالي ، باسل كامل وابراهيم جدع الجبوري وصلاح مجید كسل . 2002 . المبيدات المسجلة والمستخدمة في الزراعة والصحة العامة في العراق . اللجنة الوطنية لتسجيل واعتماد المبيدات . وزارة الزراعة . جمهورية العراق . صفحة 532 .

الرديني ، عبدالالمطلب جاسم و ماهر عط الله عبدالعزيز . 2015 . تأثير مبيد الكليفوسين اكوا في الصورة الدمية لسمكة البني Barbus sharpeyi . المجلة الطبية البيطرية العراقية . 39 (2): 12 – 18 .

السعدي ، كريم عبيد حسن . 2009 . تحليل مبيد الكليفوسين ببكتيريا aeruginosa Pseudomonas aeruginosa ومساره الحركي في التربة . أطروحة مقدمة الى مجلس كلية الزراعة في جامعة بغداد . 149 صفحة .

سکر ، احمد رشید . 2009 . دراسة اولية لاختبار بعض الانواع الفطرية في التحطيم الحيوي لأنواع مختلفة من المبيدات الكيميائية . رسالة ماجستير . كلية الزراعة . جامعة الكوفة .

شعبان ، عواد والملاح ، نزار مصطفى . 1993 . المبيدات . جامعة الموصل ، وزارة التعليم العالي والبحث العلمي .

- شعبان ، عواد والملاح ، نزار مصطفى. 2022. كتاب المبيدات . ص 321-329.
- العادل ، خالد محمد . 2006 . مبيدات الآفات مفاهيم اساسية ودورها في المجالين الزراعي والصحي . كلية الزراعة - جامعة بغداد . 422 صفحة .
- العادل ، خالد محمد ومولود كامل عبد . 1979. المبيدات الكيميائية في وقاية النبات . مطبع دار الكتب ، جامعة الموصل.
- عباس ، زيد رعد و عبد الجبار رياض عباس و عبود هادي مهدي . 2015 . اثر مبيد الادغال كلايفوسيت في سكان بكتيريا *Azotobacter chroococcum* وبكتيريا *Rhizobium leguminosarum* . مجلة كلية التربية الاساسية المجلد 21 العدد 88 .
- العبيدي ، علي بسام ابراهيم. 2018. تلاشي مبيد ثايوفتايت المثيل على محصول الخيار المعرض للإصابة بمرض البياض الدقيقي . رسالة ماجستير . كلية الزراعة ، جامعة بغداد. 72 صفحة.
- العكيدی ، انمار سعدي عبود . 2004. تأثير بعض مبيدات الادغال والحشرات في نمو ونشاط بكتيريا العقد الجذرية في نبات الباقلاء . رسالة ماجستير ، كلية التربية / ابن الهيثم ، جامعة بغداد. 153 صفحة.
- علوش، ميساء توفيق. 2020. التخلق الحيوي للجسيمات النانوية وتطبيقاتها في مجال مكافحة الآفات الزراعية: دراسة مرجعية. مجلة وقاية النبات العربية، 38(4): 267-280.
- علي، ايها ب حمود. 2018. تقدير متبقيات الأسيتامبرد في ثمار الطماطة دراسة تأثيراتها الفسلجية والنسيجية. رسالة ماجستير. كلية الزراعة ، جامعة بغداد. 102 صفحة.
- الغزي، كاظمية والي منصور ، لمى جاسم محمد العنبر، هدية مولى گوام المياح ، جاسم حسين عبد الله المالكي، عبد الجبار ناصر حمد وأنوار عبد الكريم جمعة . 2011 . دراسة عن الاستخدام الطبيعي وغير الطبيعي للمبيدات في منطقة أنهار وأهوار محافظة البصرة. مجلة جامعة بابل. العلوم الصرفه والتطبيقية ، 19 (1) : 142-149.
- الكرخي ، عناء داود خماس. 2001. تأثير بعض العوامل الفيزيائية والكيميائية والاحيائية في كفاءة سلالة البكتيريا *Pseudomonas fluorescence* CHAO ضد الفطر *Rhizoctonia solani* المسبب لموت الطماطة . رسالة ماجستير . كلية الزراعة . جامعة البصرة. 125 صفحة.
- المشهداني ، وسام علي. 2012 . دراسة متبقيات بعض المبيدات الحشرية على محصول الخيار ودور بعض عمليات التحضير الغذائي في خفضها. أطروحة دكتوراه . كلية الزراعة ، جامعة بغداد. 100 صفحة .
- المقصوصي ، سلام هاشم . 2021 . دراسة بقايا المبيدات Abamectin 1.8 %EC و Chlorfenapyr 24%SC واستخدامهما لمكافحة الحلم ذي البقعتين *Tetranychus urticae* Koch على محصول الخيار تحت ظروف الزراعة المحمية . رسالة ماجستير . كلية الزراعة ، جامعة كربلاء . 112 صفحة .

2- المصادر الاجنبية

- Abd El-Ghany T.M., Masmali I.A. 2016.** Fungal biodegradation of organophosphorus insecticides and their impact on soil microbial population. Journal of Plant Pathology & Microbiology, 7(5).1000349 .
- Abdulkareem J. A. , Sadeem S. A. , Hanan A. K. 2017.** Residual Determination of (Pyroxsulam 4.5% OD) in Iraqi Wheat and Field Soil Using QuEChERS / HPLC. International Journal of Science and Research (IJSR) 6(10):570-573 DOI: 10.21275/ART20177141.
- Acharya K.P., Shilpkar P., Shah M.C., Chellapandi P. 2015.** Biodegradation of insecticide monocrotophos by *Bacillus subtilis* KPA-1, isolated from agriculture soils. Applied Biochemistry and Biotechnology, 175: 1789–1804.
- Akrami M. and Zohreh Y. 2015.** Biological Control of Fusarium wilt of Tomato (*Solanum lycopersicum*) by *Trichoderma spp.* As AntagonistFungi. Biological Forum. An International Journal 7(1): 887-892
- Elshahawy I. E. and El-Sayed A. E. K. B. 2018.** Maximizing the efficacy of *Trichoderma* to control *Cephalosporium maydis* causing maize late wilt disease using freshwater microalgae extracts. Egyptian Journal of Biological Pest Control 28(1) , 1-11.
- Alexopoulos, G. J.; Mims, C. W. and Blackman, M. M. 1996.** Introductory Mycology. 4th Ed. 869 pp. John Wiley and Sons. New York.
- Ali Khan, R.;Najeeb, S.;Hussain, S.;Xie, B. and Li Y. 2020.** Bioactive Secondary Metabolites from *Trichoderma* spp. Against *Phytopathogenic* Fung Microorganisms, 8:1-22.
- Alizadeh, M.; Vasebi, Y.and, Safaie, N. 2020.** Microbial antagonists against plant pathogens in Iran: A review. Pen Agriculture 5: 404-440 .

AL-Safor, F.A. 2012. Isolation and identification of local isolates of *Sinorhizobium meliloti* and studying its tolerance towards the herbicides Glyphosate. Rafidain Journal of Science 23:11-21.

Alvarado-Gutiérrez ML, Ruiz-Ordaz N, Galíndez-Mayer J, Santoyo- Tepole F, Curiel-Quesada E, García-Mena J, Ahuatzi-Chacón D 2017. Kinetics of carbendazim degradation in a horizontal tubular biofilm reactor. Bioprocess Biosyst Eng 40:519–528.

Anastassiades, M.; Lehotay, S.J.; Štajnbaher, D. and Schenck, F.J. 2003. Fast and easy multiresidue method employing acetonitrile extraction/partitioning and “dispersive solid-phase extraction” for the determination of pesticide residues in produce. Journal of AOAC International, 86(2), pp.412-431.

Armaghan, M., Amini, M., 2012. “Adsorption of diazinon and fenitrothion on nanocrystalline alumina from non-polar solvent”, Colloid J., 74: 427-433.

Aron, F.B.; Ochet, M.F.C. ; Blain,W.A.; Grosset,N. ; GAUTIER J, M.2006. Rapid and cost-effective method for micro- organism enumeration based on miniaturization of the conventional plate-counting technique. 251–257.

Arya R, Sharma AK 2015. Bioremediation of carbendazim, a benzimidazole fungicide using *Brevibacillus borstelensis* and *Streptomyces albogriseolus* together. Curr Pharm Biotechnol 17:185–189.

Asouhidou D., Triantafyllidis K. S., Lazaridis N. K., Matis K. A. 2009. Adsorption of remazol Red 3BS from aqueous solutions using APTES- and cyclodextrin-modified HMS type mesoporous silicas. Colloids Surface ,346: 83–90

Azmi M.A.; Naqvi S.N.H.; Kehkashan, A.; Moinuddin.; Shahida, P.; Rehana, p. and Aslam, M. 2009. Effect of pesticide residues on health and blood parameters of farm workers from rural Gadap Karach- Pakistan. J. Environ. Biol. Ind. 30: 747 – 756.

Baer K.N. , Marcel B.J. .2014.Glyphosate. Encyclopedia of Toxicology (Third Edition), P. 767-769 .

Bagheini A., Saeidi M., Boroomand N.2018. Removal of diazinon pesticide umino-silane modified magnetite nanoparticles from contaminated water. International Journal NanosciencNanotechnology, 14 (1) , pp. 19-32.

Balajee s. and Mahadevan A..1993. Biodegradation of 2, 4-D in soil by *Azotobacter chroococcum*. Toxicological and Environmental Chemistry 39(3-4):169-172 .

Bandana B., Neelam S., Robin J., Ashu G. , Shobha S. 2015. Dissipation kinetics of glyphosate in tea and tea-field under northwestern mid-hill conditions of India. Journal of Pesticide Science , 40(3), 1–5.

Bandyopadhyay‘ P.‘ Yadav‘ B. G.‘ Kumar‘ S. G.‘ Kumar‘ R.‘ Kogel‘ K. H.‘ and Kumar‘ S. 2022. *Piriformospora indica* and *Azotobacter chroococcum* Consortium Facilitates Higher Acquisition of N‘ P with Improved Carbon Allocation and Enhanced Plant Growth in *Oryza sativa*. Journal of Fungi ‘ 8(5) 453.

Barja, B.C., Herszage, J., dos Santos Afonso, M., 2001. Iron (III)-phosphonate complexes. Polyhedron 20, 1821–1830.

Bedine , M.A. B.; Beatrice, I.; Severin, N.T.; Modeste, L. S.; Fabrice, B. F.2022. Harnessing the phosphate-solubilizing ability of *Trichoderma* strains to improve plant growth, phosphorus uptake and photosynthetic pigment contents in common bean (*Phaseolus vulgaris*). Biocatalysis and Agricultural Biotechnology. Volume 45, 102510.

Bellaloui, N., Reddy, K.N., Zablotowicz, R.M., Mengistu, A., 2006. Simulated glyphosate drift influences nitrate assimilation and nitrogen fixation in nonglyphosate-resistant soybean. J. Agric. Food Chem. 54, 3357–3364.

Benbrook, C.M., 2016. Trends in glyphosate herbicide use in the United States and globally. Environ. Sci. Eur. 28, 1-15.

Bharadwaj, A., N.Wahi, N. Nehra, M. Gupta, G. Pant and A. Bhatia, 2016. Bioremediation: An eco-friendly approach for treating pesticides. Adv. Biores.,7 (3): 200-206.

Bharadwaj, A., N.Wahi, N. Nehra, M. Gupta, G. Pant and A. Bhatia, 2016 . Bioremediation: An eco-friendly approach for treating pesticides. Adv. Biores.,7 (3): 200-206.

Borriss R, Danchin A, Harwood CR, Médigue C, Rocha EPC, et al. 2018. Bacillus subtilis, the model Gram-positive bacterium: 20 years of annotation refinement. Microb Biotechnol.;11:3–17.

Bruckmann, F.S.; Rossato Viana, A.; Tonel, M.Z.; Fagan, S.B.; Garcia WJ, D.S.; Oliveira AH, D.; Dorneles, L.S.; Mortari, S.R.; Da Silva, W.L.; Da Silva, I.Z.; .2022.Influence of magnetite incorporation into chitosan on the adsorption of the methotrexate and in vitro cytotoxicity. Environ. Sci. Pollut. Res. 29, 1–22.

Boruah P., Sharma B., Hussain N., Das M.2017. Magnetically recover-able Fe₃O₄/graphene nanocomposite towards efficient removal of triazine pesticides from aqueous solution: Investigation of the adsorption phenomenon and specific ioneffect.Chemosphere, 168 , pp. 1058-1067.

Bott, S., Tesfamariam, T., Candan, H., Cakmak, I., Roemheld, V., Neumann, G., 2008. Glyphosate-induced impairment of plant growth and micronutrient status in glyphosate-resistant soybean (*Glycine max* L.). Plant Soil 312, 185–194.

Brenner, D. J. ; N. R. Krieg and J. T. Staly. 2004. Bergey's manual of systematic bacteriology. Williams and Wilkins Baltimore. London. 1136 pp.

Bruggen, A.H.C.; He, M.M.; Shin, K.; Mai, V.; Jeong, K.C.; Finckh, M.R.; Morris, J.G. 2018. Environmental and health effects of the herbicide glyphosate. *Sci. Total Environ.*, 616–617, 255–268.

Buehting, N.W., Massey, J.H., Reynolds, D.B., 2007. Shikimic acid accumulation in field-grown corn (*Zea mays*) following simulated glyphosate drift. *J. Agric. Food Chem.* 55, 819–824.

Busse M.D, Ratcliff A.W, shestak C.J, Powers R.F.2001. Glyphosate toxicity and the effects of long-term vegetation control on soil microbial communities, *J. Soil Biol. Biochem.* 33: 1777-1789.

Carlisle , S. 2001 . A new sources of estrogens in the male gonad. *Mol cell Endocrinol.* 178.65-72.

Carro - Huerga,G.; Sara, M.-P.;Alvaro, R.-G.; Rosa, E. C.; Santigo,G.; Pedro,A. C. 2023. Vineyard Management and Physicochemical Parameters of Soil Affect Native *Trichoderma* Populations, Sources of Biocontrol Agents against *Phaeoacremonium minimum*. *Plants* (Basel). 12(4): 887.

Cecilia, D.; Maggi, F. 2018. Analysis of glyphosate degradation in a soil microcosm. *Environ. Pollut.*, 233, 201–207.

Chakravarthy,A.K.,S.B.Chandrashekharaih,B.Kandakoor,K. Dhanabala , K.Gurunatha , & Ramesh P .2012. Bio efficacy of inorganic nanoparticles CdS, Nano-Ag and Nano-TiO₂ *Spodoptera litura* (Fabricius) (Lepidoptera:Noctuidae). *CurrentBiotica*6(3):271-2

Chavarri, M. J., Herrera, A., and Ariño, A. 2005. The decrease in pesticides in fruit and vegetables during commercial processing. *International journal of food science & technology*, 40(2): 205-211.

Cheng, F. I. ; Hee Joo, S.2006. Nanotechnology for Environmental Remediation. USA: Springer

Chennappa G., Naik K. M., Sreenivasa M. Y. 2016. *Azotobacter: PGPR Activities with Special Reference to Effect of Pesticides and Biodegradation. Microbial Inoculants in Sustainable Agricultural Productivity* pp 229–244Cite as.

Chindaprasirt, P. and Rattanasak, U., 2020. Eco-production of silica from sugarcane bagasse ash for use as a photochromic pigment filter. *Scientific Reports*, 10

Chinnamuthu, C.R. and MurugesaBoopathi, P. 2009. Nanotechnology and Agroecosystem. *Madras Agricultural Journal*. 96: 17-31.

Chowdappa, P.and ShivaKumar G.2013. Nanotechnology in crop protection: Status and scope. *J.Pest.Management in Horticultural Ecosystems*, Vol. 19, No. 2 pp 131-151.

Chirnside, A.;Ritter, W. and Radosevich, M. 2007 . Isolation of a selected microbial consortium from a pesticide-contaminated mix-load site soil capable of degrading the herbicides atrazine and alachlor. *Soil Biol. Biochem.*, 39: 3056-3065.

Clark, F.E. 1965. Agar-plats method for total microbial count publisher Madison Wisconsin U.S.A. PP.1572

Correa, L.O.; Bezerra, A.F.M.; Honorato, L.R.S.; Cortêz, A.C.A.; Souza, J.V.B.; Souza, E.S. 2021. Amazonian soil fungi are efficient degraders of glyphosate herbicide; novel isolates of *Penicillium*, *Aspergillus*, and *Trichoderma*. *Braz. J. Biol.*, 83, e242830.

Dasgupta, S.; Meisner, C. and Wheeler ,D. 2010. Stockpiles of obsolete pesticides and cleanup priorities: A methodology and application for Tunisia. *J. Enviro. Manag.* , 91(4): 824-830.

De Maria, N., Becerril, J.M., Garcia-Plazaola, J.I., Hernandez, A., De Felipe, M.R., Fernandez-Pascual, M., 2006. New insights on glyphosate mode of action in nodular metabolism: role of shikimate accumulation. *J. Agric. Food Chem.* 54, 2621–2628.

Debnath, S.; Chakraborty, G. ; Dutta,S. S.; Chaudhuri, S. R.; Das, P.and Saha, A. K. 2020. Potential of *Trichoderma* species as biofertilizer and biological control on *Oryza sativa* L. cultivation. *Biotechnología Vegetal*, 20(1): 1 – 16.

Delta, M. A. V., Lezama, C. P., and Simon, A. B. 2020. In vitro Antagonism of Strains of *Trichoderma spp.*, on Pathogenic Fungi of Nopal Vegetable. *J Pure Appl Microbiol*, 14(2), 1345-1352.

Duke, S.O. 2018 . The history and current status of glyphosate. *Pest. Manag. Sci.*, 74, 5. Pages 1027-1034 .

Eker, S., Ozturk, L., Yazici, A., Erenoglu, B., Roemheld, V., Cakmak, I., 2006. Foliarapplied glyphosate substantially reduced uptake and transport of iron and manganese in sunflower (*Helianthus annuus L.*) plants. *J. Agric. Food Chem.* 54, 10019–10025.

Elsa X. M. and Verónica N. C. 2020. Influence of Glyphosate in the Fungus *Trichoderma harzianum* Coming from *Rhizoctonia Solani* in Huancayo 2019 . International Journal of Environmental Science and Development, Vol. 11, No. 11 . 514-518.

Endeshaw, A., Birhanu, G., Zerihun, T., & Misganaw, W. 2017. Application of microorganisms in bioremediation-review. *Environ. Microb*, 1(1), 2-9.

Errington J. , Lizah T. A. 2020. Microbe Profile: *Bacillus subtilis*: model organism for cellular development, and industrial workhorse. *Microbiology (Reading)*. 166(5): 425–427.

Estok , D.; Freedman , B. and Boyle. D. 1989 . Effects of the herbicides 2,4-D glyphosate hexazinone , and triclopyr on the growth of three species of Ectomycorrhizal fungi. *Bull. Environ. Contam. Toxicol.* 42 : 835-839.

Evandro L. C., Luiz L. F., José T. Fi., Edivaldo D. V., Luis M. S., José R. M. 2017. Half-Life of Glyphosate on the Control of Water Hyacinths in Water Tanks . *Journal of Water Resource and Protection*, 2017, 9, 470-481.

Extension Toxicology Network (ETN). 1996. Pesticide information proafiles. pp. 1 – 9.

Fan J., Yang G., Zhao H., Shi G., Geng Y., Hou T., Tao K. . 2012. Isolation, identification and characterization of a glyphosate-degrading bacterium, *Bacillus cereus* CB4, from soil. *J. Gen. Appl. Microbiol;*58:263–271.

Firdous S., Iqbal S., Anwar S., Jabeen H. . 2018. Identification and analysis of 5-enolpyruvylshikimate-3-phosphate synthase (EPSPS) gene from glyphosate-resistant *Ochrobactrum intermedium* Sq20. *Pest Manag. Sci*;74:1184–1196.

Food and Agriculture Organization of the United Nations (FAO).2019. Annual Report.39 p.

Food and Agriculture Organization of the United Nations (FAO).2020. Annual Report.25 p.

Franz, J. E. 1 985. Discovery, development and chemistry of glyphosate. in . Grossbard, E. and Atkinson, D, eds. *The Herbicide Glyphosate*. Buttentrorths. London. Pp. 3-1 7.

FSANZ. Food Standards Australia New Zealand 2018. Guide to submitting requests for maximum residue limit (MRL) harmonisation proposals. P.6.

Gangola S., Sharma A., Bhatt P., Khati P., Chaudhary P. 2018. Presence of esterase and laccase in *Bacillus subtilis* facilitates biodegradation and detoxification of cypermethrin. *Scientific Reports*, 8: 12755. doi: 10.1038/s41598-018-31082-5

Geiger, D.R., Shieh, W.J., Fuchs, M.A., 1999. Causes of self limited translocation of glyphosate in Beta vulgaris plants. *Pestic. Biochem. Physiol.* 64, 124–133.

Giulia B., Giovanni B., Alba B., Luis C., Irene C., Lucien F., German G., Luna G., Samira J., Renata L., Jose O., Ileana M., Stefanie N., Ragnor P., Hermine R., Tobin R., Silvia R., Miguel S., Alessia P., Anne T. and Alessia V. 2022. Targeted review of maximum residues levels (MRLs) for indoxacarb. *EFSA Journal*;20(8):7527 .

González-Valenzuela, L.E.; Dussán, J. 2018. Molecular assessment of glyphosate-degradation pathway via sarcosine intermediate in *Lysinibacillus sphaericus*. *Environ. Sci. Pollut. Res.* 25, 22790–22796.

González-Valenzuela, L.E.; Dussán, J. 2018. Molecular assessment of glyphosate-degradation pathway via sarcosine intermediate in *Lysinibacillus sphaericus*. *Environ. Sci. Pollut. Res.*, 25, 22790–22796.

Gordon, B., 2007. Manganese nutrition of glyphosate-resistant and conventional soybeans. *Better Crops* 91/4, 12–13.

Gothandapani S., Sekar S. and Padaria J. C. 2017. *Azotobacter chroococcum*: Utilization and potential use for agricultural crop production: An overview. *Int. J. Adv. Res. Biol. Sci.* 4(3), 35-42.

Goy, R. C., Britto, D. D., and Assis, O. B. 2009. A review of the antimicrobial activity of chitosan. *Polímeros*, 19(3), 241-247.

Guo, J.; Song, X.; Zheng, C.; Sun, S.; Zhuang, B.; Tao, B. 2021. Transcriptome analysis and identification of candidate genes involved in glyphosate resistance in the fungus *Fusarium verticillioides*. *J. Environ. Sci. Health. Part B* 2021, 56, 658–669.

Gupta, J., Rathour, R., Singh, R., Thakur, I.S., 2019. Production and characterization of extracellular polymeric substances (EPS) generated by a carbofuran degrading strain Cupriavidus sp. ISTL7. *Bioresour. Technol.* 282, 417–424.

Gurikar , C.; Naik ,M. K.and Sreenivasa, M. Y. 2015. *Azotobacter* - PGPR Activities with Special Reference to Effect of Pesticides and Biodegradation.Microbial Inoculants in Sustainable Agricultural Productivity, 229-244.

Gurikar ,C.; Adkar-Purushothama, C. R.; Naik, M. K.;Umdale, S.and Sreenivasa, M. Y. 2014. Impact of Pesticides on PGPR Activity of *Azotobacter* sp. Isolated from Pesticide Flooded Paddy Soils. *Greener Journal of Agricultural Sciences* , 4 (4):117-129.

Gurikar,C.; Naik, M.K. and Sreenivasa,M.Y. 2016. *Azotobacter*: PGPR Activities with Special Reference to Effect of Pesticides and Biodegradation. Springer link. 229-224.

Hakeem, K. R., Akhtar, M. S., & Abdullah, S. N. A. 2016. Plant, soil and microbes: Volume 1: Implications in crop science. *Plant, Soil and Microbes: Volume 1: Implications in Crop Science*, 1–366. doi.org/10.1007/978-3-319-27455-3 .

Hamaker , J.W. 1972., Decomposition : Quantitative aspects . in C.A.F. Goring and J.W. Hamaker . Eds *Organic chemicals in the Environment* : 255-340 . Dekker. New York.

Hamed, H.; Moradi, S.; Hudson, S. M.; and Tonelli, A. E. 2018. Chitosan based hydrogels and their applications for drug delivery in wound dressings: A review. *Carbohydr. Polym.*, 199, 445.

Hee Joo, S ;I .F .Cheng .2006 . Nanotechnology for Environmental Remediation. USA: Springer

Henry , W., Layne , M., and Douglas , M., 1984. Glyphosate Utilization by *Pseudomonas sp.* and *Alcaligenes sp.* Isolated from Environmental Sources. *Current Microbiology* , Vol. 10 pp : 255-260.

Hove-Jensen, B.; Zechel, D.L.; Jochimsen, B. 2014. Utilization of glyphosate as phosphate source: Biochemistry and genetics of bacterial carbon-phosphorus lyase. *Microbiol. Mol. Biol. Rev.*, 78, 176–197.

International Agency for Research on Cancer . 2017. Some Organophosphate Insecticides and Herbicides. IARC Monographs on the Evaluation of Carcinogenic Risks to Humans. Volume 112. International Agency for Research on Cancer; Lyon, France:. pp. 1–452.

Jacob, G.S.; Schaefer, J.S.; Stejskal,E.O., and McKay,R.A. 1985. Solid- state NMR determination of glyphosate metabolism in a *Pseudomonas sp.* *J.Biol. Chem.* 260: 5899-5905.

Jayasumana, C.; Gunatilake, S.; and Senanayake, P. 2014. Glyphosate, hard water and nephrotoxic metals: are they the culprits behind the epidemic of chronic kidney disease of unknown etiology in Sri Lanka. *Int. J. Environ. Res. Public Health* 2014, 11, 2125–2147.

Jeffries P., Gianinazzi S., Perotto S., Turnau K. and Barea J. M. 2003. The contribution of *Arbuscular mycorrhizal* fungi in sustainable maintenance of plant health and soil fertility. *Biology and Fertility of Soils* , 37(1) , 1-16.

Jilani S. 2015. Bioremediation Application for Textile Effluent Treatment. *Middle- East Journal of Scientific Research* 23(1): 26- 34.

Johal, G.S., Huber, D.M., 2009. Glyphosate effects on diseases of plants. *Eur. J. Agron.* 31, 144–152.

Kadam T.A.;Gangawane L.V.2005. Degradation of phorate by *Azotobacter isolates*. *Indian J Biotechnol* 4:153–155.

Kanissery, R.; Gairhe, B.; Kadyampakeni, D.; Batuman, O.; Alferez, F. 2019 .Glyphosate: Its Environmental Persistence and Impact on Crop Health and Nutrition. *Plants* 2019, 8, 499.

Karishma,B. and Hari,P.S. 2015. Advances in biodegradation of organophosphorus pesticides. *Archi. Appli. Scie. rese.* 7 (4):37-43.

Khan S., Zaffar H., Irshad U., Ahmad R., Khan A.R., Shah M.M., Bilal M., Iqbal M., Naqvi T. 2016. Biodegradation of malathion by *Bacillus licheniformis* strain ML-1. *Archives of Biological Sciences*, 68: 51–59

Khan, M.Y.; Haque, M.M.; Molla ,A.H.; Rahman, M.M.and Alam, M.Z. 2017. Antioxidant compounds and minerals in tomatoes by *Trichoderma*-enriched biofertilizer and their relationship with the soil environments. *J Integr Agric*,16:691-703.

Khan, N. T. 2018. "Bioremediation-An Effective Cleanup Technology.". *Environ Sci Ind J* 14.1: 170.

King, C., Purcell, L.C., Vories, E.D., 2001. Plant growth and nitrogenase activity of glyphosate-tolerant soybean in response to foliar glyphosate applications. *Agron. J.* 93, 179–186.

Klimek, M.; Lejczak, B.; Kafarski, P.; Forlani, G. 2001. Metabolism of the Phosphonate Herbicide Glyphosate by a Non-Nitrate-Utilizing Strain of *Penicillium Chrysogenum*. *Pest. Manag. Sci.* 57, 815–821.

Kole, R. K., Saha, J., Pal, S., Chandhuri, S., Chowdhury, A. 1994. Bacterial degradation of the herbicide pendimethalin and activity evaluation of its metabolites, *Bulletin of Environmental Contamination and Toxicology*, 52 (5): 779—786.

Kong, X.-P.; Zhang,B.-H. and Wang,J. 2021. Multiple Roles of Mesoporous Silica in Safe Pesticide Application by Nanotechnology : A Review. *Agricultural and Food Chemistry* , 69, 6735-6745.

Krzysko-Lupicka, T.; Sudol, T. 2008. Interactions between Glyphosate and Autochthonous Soil Fungi Surviving in Aqueous Solution of Glyphosate. *Chemosphere*, 71, 1386–1391.

Kulik ova, N.A.; Zhelezova, A.D.; Filippova, O.I.; Plyushchenko, I.V.; Rodin, I.A. . 2020 . The Degradation of Glyphosate and Its Effect on the Microbial Community of Agro-Sod–Podzolic Soil under Short-Term Model Experiment Conditions. *Mosc. Univ. Soil Sci.Bull*, 75, 138–145.

Kulikova, N.A.; Zhelezova, A.D.; Filippova, O.I.; Plyushchenko, I.V.; Rodin, I.A. 2020. The Degradation of Glyphosate and Its Effect on the Microbial Community of Agro-Sod–Podzolic Soil under Short-Term Model Experiment Conditions. *Mosc. Univ. Soil Sci.Bull.*, 75, 138–145. [

la Cecilia, D.; Maggi, F. 2019,8. Analysis of glyphosate degradation in a soil microcosm. Environ. Pollut., 233, 201–207.

Lyydia I. Leino, ; Miiia J. Rainio,; Kari Saikkonen,; Irma Saloniemi,; Marjo Helander. 2021. Does Glyphosate Affect the Human Microbiota .Life 2022, 12, 707.

La Nauze , J.M., Rosenberg , h., Shaw , D.C.,1970. The enzymic cleavage of the carbon- phosphonatase bond : purification and properties of phosphonatase . Biochemical Biophysical Acta , 212 : 332-350.

Laveglia , J., and Dahm , P.A. 1977 . Degradation of organophosphorus and carbamate insecticides in the soil and microorganism. Annu. Rev. Entomol. 22 : 483-513.

Lux, R . 2008. Nanomaterials State of theMarketQ3 2008: Stealth Success, Broad Impact. Report. <https://portal.luxresearchinc.com> .

Lyydia I. Leino, ; Miiia J. Rainio,; Kari Saikkonen,; Irma Saloniemi,; Marjo Helander. 2021. Does Glyphosate Affect the Human Microbiota .Life 2022, 12, 707.

Magan, N.; Fragoeiro, S. and Bastos, C. 2010. Environmental factors and bioremediation of xenobiotics using white rot fungi. Mycobiology, 38(4) : 238- 248 .

Mahato, S.; Bhuju, S.and Shrestha, J. 2018 . Effect of Trichoderma Viride As Biofertilizer on Growth and Yield of Wheat. Malaysian J Sustain Agric. 2(2):1-5.

Mahdi, M.N. and Mohammed, A.J. 2017. Treatment of Pesticide Residues Bi-Products in Some Iraqi Vegetables. Iraqi Journal of Science, 58(3B), 1398-1418.

Manogaran M, Shukor MY, Yasid NA, Johari WLW, Ahmad SA. 2017 . Isolation and characterisation of glyphosate-degrading bacteria isolated from local soils in Malaysia. Rendiconti Lincei. 11;1-9.

María Luisa C. , Efraín T., Leticia V. , Marcos F., Alexis R., Patricia M. 2021. Glyphosate Pollution Treatment and Microbial Degradation Alternatives, a Review. Microorganisms, 9, 2322. <https://doi.org/10.3390/microorganisms9112322>.

Mario P. Rodríguez , C. Melo , E, Jiménez , J. Dussán . 2019. Glyphosate Bioremediation through the Sarcosine Oxidase Pathway Mediated by *Lysinibacillus sphaericus* in Soils Cultivated with Potatoes. Agriculture, 9, 217; doi:10.3390/agriculture9100217

Matuszewski, B. K., Constanzer, M. L., & Chavez-Eng, C. M. 2003. Strategies for the assessment of matrix effect in quantitative bioanalytical methods based on HPLC–MS/MS. Analytical chemistry, 75(13), p.p.3019-3030.

Megharaj, M.; Ramakrishnan, B.; Venkateswarlu, K.;Sethunathan, N. , Naidu, R.2011. Bioremediation approaches for organic pollutants: A critical perspective. Enviro. Inter. , 37: 1362–1375.

McAuliffe K.S., Hallas L.E., Kulpa C.F. 1990. Glyphosate degradation by *Agrobacterium radiobacter* isolated from activated sludge. J. Ind. Microbiol. ;6:219–221.

Meyer, J. M. and M. A. Abdallah , 1978. The fluorescent Pigment of *Pseudomonas fluorescens*: Biosynthesis urification and physicochemical properties. J. Gen. Microbiol , 107 : 319-328.

Milan, M. 2012. Kinetic and equilibrium parameters of adsorption processes under removal of certain harmful cationic ingredients from aqueous solutions using activated carbons derived by thermochemical treatment of chestnut kernel and Black pine, PhD thesis, Faculty Science, University of Niš , Serbia.

Mojiri, A., Zhou, J.L., Robinson, B., Ohashi, A., Ozaki, N., Kinsaichi, T., Farraji, H. and Vakili, M., 2020. Pesticides in aquatic environments and their removal by adsorption methods. Chemosphere, 253

Momčilović, M. 2012. TI: Kinetic and equilibrium parameters of adsorption processes. place, PP: Niš, Višegradska 33.

Moneke AN, Okpala GN, Anyanwu CU .2010. Biodegradation of glyphosate herbicide in vitro using bacterial isolates from four rice fields. Afr J Biotechnol 9:4067–4074 .

Moore, J.K.,Larson,A.D., and Braymer, H.D. 1983. Isolation of a *Pseudomonas sp.* Which utilizes the phosphonate herbicide glyphosate. Appl. Environ. Microbiol. 46: 316-320.

Mousa N. Adham A. Merzah N. Jasim S.2021. Azotobacter spp. Bioremediation Chemosate. Asian Journal of Water, Environment and Pollution, 18,3: pp. 103-107.

Mujtaba ,M. ; Khawar ,M.K. Camara ,M. C. Carvalho ,L. P. ;Fraceto ,L. F. ; Rania E. Morsi, Maher Z. Elsaabe; Kaya M. ; Labidi ,J. ; and Ullah ,H.; Wang. 2018. Chitosan-based delivery systems for plants: A brief overview of recent advances and future directions. Original language English, Pages (from-to) 683-697.

Muller, K.; Magesan, G.N. and Bolan ,N.S. 2007. A critical review of the influence of effluent irrigation on the fate of pesticides in soil. Agric. Ecosyst. Environ. ,120: 93-116.

Narayanan M., Kumarasamy S., Ranganthan M., Kandasamy S., Kandasamy G., Gnanavel K. 2020. Enzyme and metabolites attained in degradation of chemical pesticides β Cypermethrin by *Bacillus cereus*. Materials Today: Proceedings, 33: 3640–3645.

Niemann L., Sieke C., Pfeil R., Solecki R. 2015. A critical review of glyphosate findings in human urine samples and comparison with the exposure of operators and consumers. J. Verbrauch. Leb. ;10:3–12.

Njoku, K.L.; Eludini, P.O.; Adesuyi, A.A.; Ude, E.O.; Oyelami, A.O. 2020. Physiological and molecular characterization of active fungi in pesticides contaminated soils for degradation of glyphosate. Res. Square, 1–14.

Odukkathil, G. and Vasudevan, N. 2013. Toxicity and bioremediation of pesticides in agricultural soil. Reviews in Environmental Science and Bio/Technology, 12, 421-444.

Oliveira, P. E.; Kathleen, E. M. ; Janaina, E. ; Stella, M. C. H. S. ; Alisson, H. F. ; Rafael, M. E.; Pericles, M. R. , Sonia, A. V. P.; Karlos, H. M. K.; Marcos,R. T.; Zelinda, S. G.; Marcos, P. 2022. Changes in fatty acid composition as a response to glyphosatotoxicityin *Pseudomonas fluorescens*. by Elsevier Ltd. This is an open access article under the CC BY licens . 2405-8440

Palleroni, N. J. 1984. *Pseudomonadaceae*. Bergeys Manual of Systematic Bacteriology. Krieg, N. R. and Holt J. G. (editors) Baltimore: The Williams and Wilkins Co. P 141-199.

PPDB (Pesticide Properties DataBase) University of Hertfordshire; 2022.Glyphosate(Ref:Mon0573).

Rao , P.S.C., and Davidson. J.M. 1982. Retention and Transformtion of selected pesticides and phosphorus in soil water systems. A critical Review . US Environ. Prot. Agency. (USEPA) Athens , Georgia. 600-82-060.

Rathore, H. S., & Nollet, L. M. L. 2012. Evaluation of Environmental PollutionIn Pesticides. Pub. Location Boca Rato. Pages 662.

<https://doi.org/10.1201/b11864>

Razmjooei‘ Z.‘ Etemadi‘ M.‘ Eshghi‘ S.‘ Ramezanian‘ A.‘ Mirazimi Abarghuei‘ F.‘ and Alizargar‘ J. 2022. Potential Role of Foliar Application of *Azotobacter* on Growth‘ Nutritional Value and Quality of oLettuce under Different Nitrogen Levels. Plants , 11(3), 406.

Riberio, D.N., Gil, D., Cruz-Hipolito, H.E., Ruiz-Santaella, J.P., Christoffoleti, P.J., Vidal, R.A., De Prado, R., 2008. Rapid assays for detection of glyphosate-resistant *Lolium* spp. *J. Plant Dis. Prot.* 21, 95–99.

Rolder, C.A., Griffin, J.L., Harrison, S.A., Jones, C.A., 2007. Wheat response to simulated glyphosate drift. *Weed Technol.* 21, 1010–1015.

Rueppel, M.L.; Brightwell, B.B., Schaefer, J.,and Marvel, J.T. 1977. Metabolism and degradation of glyphosate in soil and water. *J.Agric. Food.Chem.* 25: 517-527.
Saharan, B. S. and V. Nehra. 2011. Plant growth promoting rhizbacteria : A critical review. *Life Sciences and Medicine Research, LSMR-* pp.

Salunkhe V.P., Sawant I.S., Banerjee K., Rajguru Y.R., Wadkar P.N., Oulkar D.P., Naik D.G., Sawant S.D. 2013 . Biodegradation of profenofos by *Bacillus subtilis* isolated from grapevines (*Vitis vinifera*). *Journa of Agricultural and Food Chemistry*, 61: 7195–7202.

Sangeeta Paul.2008. Potential of *Azotobacter chroococcum* for lindane degradation. First International Conference on Agrochemicals Protecting Crop, Health and Natural Environment . *J Environ Sci Health B.* 45(1):58-66.

Sangoyomi‘ T. 2004 . Post-harvest Fungal deterioration of yam (*Dioscorea rotundata. Poir*) and its Control. Ph.D. Thesis. University of Ibadan‘ Nigeria.

Santos, A., Flores, M. 1995 . Effects of glyphosate on nitrogen fixation of free-living heterotrophic bacteria (Abstract), *Letters Application of Microbiology*, 20 (6): 349—352.

SAS . 2012. Statistical Analysis System, User,s Guide. Statistical. Version 9.1th ed. SAS. Institute Incorporated Cary. N.C. USA

Saurabh G., Anita S., Pankaj B., Priyanka K., Parul C.2018. Presence of esterase and laccase in *Bacillus subtilis* facilitates biodegradation and detoxification of cypermethrin. Sci Rep. ; 8: 12755. doi: 10.1038/s41598-018-31082-5 .

Schoefs, O.; Perrier, M. and Samson, R. 2004. Estimation of contaminant depletion in unsaturated soils using a reduced order biodegradation model and carbon dioxide measurement .Applied Microbiology and Biotechnology 64:256-261.

Sen, K and N. K. Mondal. 2020 . Facile fabrication of aminofunctionalized silicon flakes for removal of organophosphorus herbicide: in silico optimization. Water Conservation Science and Engineering, 5: 67-80

Shahgholi, H. 2014. Factors controlling degradation of pesticides in the soil environment: A review. Agric. Sci. Dev., 3(8): 273-278.

Shalaby, T. I. ; Abdallah, S. M. ; El-Segini, H. S. . 2018. Efficient adsorption of heavy metals and pesticides onto chitosan nanoparticles and chitosan-zinc oxide nanocomposite. Academia Journal of Agricultural Research 2018 Vol.6 No.5 Conference Proceedings pp.133-149 .

Shapir N.; Mongodin E.F.; Sadowsky M.J.; Daugherty S.C.; Nelson K.E. , Wackett L.P.2007. Evolution of catabolic pathways: genomic insights into microbial S-triazine mmetabolism.JBacteriol;189:674–682.

Singh ,S. ; Kumar ,V. ; Gill , J. p. Datta , s. ; Singh, s. ; Dhaka , v. ; Kapoor, d. ; Wani, a.b.; Kumar,m. ; Harikumar, l.s.; and Singh, j. 2020. Herbicide Glyphosate: .Toxicity and Microbial Degradation : 17(20), 7519.

Sivaperumal, P.; Anand, P. and Riddhi, L. 2015. Rapid determination of pesticide residues in fruits and vegetables, using ultra-high-performance liquid chromatography/time-of-flight mass spectrometry. Food chemistry, 168, pp:356-365.

Soleymanifard A., Mojaddam M., Lack S., and Alavifazel M. 2022. Effect of *Azotobacter chroococcum* and Nitrogen Fertilization on Some Morphophysiological Traits, Grain Yield, and Nitrogen Use Efficiency of Safflower Genotypes in Rainfed Conditions. Communications in Soil Science and Plant Analysis, 1-20.

Sophia C., Lima E.2018. Removal of emerging contaminants from environment by adsorption Ecotoxicology. Environmental., 150 , pp. 1-17.

Sophiphun O .; Sontichai C. and Chanakan L .2022. Evaluation of Synthesis Method of Fe Loaded Amorphous Silica on the Adsorption of Glyphosate . Current Applied Science and Technology Vol. 23 No. 3(1-12).

Souza, A.P., Ferreira, F.A., Silva, A.A., Cardoso, A.A., Ruiz, H.A., 1999. Respirac_~ao microbiana do solo sob doses de glyphosate e de imazapyr. Planta Daninha 17 (3), 387–398.

Sprankle , P., Meggitt , W.F., Penner , D. 1975 . Rapid in activation of glyphosate in the soil. Weed Science , 23 : 224-228.

Su Y. Chuan L. Huan F .and Dawei Z. 2020. *Bacillus subtilis*: a universal cell factory for industry, agriculture, biomaterials and medicine. . Microb Cell Fact 19:173.

Sviridov A.V., Shushkova T.V., Zelenkova N.F., Vinokurova N.G., Morgunov I.G., Ermakova I.T., Leontievsky A.A. 2012. Distribution of glyphosate and methylphosphonate catabolism systems in soil bacteria *Ochrobactrum anthropi* and *Achromobacter* sp. Appl. Microbiol. Biotechnol. ;93:787–796.

Sviridov, A.V.; Shushkova, T.V.; Ermakova, I.T.; Ivanova, E.V.; Epiktetov, D.O.; Leontievsky, A.A. . 2015 . Microbial degradation of glyphosate herbicides (Review). Appl. Biochem. Microbiol, 51, 188–195.

Thabit, T.M.A. and El-Naggar, M.H.(2014). Potential impact of some soil borne fungi on biodegradation of some organophosphorous nematicides. Amer. J. Envir. Prot. , 3(6): 299-304.

Towl , A. 1989 . Modern biology . Austin , TX: Holt , Rinehart & Winston. 342 p.

Vessey, J. K. 2003. Plant growth promoting *rhizobacteria* as biofertilizers . Plant and Soil 255: 571-586.

Walker , A. 1976 a . Simulation of herbicide persistence in soil. I. Simazine and prometryne. Pestic. Sci. 7 , 41- 49.

Walker , A. 1976 b. Simulation of herbicide persistence in soil. II. Simazine and linuron in long - term experiments , Pestic Sci. 7 : 50 – 58.

Wang S., Seiwert B., Kästner M., Miltner A., Schäffer A., Reemtsma T., Yang Q., Nowak K.M. .2016. Biodegradation of glyphosate in water sediment microcosms—A stable isotope. WaterRes. ;99:91–100.

Wani‘ S. A.‘ Chand‘ S.‘ Wani‘ M. A.‘ Ramzan‘ M. and Hakeem‘ K. R. 2016. *Azotobacter chroococcum*—a potential biofertilizer in agriculture: an overview. Soil science: Agricultural and Environmental Prospectives , 333-48.

Wardle, D.A., Parkinson, D., 1990a. Effects of three herbicides on soil microbial biomass and activity. Plant Soil 122, 21–28.

Wilbert B. M. 2019. Pesticides, Anthropogenic Activities, History and the Health of Our Environment: Lessons from Africa. Intechopen ,pp. 7.

Wiren-Lehr, S., Komoba, D., Glabgen, W.E., 1997. Mineralization of [14C] glyphosate and its plant-associated residues in arable soilsyam (*Dioscorea rotundata*. Poir) and its Control. Ph.D. Thesis. University of Ibadan, Nigeria. 0370-3908

Wojciech D.; Jakub L.; Nurlan A. ; Julia R.; Aleksandra P.2020. Complex study of glyphosate and metabolites influence on enzymatic activity and microorganisms

association in soil enriched with *Pseudomonas fluorescens* and sewage sludge. Journal of Hazardous Materials. Volume 393, 5 July , 122443.

Yu, M. X.; Yu, T. ; Yin, H. G.; Dong, L.Q.; An,M.; Wang, H. R.; Ai,CX.C.2015. Glyphosate biodegradation and potential soil bioremediation by *Bacillus subtilis* strain Bs-15. Genet. Mol. Res. 14 (4): 14717-14730.

Zhang G.S., Jia X.M., Cheng T.F., Ma X.H., Zhao Y.H. 2005. Isolation and characterization of a new carbendazim-degrading Ralstonia sp. strain. World J Microbiol Biotechnol 21(3):265–269.

Zhang, X., Huang, Y., Harvey, P. R., Li, H., Ren, Y., Li, J., Wang, J., & Yang, H. 2013. Isolation and Characterization of Carbendazim-degrading Rhodococcus erythropolis djl-11. PLoS ONE, 8(10), 1–6.

Zhou, C., Jia, D., Liu, X. and Li, C. 2017. Removal of glyphosate from aqueous solution using nanosizes copper hydroxide modified resin: equilibrium isotherms and kinetics. Journal of Chemical and Engineering Data, 62(10), 3585-3592.

Zobiole, L.H.S., deOliveira, R.S., Huber, D.M., Constantin, J., Castro, C, deOliveira, F.A., de Oliveira, A., 2009. Glyphosate reduces shoot concentrations of mineral nutrients in glyphosate-resistant soybeans. Plant Soil. 328(1):57-69

سابعاً: الملاحق



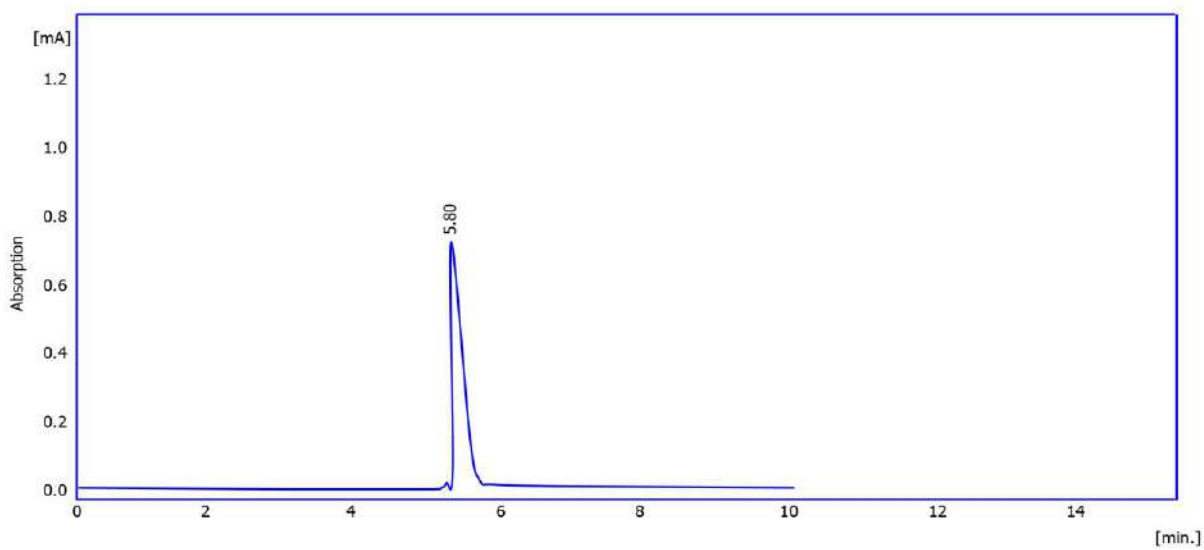
ملحق 1 جهاز الطرد المركزي



ملحق 2 جهاز HPLC SYKAMN ألماني المنشأ

**Sample Info:**

Sample ID	: Glyphosate (10 PPM)	Amount	0
Sample	: Glyphosate (10 PPM)	ISTD Amount	0
Inj. Volume [mL]	: 0.1	Dilution	1
Autostop	: 20.00 min	External Start	: Start - Restart, Down
Detector 1	: Detector 3	Range 1	: Bipolar, 2000 mAU, 10 Samp. per Sec.
Subtraction Chromatogram	: (None)	Matching	: No Change



Result chromatography Table (Uncal - F:\ Glyphosate (10 PPM)

No	Reten. Time [min]	Area [mAU.s]	Height [mAU]	Area [%]	Height [%]	W.05 [min]	Compound Name
1	5.80	3220.98	985.49	100.00	100.00	0.25	
	Total	3220.98	985.49	100.00	100.00		

ملحق 3

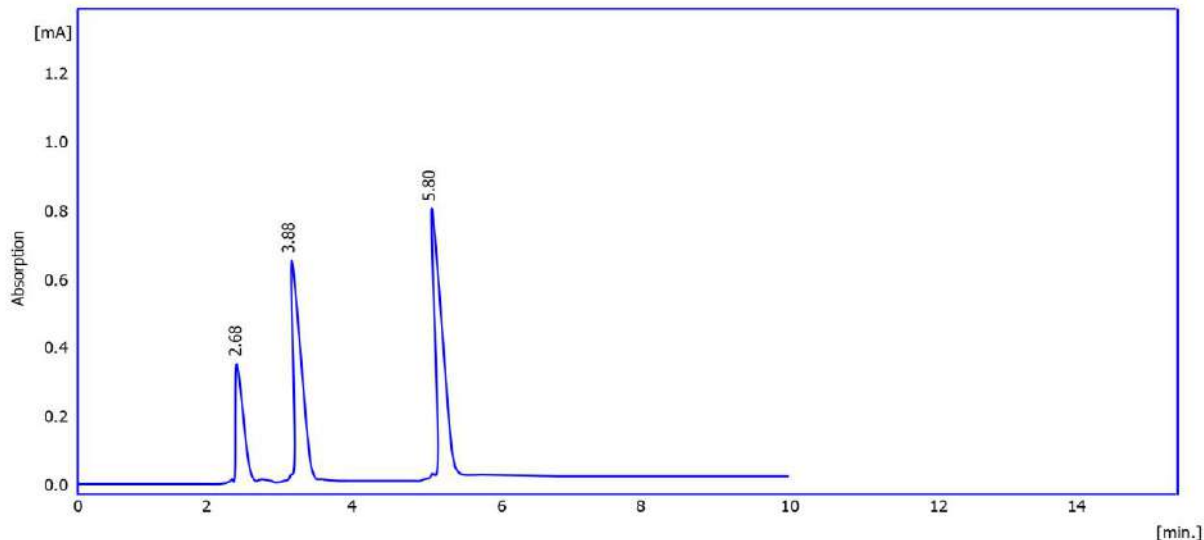
28/02/2023 01:40 μ

Chromatogram F:\ sample 1 .PRM

Page 1 of 1

**Sample Info:**

Sample ID	:	sample 1	Amount	0
Sample	:	sample 1	ISTD Amount	0
Inj. Volume [mL]	:	0.1	Dilution	1
Autostop	:	20.00 min	External Start	: Start - Restart, Down
Detector 1	:	Detector 3	Range 1	: Bipolar, 2000 mAU, 10 Samp. per Sec.
Subtraction Chromatogram	:	(None)	Matching	: No Change

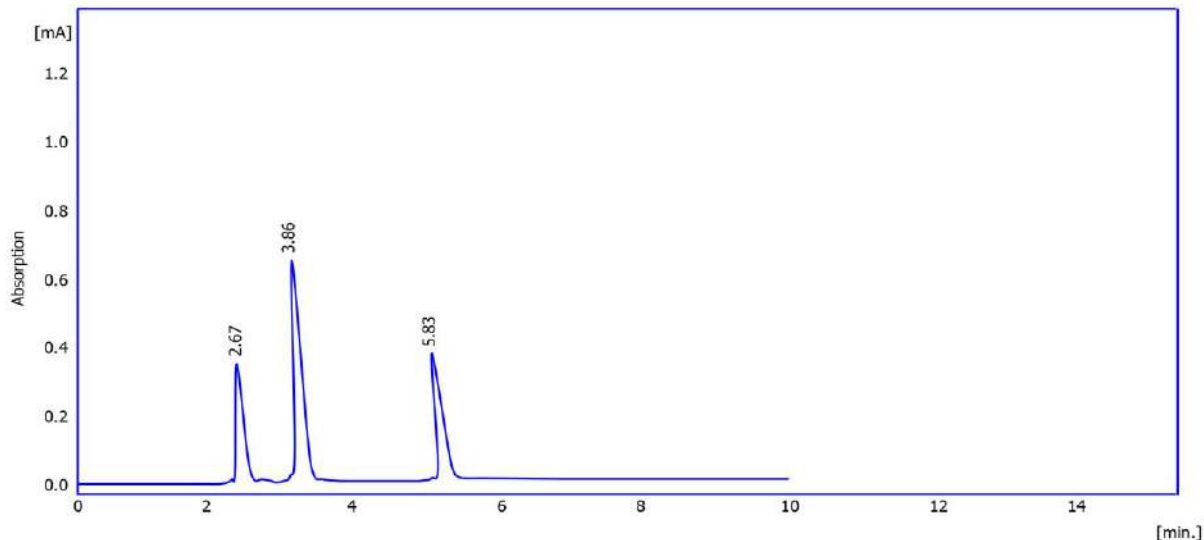


Result chromatography Table (Uncal - F:\ sample 1)

No	Reten. Time [min]	Area [mAU.s]	Height [mAU]	Area [%]	Height [%]	W05 [min]	Compound Name
1	2.68	9521.78	384.59	20.00	20.00	0.15	
2	3.88	18595.15	695.44	30.00	30.00	0.25	
3	5.80	88451.36	808.98	50.00	50.00	0.35	
	Total	116567.84	1889.01	100.00	100.00		

**Sample Info:**

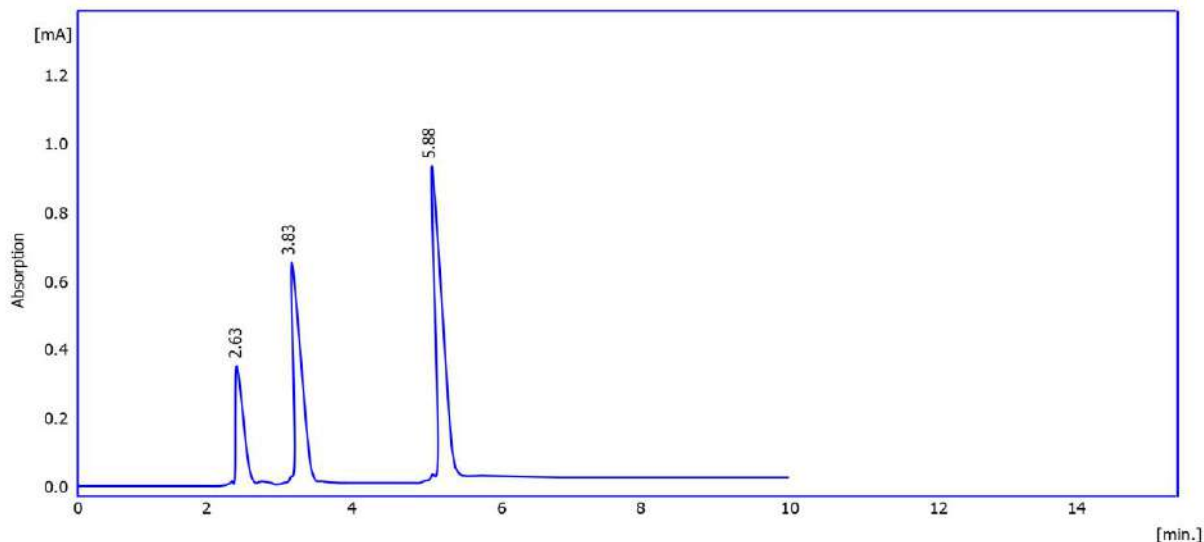
Sample ID	:	sample 2	Amount	0
Sample	:	sample 2	ISTD Amount	0
Inj. Volume [mL]	:	0.1	Dilution	1
Autostop	:	20.00 min	External Start	: Start - Restart, Down
Detector 1	:	Detector 3	Range 1	: Bipolar, 2000 mAU, 10 Samp. per Sec.
Subtraction Chromatogram	:	(None)	Matching	: No Change



No	Reten. Time [min]	Area [mAU.s]	Height [mAU]	Area [%]	Height [%]	W05 [min]	Compound Name
1	2.67	9125.06	380.15	30.00	30.00	0.15	
2	3.86	17155.22	690.55	40.00	40.00	0.25	
3	5.83	9862.00	388.45	30.00	30.00	0.15	
	Total	36124.43	1459.12	100.00	100.00		

**Sample Info:**

Sample ID	:	sample 3	Amount	0
Sample	:	sample 3	ISTD Amount	0
Inj. Volume [mL]	:	0.1	Dilution	1
Autostop	:	20.00 min	External Start	: Start - Restart, Down
Detector 1	:	Detector 3	Range 1	: Bipolar, 2000 mAU, 10 Samp. per Sec.
Subtraction Chromatogram	:	(None)	Matching	: No Change



Result chromatography Table (Uncal - F:\ sample 3)

No	Reten. Time [min]	Area [mAU.s]	Height [mAU]	Area [%]	Height [%]	W05 [min]	Compound Name
1	2.63	9485.65	385.49	20.00	20.00	0.15	
2	3.83	18950.11	696.00	30.00	30.00	0.25	
3	5.88	126508.98	988.14	50.00	50.00	0.35	
	Total	154944.89	2089.12	100.00	100.00		

28/02/2023 01:40 μ

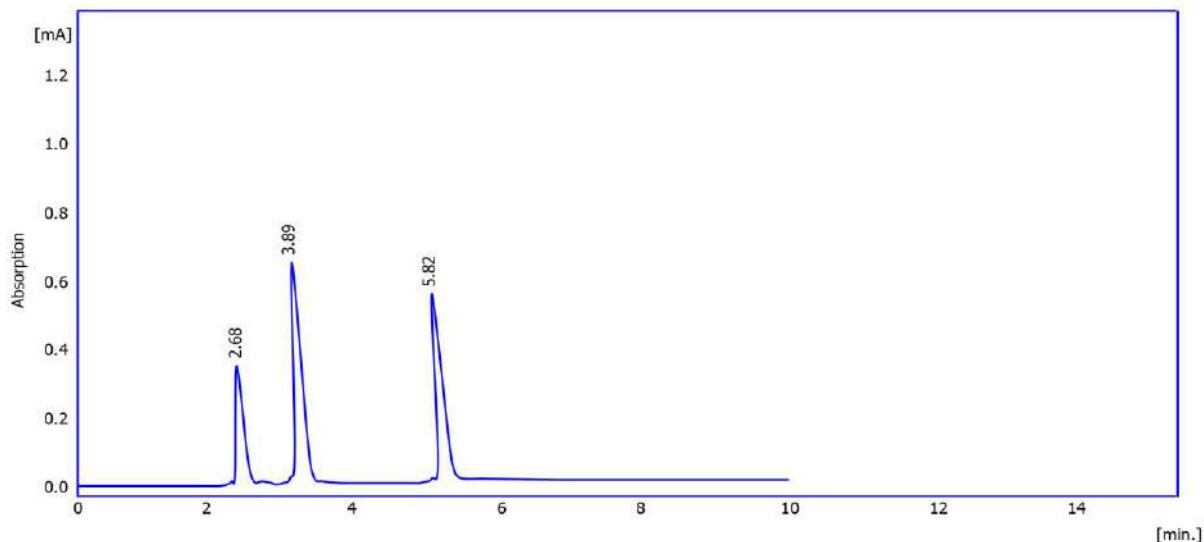
Chromatogram F:\ sample 4 .PRM

Page 1 of 1



Sample Info:

Sample ID	:	sample 4	Amount	0
Sample	:	sample 4	ISTD Amount	0
Inj. Volume [mL]	:	0.1	Dilution	1
Autostop	:	20.00 min	External Start	: Start - Restart, Down
Detector 1	:	Detector 3	Range 1	: Bipolar, 2000 mAU, 10 Samp. per Sec.
Subtraction Chromatogram	:	(None)	Matching	: No Change

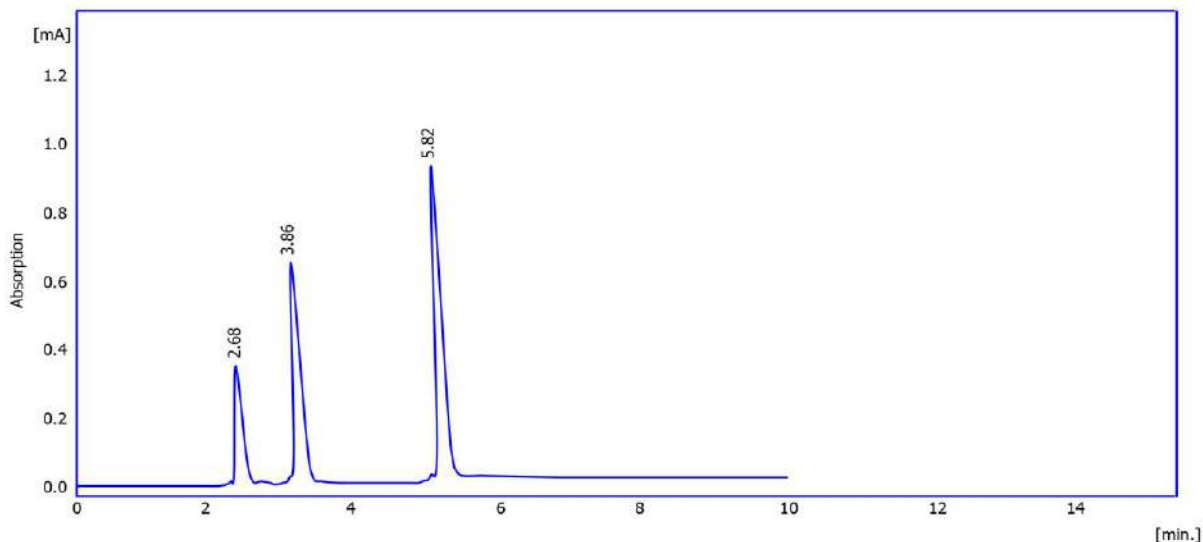


Result chromatography Table (Uncal - F:\ sample 4)

No	Reten. Time [min]	Area [mAU.s]	Height [mAU]	Area [%]	Height [%]	W05 [min]	Compound Name
1	2.68	9362.05	383.00	30.00	30.00	0.15	
2	3.89	17551.24	692.65	40.00	40.00	0.25	
3	5.82	10556.28	580.12	30.00	30.00	0.15	
	Total	37468.95	1679.49	100.00	100.00		

**Sample Info:**

Sample ID	:	sample 5	Amount	0
Sample	:	sample 5	ISTD Amount	0
Inj. Volume [mL]	:	0.1	Dilution	1
Autostop	:	20.00 min	External Start	: Start - Restart, Down
Detector 1	:	Detector 3	Range 1	: Bipolar, 2000 mAU, 10 Samp. per Sec.
Subtraction Chromatogram	:	(None)	Matching	: No Change

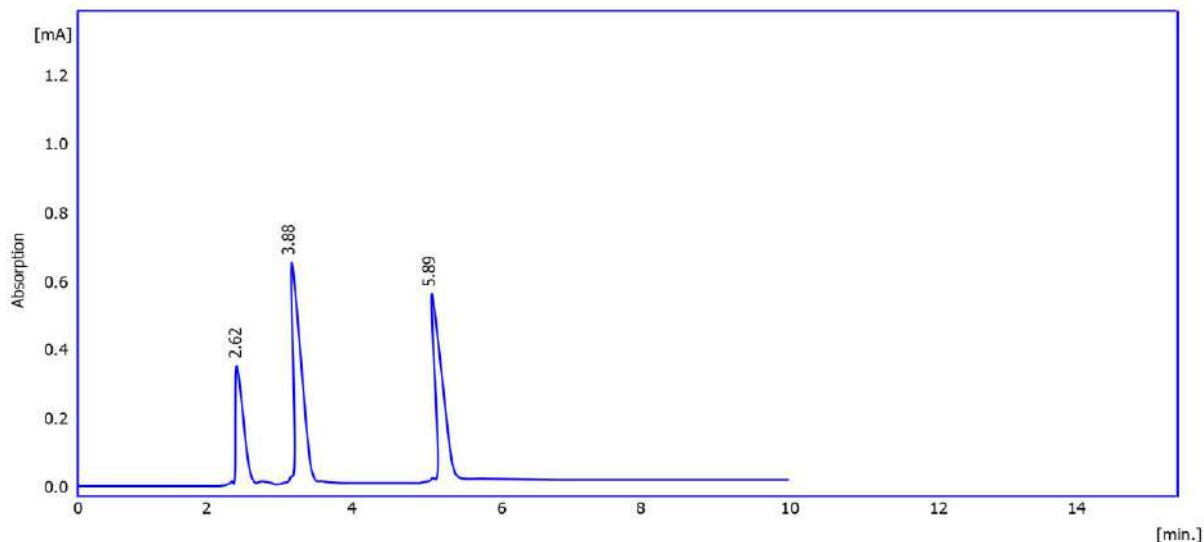


Result chromatography Table (Uncal - F:\ sample 5)

No	Reten. Time [min]	Area [mAU.s]	Height [mAU]	Area [%]	Height [%]	W05 [min]	Compound Name
1	2.68	9632.05	385.14	20.00	20.00	0.15	
2	3.85	19221.56	698.95	30.00	30.00	0.25	
3	5.82	145256.08	987.49	50.00	50.00	0.35	
	Total	174198.58	2095.29	100.00	100.00		

**Sample Info:**

Sample ID	:	sample 6	Amount	0
Sample	:	sample 6	ISTD Amount	0
Inj. Volume [mL]	:	0.1	Dilution	1
Autostop	:	20.00 min	External Start	: Start - Restart, Down
Detector 1	:	Detector 3	Range 1	: Bipolar, 2000 mAU, 10 Samp. per Sec.
Subtraction Chromatogram	:	(None)	Matching	: No Change



No	Reten. Time [min]	Area [mAU.s]	Height [mAU]	Area [%]	Height [%]	W05 [min]	Compound Name
1	2.62	9480.52	383.00	30.00	30.00	0.15	
2	3.88	18332.05	692.65	40.00	40.00	0.25	
3	5.89	16985.08	580.12	30.00	30.00	0.15	
	Total	44797.58	1679.49	100.00	100.00		

01/03/2023 01:40 μ

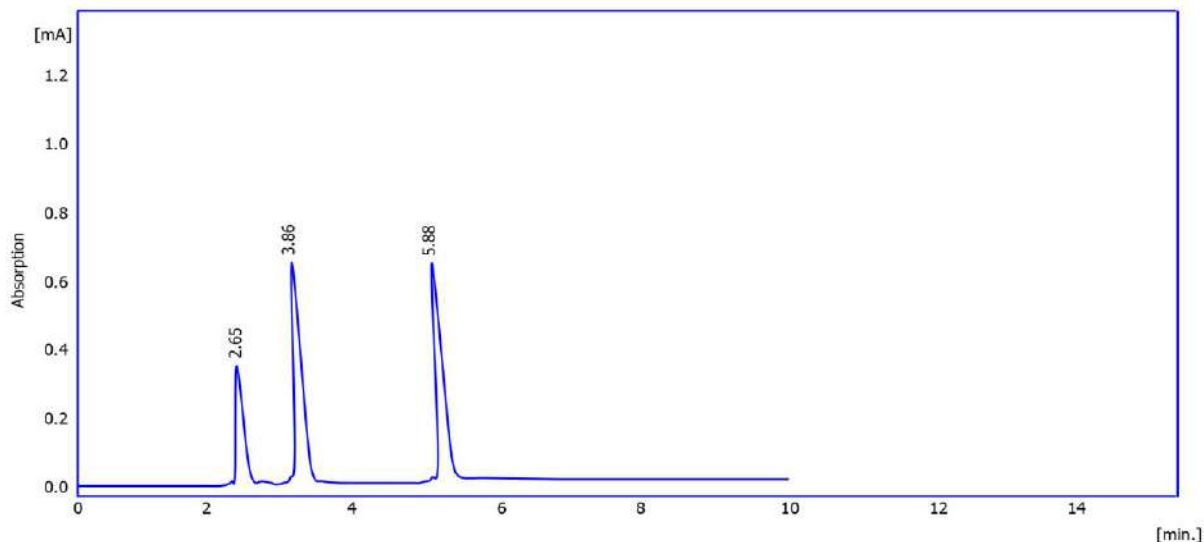
Chromatogram F:\ sample 7 .PRM

Page 1 of 1



Sample Info:

Sample ID	:	sample 7	Amount	0
Sample	:	sample 7	ISTD Amount	0
Inj. Volume [mL]	:	0.1	Dilution	1
Autostop	:	20.00 min	External Start	: Start - Restart, Down
Detector 1	:	Detector 3	Range 1	: Bipolar, 2000 mAU, 10 Samp. per Sec.
Subtraction Chromatogram	:	(None)	Matching	: No Change



Result chromatography Table (Uncal - F:\ sample 7)

No	Reten. Time [min]	Area [mAU.s]	Height [mAU]	Area [%]	Height [%]	W05 [min]	Compound Name
1	2.65	9415.21	381.65	20.00	20.00	0.15	
2	3.86	18995.01	682.56	40.00	40.00	0.25	
3	5.88	55421.15	680.15	40.00	40.00	0.25	
	Total	83652.25	1744.56	100.00	100.00		

01/03/2023 01:40 μ

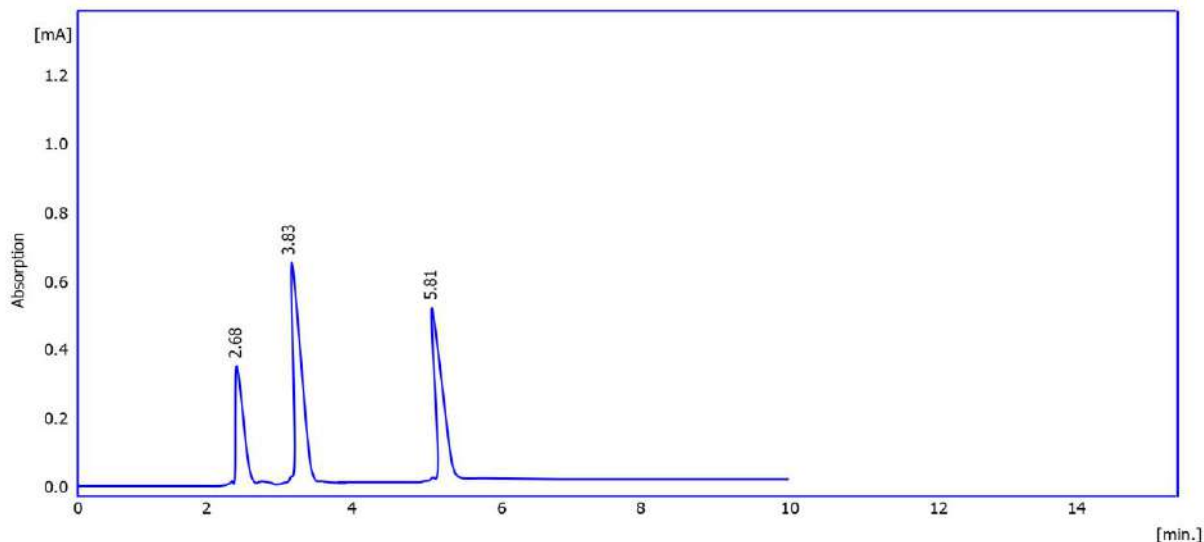
Chromatogram F:\ sample 8 .PRM

Page 1 of 1



Sample Info:

Sample ID	:	sample 8	Amount	0
Sample	:	sample 8	ISTD Amount	0
Inj. Volume [mL]	:	0.1	Dilution	1
Autostop	:	20.00 min	External Start	: Start - Restart, Down
Detector 1	:	Detector 3	Range 1	: Bipolar, 2000 mAU, 10 Samp. per Sec.
Subtraction Chromatogram	:	(None)	Matching	: No Change

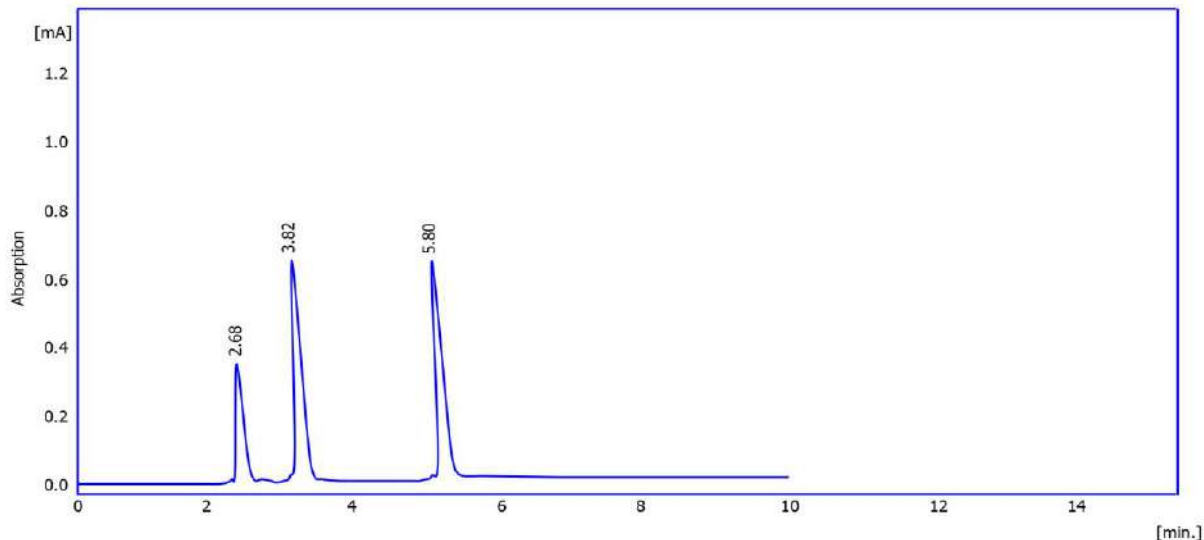


Result chromatography Table (Uncal - F:\ sample 8)

No	Reten. Time [min]	Area [mAU.s]	Height [mAU]	Area [%]	Height [%]	W05 [min]	Compound Name
1	2.68	9799.14	383.65	20.00	20.00	0.15	
2	3.83	19212.00	685.98	40.00	40.00	0.25	
3	5.81	33652.12	584.11	40.00	40.00	0.25	
	Total	62663.02	1532.01	100.00	100.00		

**Sample Info:**

Sample ID	:	sample 9	Amount	0
Sample	:	sample 9	ISTD Amount	0
Inj. Volume [mL]	:	0.1	Dilution	1
Autostop	:	20.00 min	External Start	: Start - Restart, Down
Detector 1	:	Detector 3	Range 1	: Bipolar, 2000 mAU, 10 Samp. per Sec.
Subtraction Chromatogram	:	(None)	Matching	: No Change

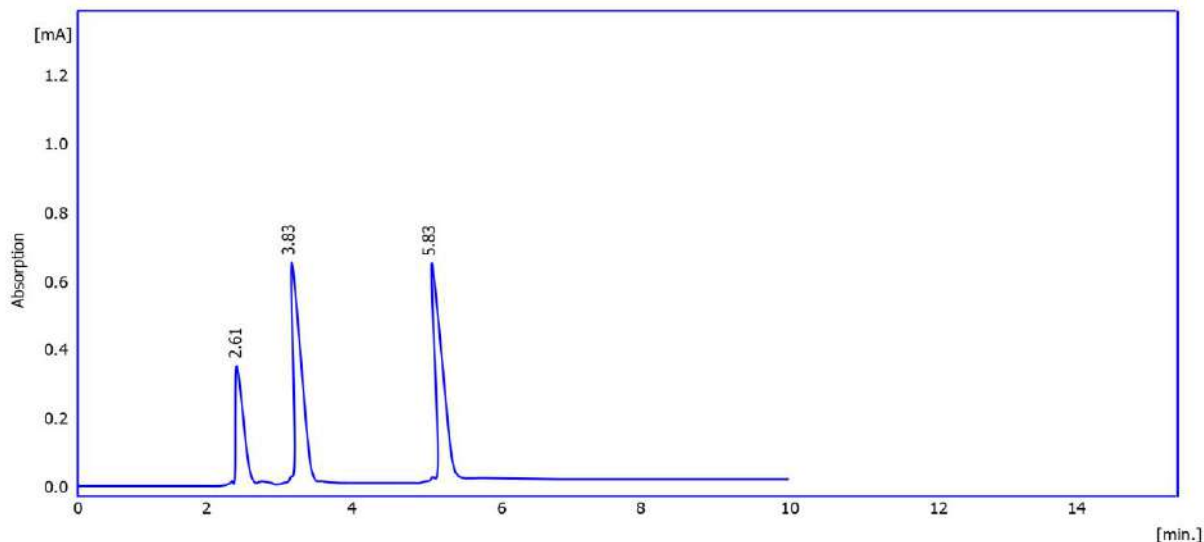


Result chromatography Table (Uncal - F:\ sample 9)

No	Reten. Time [min]	Area [mAU.s]	Height [mAU]	Area [%]	Height [%]	W05 [min]	Compound Name
1	2.68	9855.14	381.14	20.00	20.00	0.15	
2	3.82	19360.15	682.56	40.00	40.00	0.25	
3	5.80	66254.12	680.25	40.00	40.00	0.25	
	Total	95764.28	1744.99	100.00	100.00		

**Sample Info:**

Sample ID	:	sample 11	Amount	0
Sample	:	sample 11	ISTD Amount	0
Inj. Volume [mL]	:	0.1	Dilution	1
Autostop	:	20.00 min	External Start	: Start - Restart, Down
Detector 1	:	Detector 3	Range 1	: Bipolar, 2000 mAU, 10 Samp. per Sec.
Subtraction Chromatogram	:	(None)	Matching	: No Change



Result chromatography Table (Uncal - F:\ sample 11)

No	Reten. Time [min]	Area [mAU.s]	Height [mAU]	Area [%]	Height [%]	W05 [min]	Compound Name
1	2.61	9652.05	382.15	20.00	20.00	0.15	
2	3.83	19886.14	683.65	40.00	40.00	0.25	
3	5.83	71452.65	689.58	40.00	40.00	0.25	
	Total	100990.36	1762.49	100.00	100.00		

01/03/2023 01:40 μ

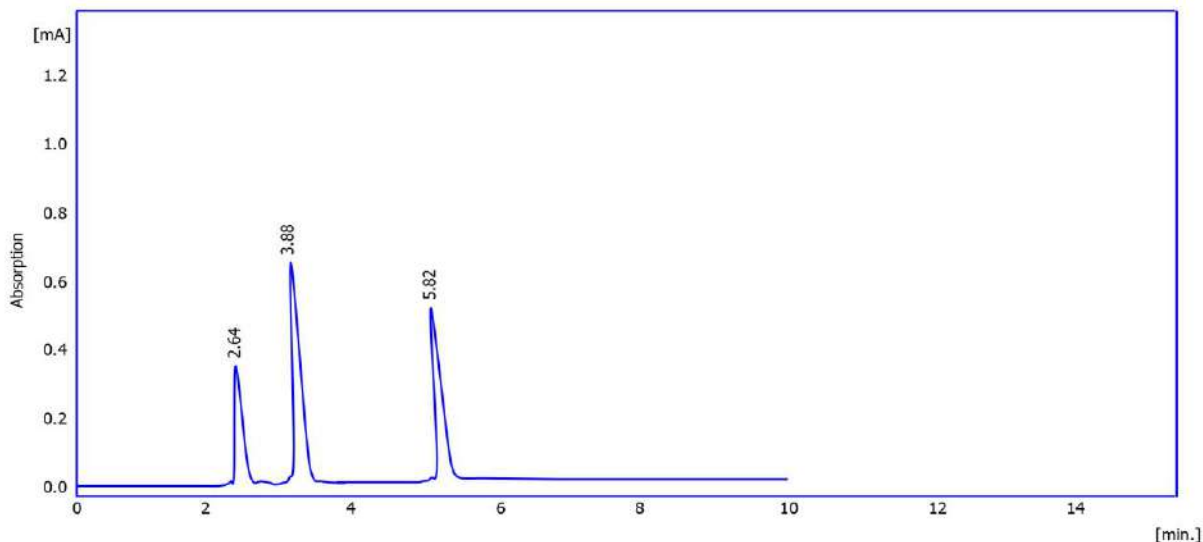
Chromatogram F:\ sample 12 .PRM

Page 1 of 1



Sample Info:

Sample ID	:	sample 12	Amount	0
Sample	:	sample 12	ISTD Amount	0
Inj. Volume [mL]	:	0.1	Dilution	1
Autostop	:	20.00 min	External Start	: Start - Restart, Down
Detector 1	:	Detector 3	Range 1	: Bipolar, 2000 mAU, 10 Samp. per Sec.
Subtraction Chromatogram	:	(None)	Matching	: No Change

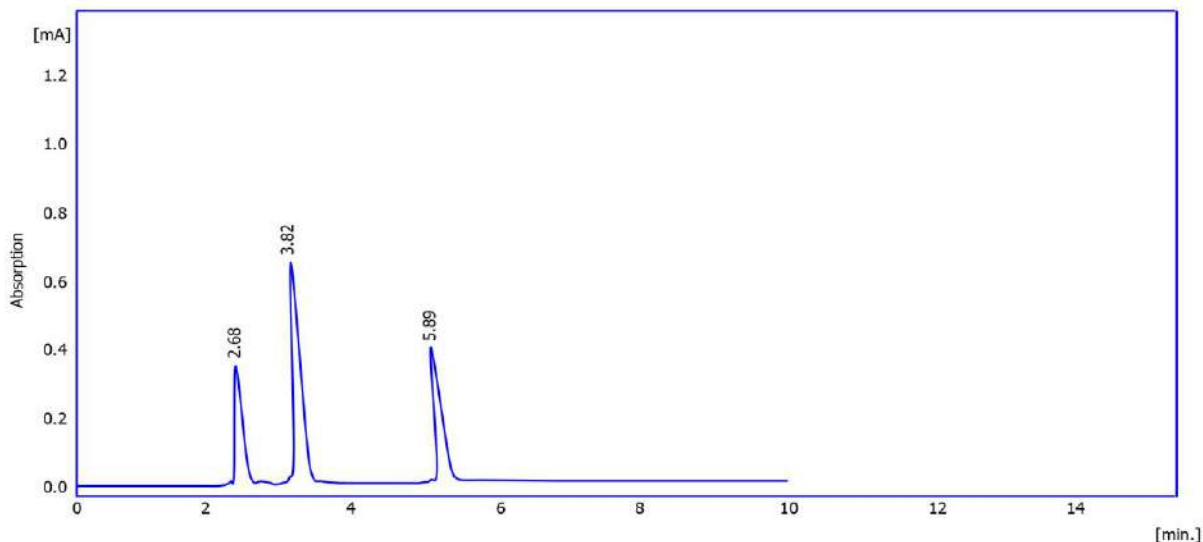


Result chromatography Table (Uncal - F:\ sample 12)

No	Reten. Time [min]	Area [mAU.s]	Height [mAU]	Area [%]	Height [%]	W05 [min]	Compound Name
1	2.64	9854.12	385.11	20.00	20.00	0.15	
2	3.88	19774.17	683.65	40.00	40.00	0.25	
3	5.82	43652.00	589.55	40.00	40.00	0.25	
	Total	73280.49	1546.98	100.00	100.00		

**Sample Info:**

Sample ID	:	sample 14	Amount	0
Sample	:	sample 14	ISTD Amount	0
Inj. Volume [mL]	:	0.1	Dilution	1
Autostop	:	20.00 min	External Start	: Start - Restart, Down
Detector 1	:	Detector 3	Range 1	: Bipolar, 2000 mAU, 10 Samp. per Sec.
Subtraction Chromatogram	:	(None)	Matching	: No Change

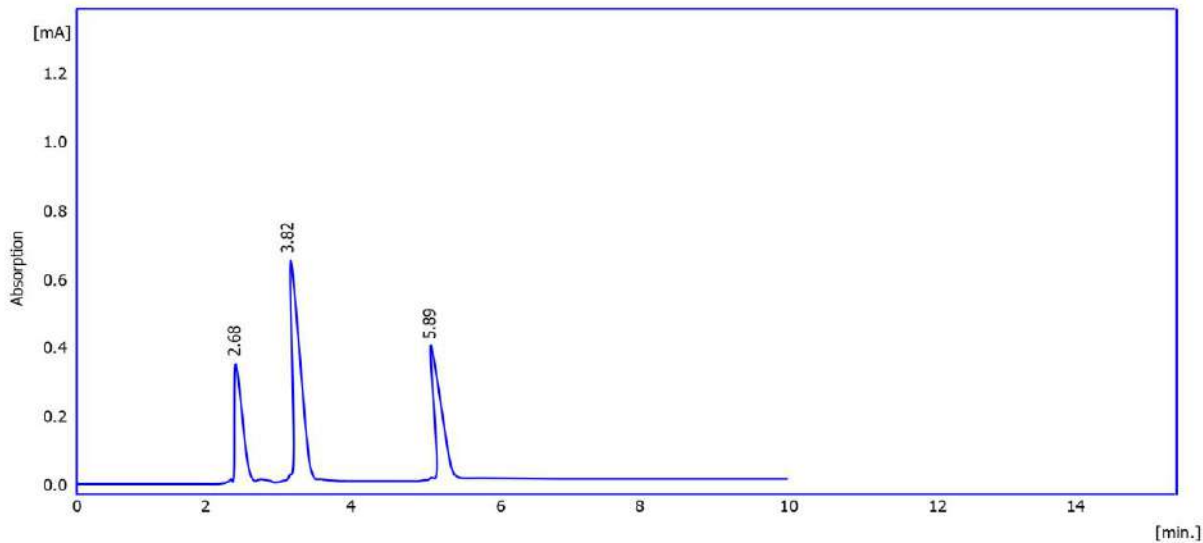


Result chromatography Table (Uncal - F:\ sample 14)

No	Reten. Time [min]	Area [mAU.s]	Height [mAU]	Area [%]	Height [%]	W05 [min]	Compound Name
1	2.68	9245.50	384.12	25.00	25.00	0.15	
2	3.82	19792.14	686.59	40.00	40.00	0.25	
3	5.89	9652.00	462.11	35.00	35.00	0.20	
	Total	38689.15	1365.29	100.00	100.00		

**Sample Info:**

Sample ID	:	sample 14	Amount	0
Sample	:	sample 14	ISTD Amount	0
Inj. Volume [mL]	:	0.1	Dilution	1
Autostop	:	20.00 min	External Start	: Start - Restart, Down
Detector 1	:	Detector 3	Range 1	: Bipolar, 2000 mAU, 10 Samp. per Sec.
Subtraction Chromatogram	:	(None)	Matching	: No Change

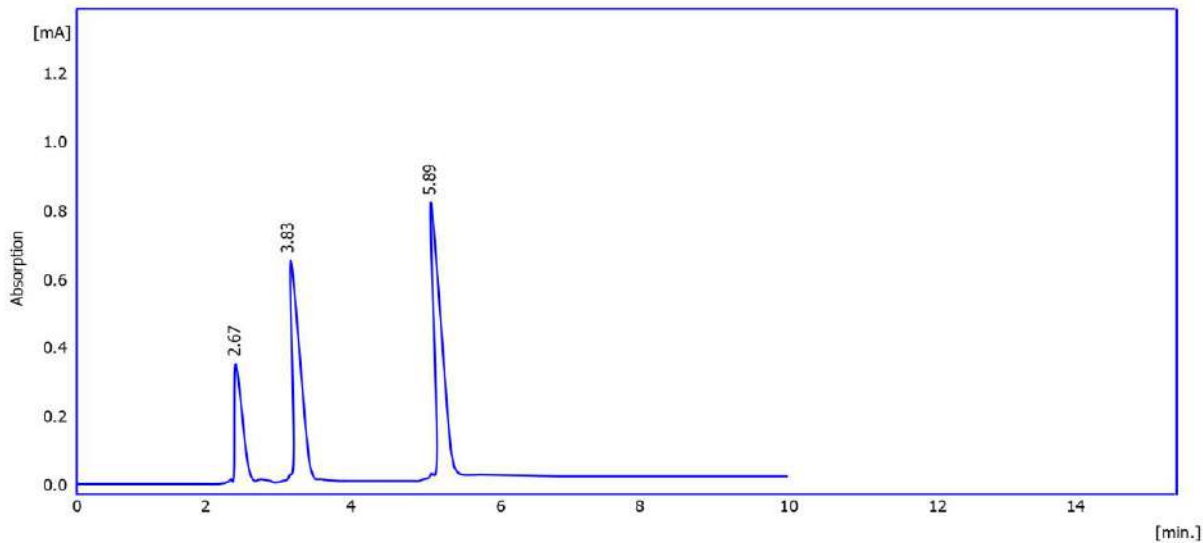


Result chromatography Table (Uncal - F:\ sample 14)

No	Reten. Time [min]	Area [mAU.s]	Height [mAU]	Area [%]	Height [%]	W05 [min]	Compound Name
1	2.68	9245.50	384.12	25.00	25.00	0.15	
2	3.82	19792.14	686.59	40.00	40.00	0.25	
3	5.89	9652.00	462.11	35.00	35.00	0.20	
	Total	38689.15	1365.29	100.00	100.00		

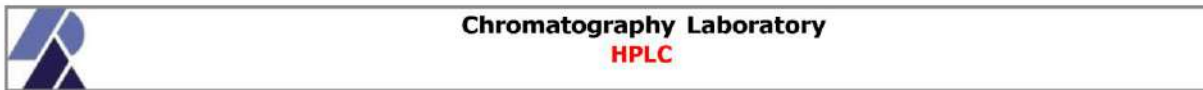
**Sample Info:**

Sample ID	:	sample 15	Amount	0
Sample	:	sample 15	ISTD Amount	0
Inj. Volume [mL]	:	0.1	Dilution	1
Autostop	:	20.00 min	External Start	: Start - Restart, Down
Detector 1	:	Detector 3	Range 1	: Bipolar, 2000 mAU, 10 Samp. per Sec.
Subtraction Chromatogram	:	(None)	Matching	: No Change

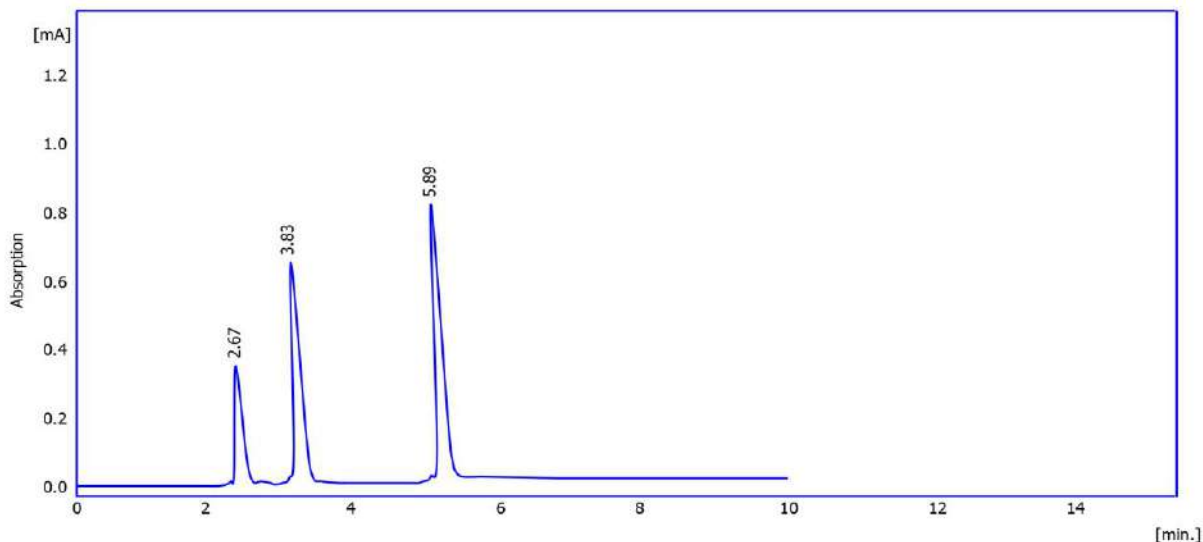


Result chromatography Table (Uncal - F:\ sample 15)

No	Reten. Time [min]	Area [mAU.s]	Height [mAU]	Area [%]	Height [%]	W05 [min]	Compound Name
1	2.67	9652.23	383.65	20.00	20.00	0.15	
2	3.83	19952.14	687.94	30.00	30.00	0.25	
3	5.89	79224.59	815.49	50.00	50.00	0.30	
	Total	108828.95	1905.65	100.00	100.00		

**Sample Info:**

Sample ID	:	sample 15	Amount	0
Sample	:	sample 15	ISTD Amount	0
Inj. Volume [mL]	:	0.1	Dilution	1
Autostop	:	20.00 min	External Start	: Start - Restart, Down
Detector 1	:	Detector 3	Range 1	: Bipolar, 2000 mAU, 10 Samp. per Sec.
Subtraction Chromatogram	:	(None)	Matching	: No Change



Result chromatography Table (Uncal - F:\ sample 15)

No	Reten. Time [min]	Area [mAU.s]	Height [mAU]	Area [%]	Height [%]	W05 [min]	Compound Name
1	2.67	9652.23	383.65	20.00	20.00	0.15	
2	3.83	19952.14	687.94	30.00	30.00	0.25	
3	5.89	79224.59	815.49	50.00	50.00	0.30	
	Total	108828.95	1905.65	100.00	100.00		

05/03/2023 01:40 μ

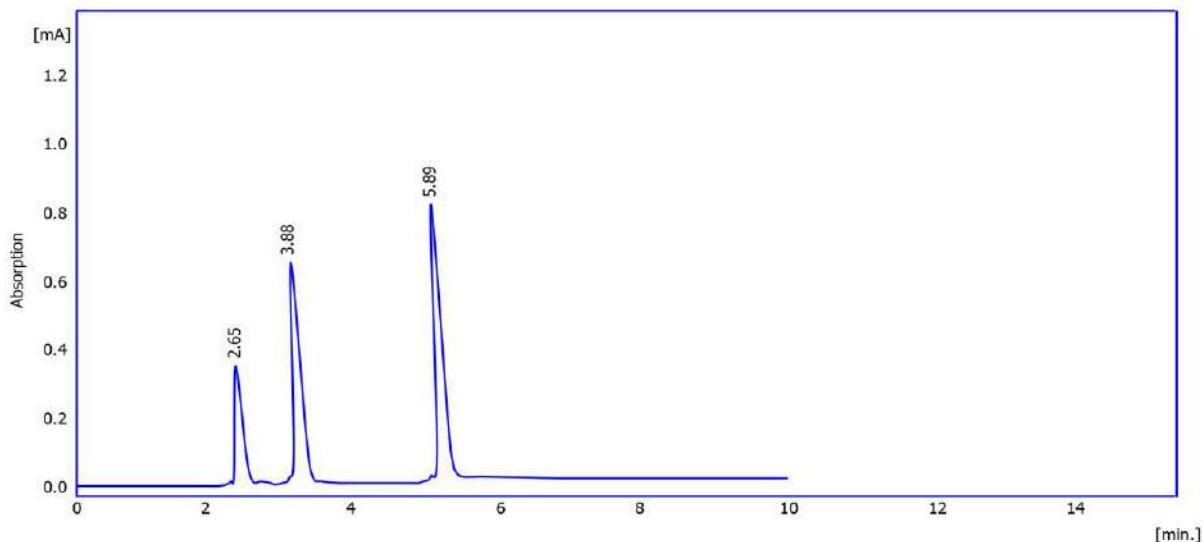
Chromatogram F:\ sample 17 .PRM

Page 1 of 1



Sample Info:

Sample ID	:	sample 17	Amount	0
Sample	:	sample 17	ISTD Amount	0
Inj. Volume [mL]	:	0.1	Dilution	1
Autostop	:	20.00 min	External Start	: Start - Restart, Down
Detector 1	:	Detector 3	Range 1	: Bipolar, 2000 mAU, 10 Samp. per Sec.
Subtraction Chromatogram	:	(None)	Matching	: No Change

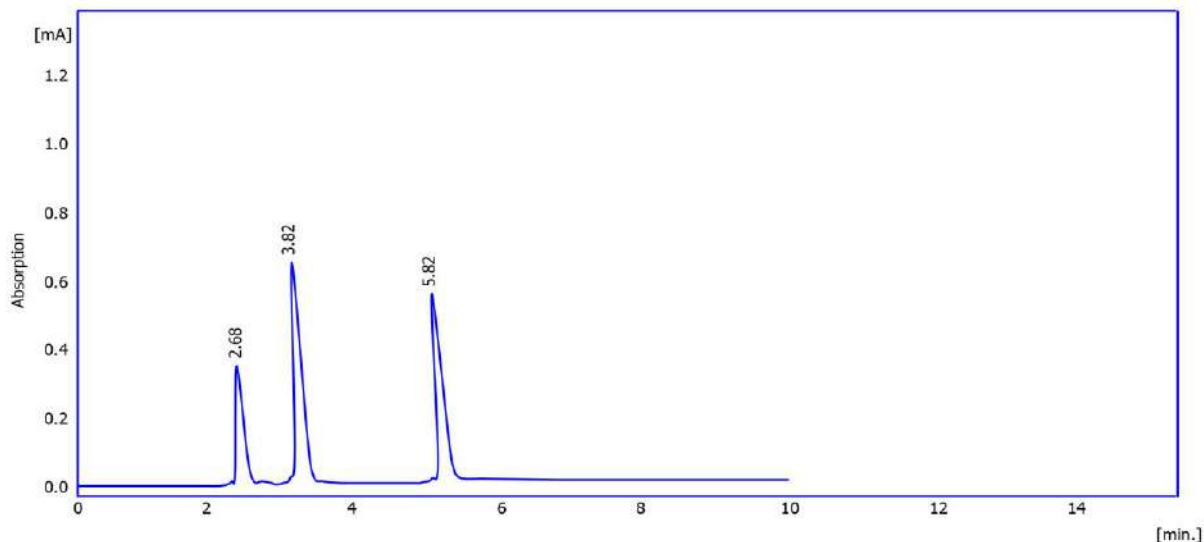


Result chromatography Table (Uncal - F:\ sample 17)

No	Reten. Time [min]	Area [mAU.s]	Height [mAU]	Area [%]	Height [%]	W05 [min]	Compound Name
1	2.65	9845.25	385.64	20.00	20.00	0.15	
2	3.88	19533.23	689.25	30.00	30.00	0.25	
3	5.89	83652.02	814.55	50.00	50.00	0.30	
	Total	113130.59	1903.65	100.00	100.00		

**Sample Info:**

Sample ID	:	sample 19	Amount	0
Sample	:	sample 19	ISTD Amount	0
Inj. Volume [mL]	:	0.1	Dilution	1
Autostop	:	20.00 min	External Start	: Start - Restart, Down
Detector 1	:	Detector 3	Range 1	: Bipolar, 2000 mAU, 10 Samp. per Sec.
Subtraction Chromatogram	:	(None)	Matching	: No Change

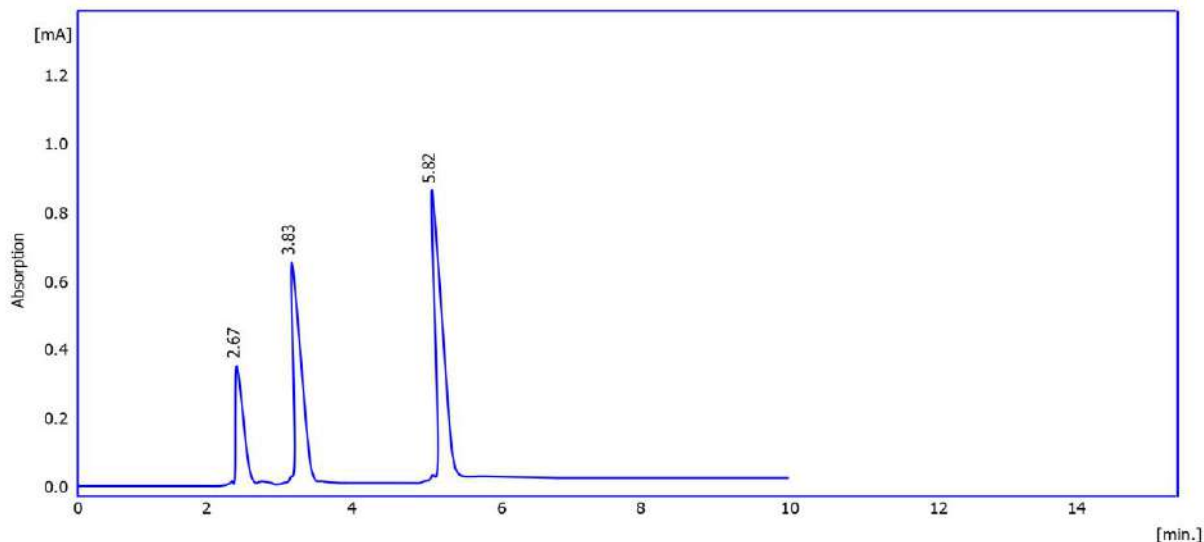


Result chromatography Table (Uncal - F:\ sample 19)

No	Reten. Time [min]	Area [mAU.s]	Height [mAU]	Area [%]	Height [%]	W05 [min]	Compound Name
1	2.68	9621.00	382.66	30.00	30.00	0.15	
2	3.82	19652.14	694.59	40.00	40.00	0.25	
3	5.82	10256.64	583.65	30.00	30.00	0.15	
	Total	35929.49	1661.25	100.00	100.00		

**Sample Info:**

Sample ID	:	sample 20	Amount	0
Sample	:	sample 20	ISTD Amount	0
Inj. Volume [mL]	:	0.1	Dilution	1
Autostop	:	20.00 min	External Start	: Start - Restart, Down
Detector 1	:	Detector 3	Range 1	: Bipolar, 2000 mAU, 10 Samp. per Sec.
Subtraction Chromatogram	:	(None)	Matching	: No Change



Result chromatography Table (Uncal - F:\ sample 20)

No	Reten. Time [min]	Area [mAU.s]	Height [mAU]	Area [%]	Height [%]	W05 [min]	Compound Name
1	2.67	9745.29	382.12	20.00	20.00	0.15	
2	3.83	19744.08	693.52	35.00	35.00	0.25	
3	5.82	66985.48	820.65	45.00	45.00	0.30	
	Total	96474.58	1896.56	100.00	100.00		

27/02/2023 01:40 μ

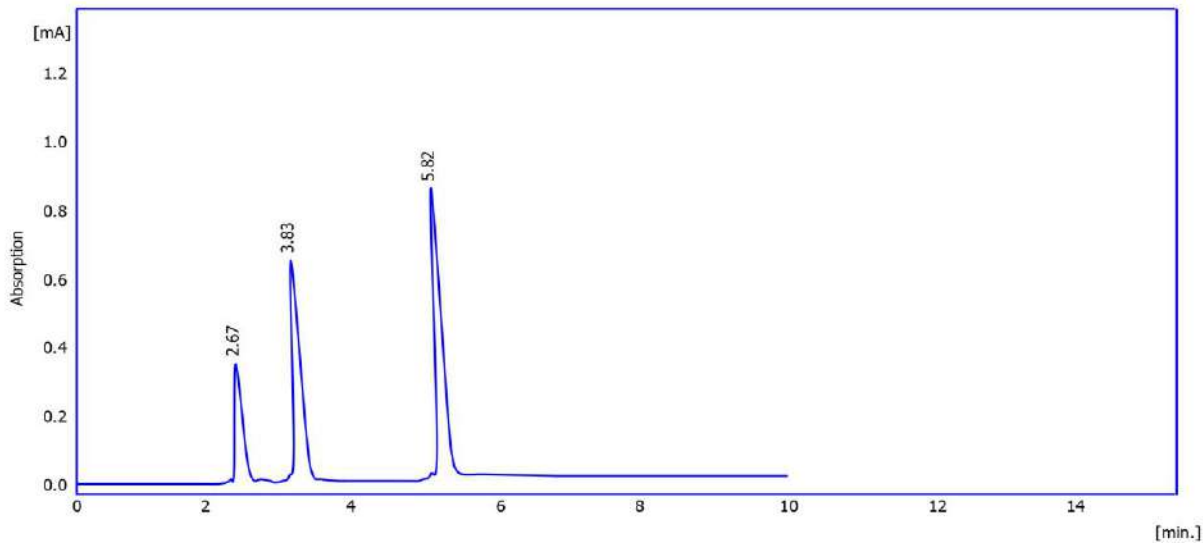
Chromatogram F:\ sample 20 .PRM

Page 1 of 1



Sample Info:

Sample ID	:	sample 20	Amount	0
Sample	:	sample 20	ISTD Amount	0
Inj. Volume [mL]	:	0.1	Dilution	1
Autostop	:	20.00 min	External Start	: Start - Restart, Down
Detector 1	:	Detector 3	Range 1	: Bipolar, 2000 mAU, 10 Samp. per Sec.
Subtraction Chromatogram	:	(None)	Matching	: No Change

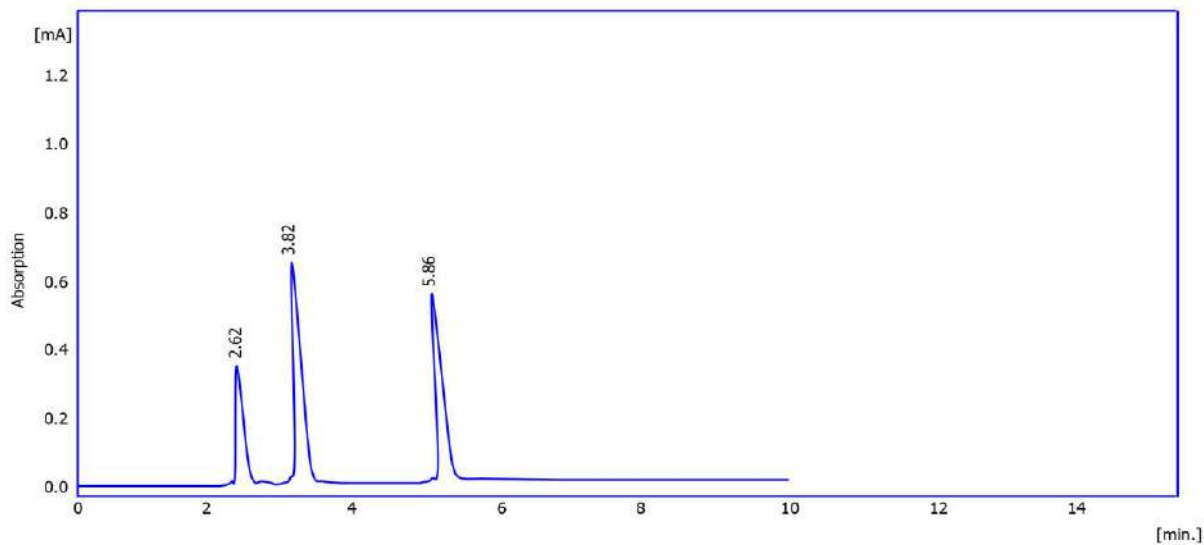


Result chromatography Table (Uncal - F:\ sample 20)

No	Reten. Time [min]	Area [mAU.s]	Height [mAU]	Area [%]	Height [%]	W05 [min]	Compound Name
1	2.67	9745.29	382.12	20.00	20.00	0.15	
2	3.83	19744.08	693.52	35.00	35.00	0.25	
3	5.82	66985.48	820.65	45.00	45.00	0.30	
	Total	96474.58	1896.56	100.00	100.00		

**Sample Info:**

Sample ID	:	sample 21	Amount	0
Sample	:	sample 21	ISTD Amount	0
Inj. Volume [mL]	:	0.1	Dilution	1
Autostop	:	20.00 min	External Start	: Start - Restart, Down
Detector 1	:	Detector 3	Range 1	: Bipolar, 2000 mAU, 10 Samp. per Sec.
Subtraction Chromatogram	:	(None)	Matching	: No Change



Result chromatography Table (Uncal - F:\ sample 21)

No	Reten. Time [min]	Area [mAU.s]	Height [mAU]	Area [%]	Height [%]	W05 [min]	Compound Name
1	2.62	9745.08	383.66	30.00	30.00	0.15	
2	3.82	19462.15	695.49	40.00	40.00	0.25	
3	5.86	15985.00	585.99	30.00	30.00	0.15	
	Total	45129.32	1669.25	100.00	100.00		

27/02/2023 01:40 μ

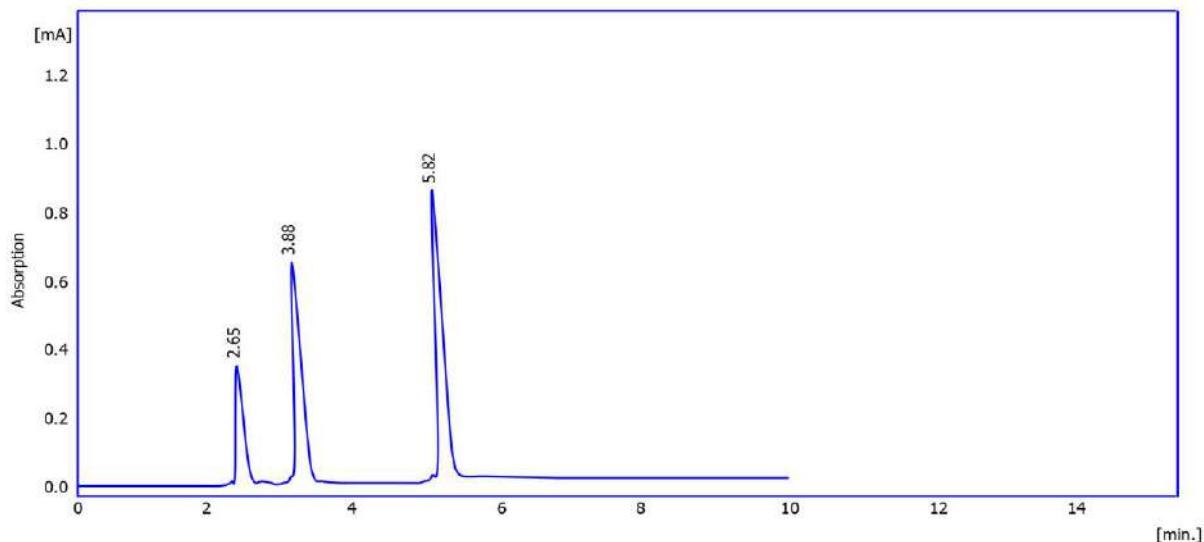
Chromatogram F:\ sample 22 .PRM

Page 1 of 1



Sample Info:

Sample ID	:	sample 22	Amount	0
Sample	:	sample 22	ISTD Amount	0
Inj. Volume [mL]	:	0.1	Dilution	1
Autostop	:	20.00 min	External Start	: Start - Restart, Down
Detector 1	:	Detector 3	Range 1	: Bipolar, 2000 mAU, 10 Samp. per Sec.
Subtraction Chromatogram	:	(None)	Matching	: No Change

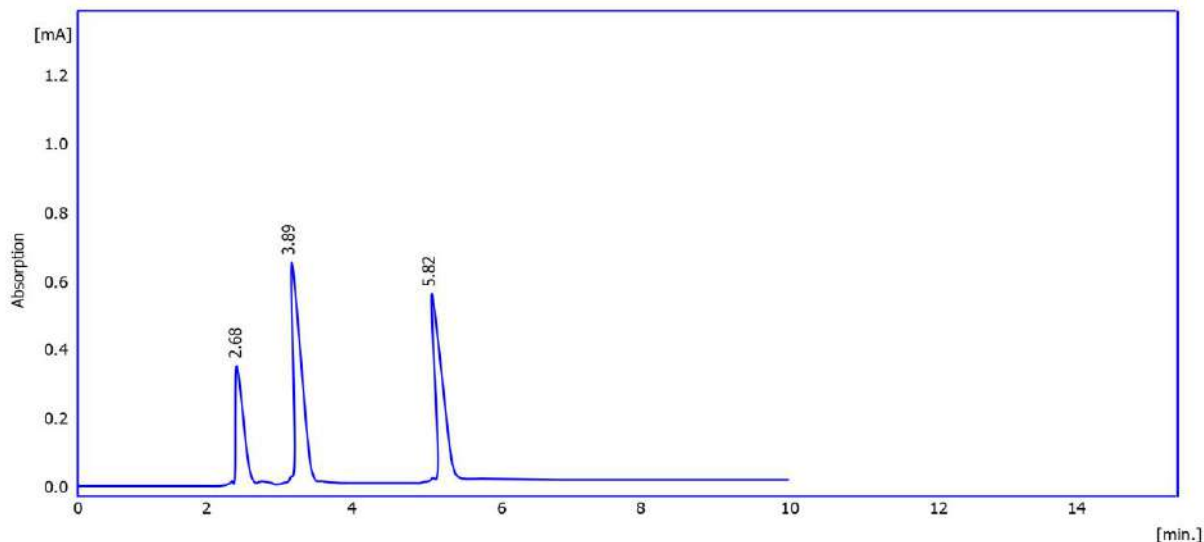


Result chromatography Table (Uncal - F:\ sample 22)

No	Reten. Time [min]	Area [mAU.s]	Height [mAU]	Area [%]	Height [%]	W05 [min]	Compound Name
1	2.65	9962.15	385.64	20.00	20.00	0.15	
2	3.88	18665.08	692.66	35.00	35.00	0.25	
3	5.82	79521.48	825.98	45.00	45.00	0.30	
	Total	108148.95	1911.26	100.00	100.00		

**Sample Info:**

Sample ID	:	sample 23	Amount	0
Sample	:	sample 23	ISTD Amount	0
Inj. Volume [mL]	:	0.1	Dilution	1
Autostop	:	20.00 min	External Start	: Start - Restart, Down
Detector 1	:	Detector 3	Range 1	: Bipolar, 2000 mAU, 10 Samp. per Sec.
Subtraction Chromatogram	:	(None)	Matching	: No Change



Result chromatography Table (Uncal - F:\ sample 23)

No	Reten. Time [min]	Area [mAU.s]	Height [mAU]	Area [%]	Height [%]	W05 [min]	Compound Name
1	2.68	9865.25	382.46	30.00	30.00	0.15	
2	3.89	19991.25	693.05	40.00	40.00	0.25	
3	5.82	19332.05	584.19	30.00	30.00	0.15	
	Total	49188.26	1671.65	100.00	100.00		

27/02/2023 01:40 μ

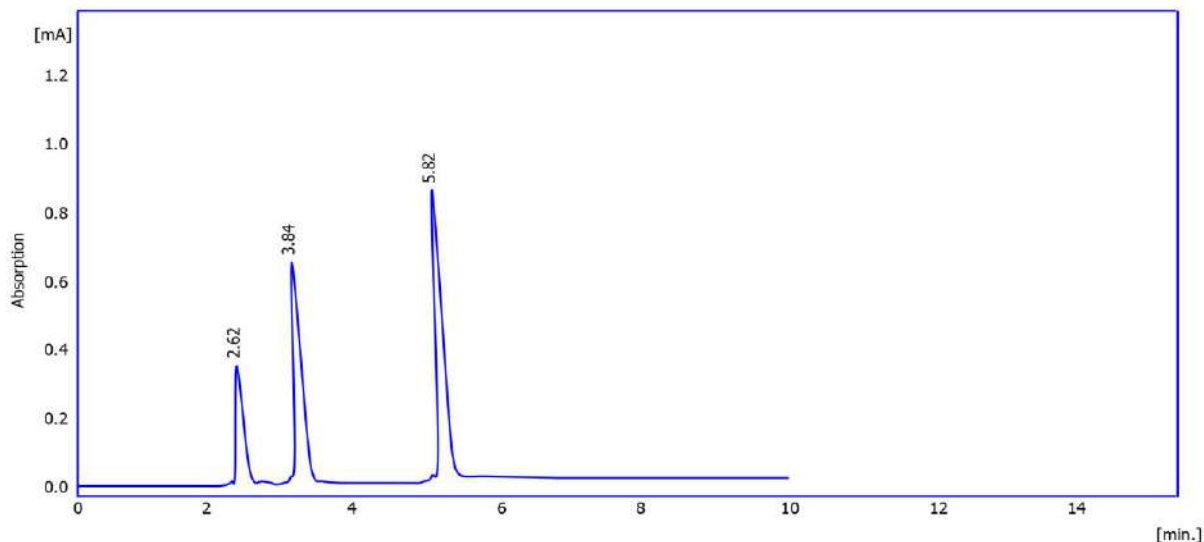
Chromatogram F:\ sample 24 .PRM

Page 1 of 1



Sample Info:

Sample ID	:	sample 24	Amount	0
Sample	:	sample 24	ISTD Amount	0
Inj. Volume [mL]	:	0.1	Dilution	1
Autostop	:	20.00 min	External Start	: Start - Restart, Down
Detector 1	:	Detector 3	Range 1	: Bipolar, 2000 mAU, 10 Samp. per Sec.
Subtraction Chromatogram	:	(None)	Matching	: No Change

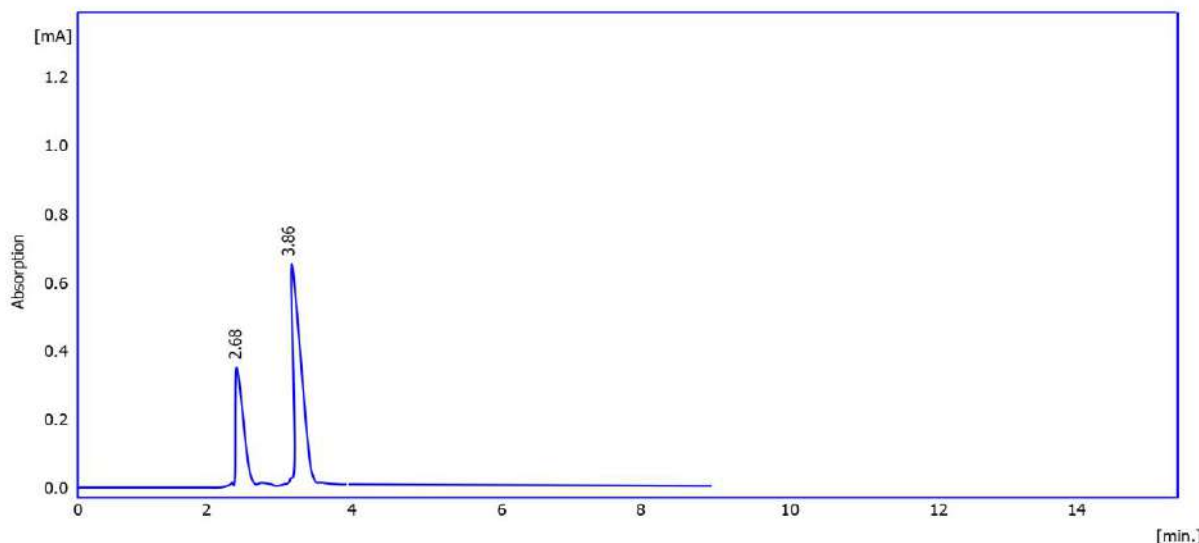


Result chromatography Table (Uncal - F:\ sample 24)

No	Reten. Time [min]	Area [mAU.s]	Height [mAU]	Area [%]	Height [%]	W05 [min]	Compound Name
1	2.62	9832.59	382.49	20.00	20.00	0.15	
2	3.84	19221.58	693.66	35.00	35.00	0.25	
3	5.82	92587.49	825.98	45.00	45.00	0.30	
	Total	121641.59	1933.65	100.00	100.00		

**Sample Info:**

Sample ID	:	sample 25	Amount	0
Sample	:	sample 25	ISTD Amount	0
Inj. Volume [mL]	:	0.1	Dilution	1
Autostop	:	20.00 min	External Start	: Start - Restart, Down
Detector 1	:	Detector 3	Range 1	: Bipolar, 2000 mAU, 10 Samp. per Sec.
Subtraction Chromatogram	:	(None)	Matching	: No Change

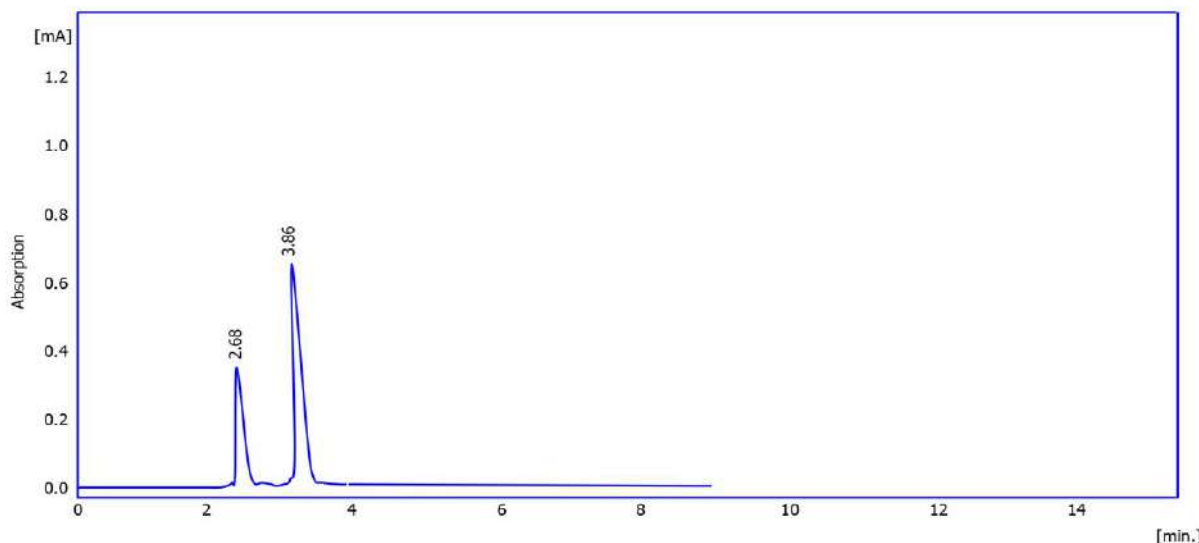


Result chromatography Table (Uncal - F:\ sample 25)

No	Reten. Time [min]	Area [mAU.s]	Height [mAU]	Area [%]	Height [%]	W05 [min]	Compound Name
1	2.68	9854.21	382.22	40.00	40.00	0.15	
2	3.86	18995.05	683.14	60.00	60.00	0.25	
	Total	28849.58	1065.65	100.00	100.00		

**Sample Info:**

Sample ID	:	sample 25	Amount	0
Sample	:	sample 25	ISTD Amount	0
Inj. Volume [mL]	:	0.1	Dilution	1
Autostop	:	20.00 min	External Start	: Start - Restart, Down
Detector 1	:	Detector 3	Range 1	: Bipolar, 2000 mAU, 10 Samp. per Sec.
Subtraction Chromatogram	:	(None)	Matching	: No Change

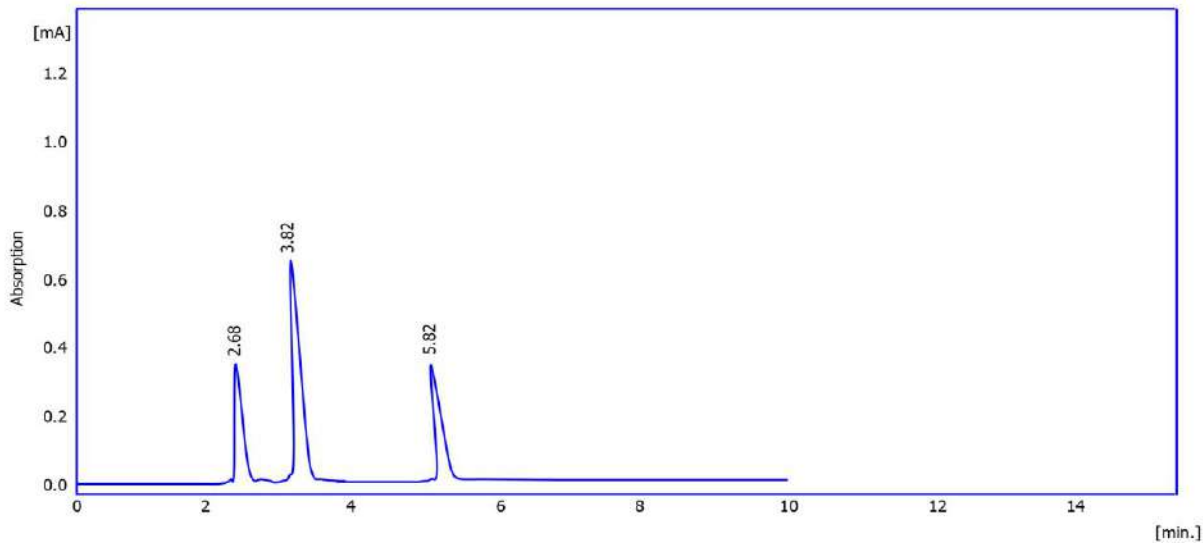


Result chromatography Table (Uncal - F:\ sample 25)

No	Reten. Time [min]	Area [mAU.s]	Height [mAU]	Area [%]	Height [%]	W05 [min]	Compound Name
1	2.68	9854.21	382.22	40.00	40.00	0.15	
2	3.86	18995.05	683.14	60.00	60.00	0.25	
	Total	28849.58	1065.65	100.00	100.00		

**Sample Info:**

Sample ID	:	sample 26	Amount	0
Sample	:	sample 26	ISTD Amount	0
Inj. Volume [mL]	:	0.1	Dilution	1
Autostop	:	20.00 min	External Start	: Start - Restart, Down
Detector 1	:	Detector 3	Range 1	: Bipolar, 2000 mAU, 10 Samp. per Sec.
Subtraction Chromatogram	:	(None)	Matching	: No Change



Result chromatography Table (Uncal - F:\ sample 26)

No	Reten. Time [min]	Area [mAU.s]	Height [mAU]	Area [%]	Height [%]	W05 [min]	Compound Name
1	2.68	9458.96	382.22	25.00	25.00	0.15	
2	3.82	19521.49	683.14	45.00	45.00	0.25	
3	5.82	25254.05	362.89	30.00	30.00	0.20	
	Total	54334.59	1281.65	100.00	100.00		

02/03/2023 01:40 ,

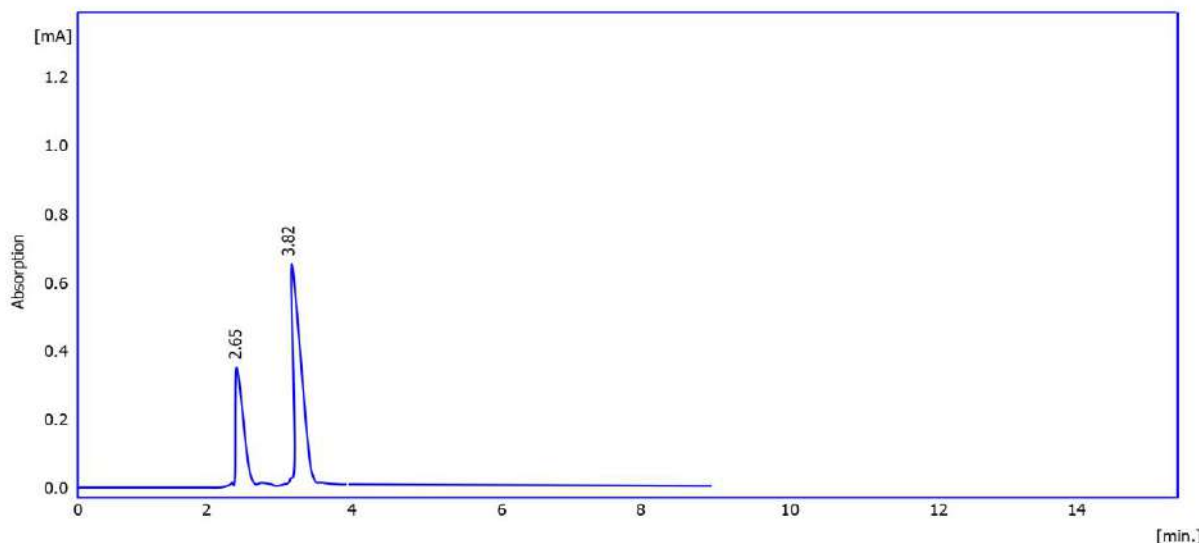
Chromatogram F:\ sample 27 .PRM

Page 1 of 1



Sample Info:

Sample ID	:	sample 27	Amount	0
Sample	:	sample 27	ISTD Amount	0
Inj. Volume [mL]	:	0.1	Dilution	1
Autostop	:	20.00 min	External Start	: Start - Restart, Down
Detector 1	:	Detector 3	Range 1	: Bipolar, 2000 mAU, 10 Samp. per Sec.
Subtraction Chromatogram	:	(None)	Matching	: No Change



Result chromatography Table (Uncal - F:\ sample 27)

No	Reten. Time [min]	Area [mAU.s]	Height [mAU]	Area [%]	Height [%]	W05 [min]	Compound Name
1	2.65	9621.25	381.25	40.00	40.00	0.15	
2	3.82	19521.45	682.00	60.00	60.00	0.25	
	Total	29247.49	1063.25	100.00	100.00		

02/03/2023 01:40 μ

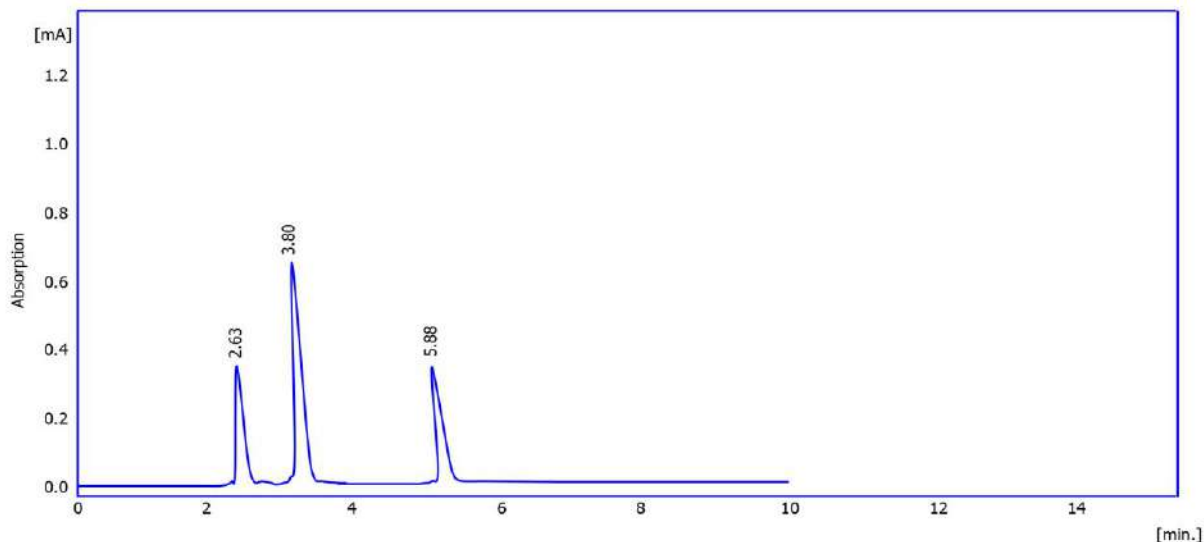
Chromatogram F:\ sample 28 .PRM

Page 1 of 1



Sample Info:

Sample ID	:	sample 28	Amount	0
Sample	:	sample 28	ISTD Amount	0
Inj. Volume [mL]	:	0.1	Dilution	1
Autostop	:	20.00 min	External Start	: Start - Restart, Down
Detector 1	:	Detector 3	Range 1	: Bipolar, 2000 mAU, 10 Samp. per Sec.
Subtraction Chromatogram	:	(None)	Matching	: No Change

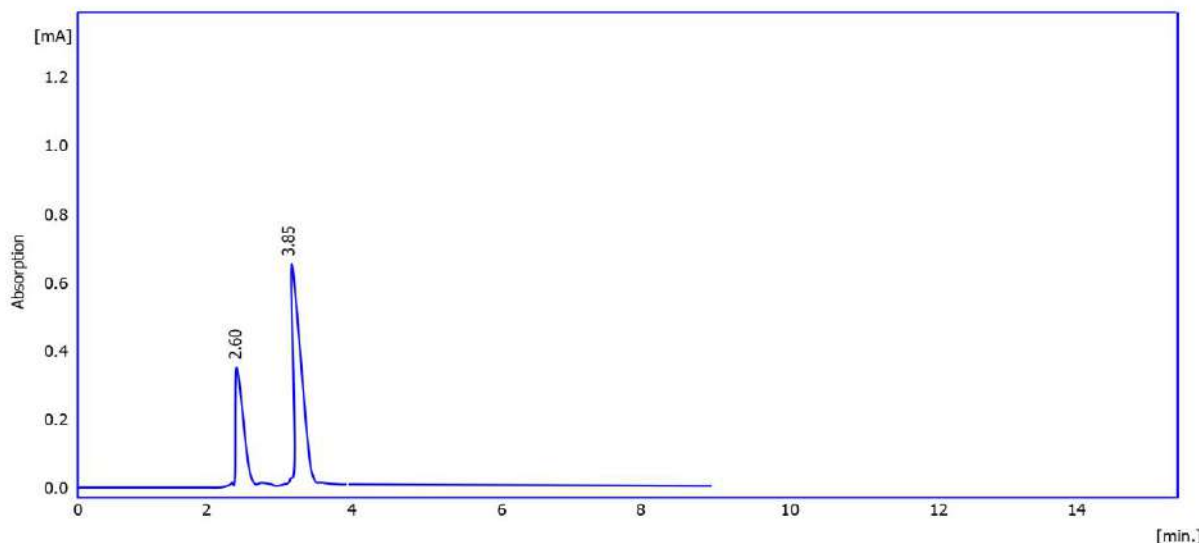


Result chromatography Table (Uncal - F:\ sample 28)

No	Reten. Time [min]	Area [mAU.s]	Height [mAU]	Area [%]	Height [%]	W05 [min]	Compound Name
1	2.63	9325.08	382.22	25.00	25.00	0.15	
2	3.80	19774.15	683.14	45.00	45.00	0.25	
3	5.88	29652.32	362.89	30.00	30.00	0.20	
	Total	58571.55	1281.65	100.00	100.00		

**Sample Info:**

Sample ID	:	sample 29	Amount	0
Sample	:	sample 29	ISTD Amount	0
Inj. Volume [mL]	:	0.1	Dilution	1
Autostop	:	20.00 min	External Start	: Start - Restart, Down
Detector 1	:	Detector 3	Range 1	: Bipolar, 2000 mAU, 10 Samp. per Sec.
Subtraction Chromatogram	:	(None)	Matching	: No Change



Result chromatography Table (Uncal - F:\ sample 29)

No	Reten. Time [min]	Area [mAU.s]	Height [mAU]	Area [%]	Height [%]	W05 [min]	Compound Name
1	2.60	9145.06	381.14	40.00	40.00	0.15	
2	3.85	19552.14	682.41	60.00	60.00	0.25	
	Total	28697.20	1063.55	100.00	100.00		

02/03/2023 01:40 μ

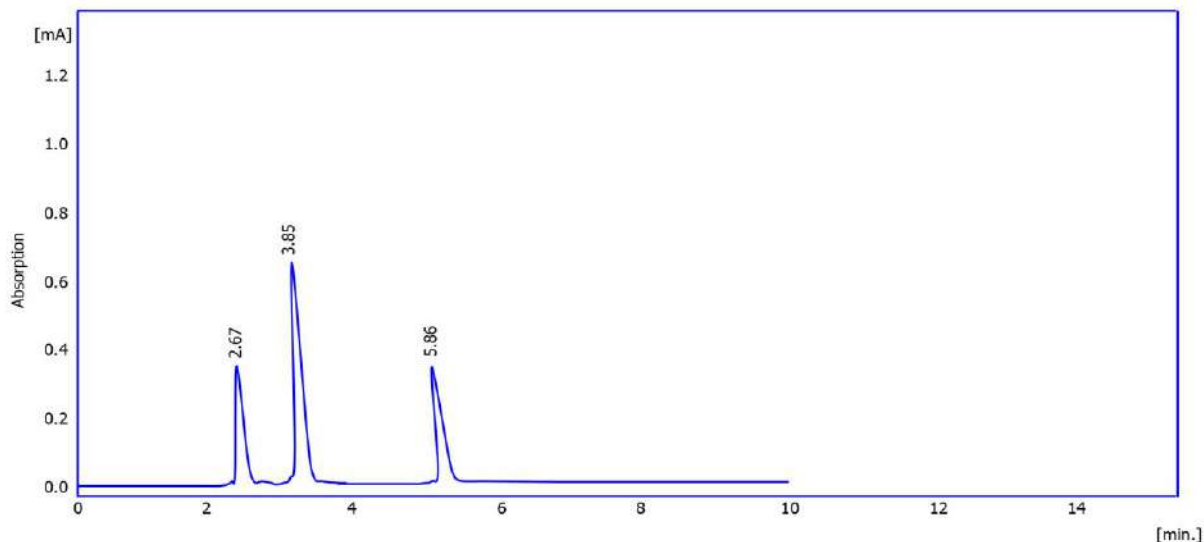
Chromatogram F:\ sample 30 .PRM

Page 1 of 1



Sample Info:

Sample ID	:	sample 30	Amount	0
Sample	:	sample 30	ISTD Amount	0
Inj. Volume [mL]	:	0.1	Dilution	1
Autostop	:	20.00 min	External Start	: Start - Restart, Down
Detector 1	:	Detector 3	Range 1	: Bipolar, 2000 mAU, 10 Samp. per Sec.
Subtraction Chromatogram	:	(None)	Matching	: No Change



Result chromatography Table (Uncal - F:\ sample 30)

No	Reten. Time [min]	Area [mAU.s]	Height [mAU]	Area [%]	Height [%]	W05 [min]	Compound Name
1	2.67	9598.08	383.65	25.00	25.00	0.15	
2	3.85	19995.25	688.59	45.00	45.00	0.25	
3	5.86	32652.12	363.66	30.00	30.00	0.20	
	Total	62245.45	1289.45	100.00	100.00		

05/03/2023 01:40 ,

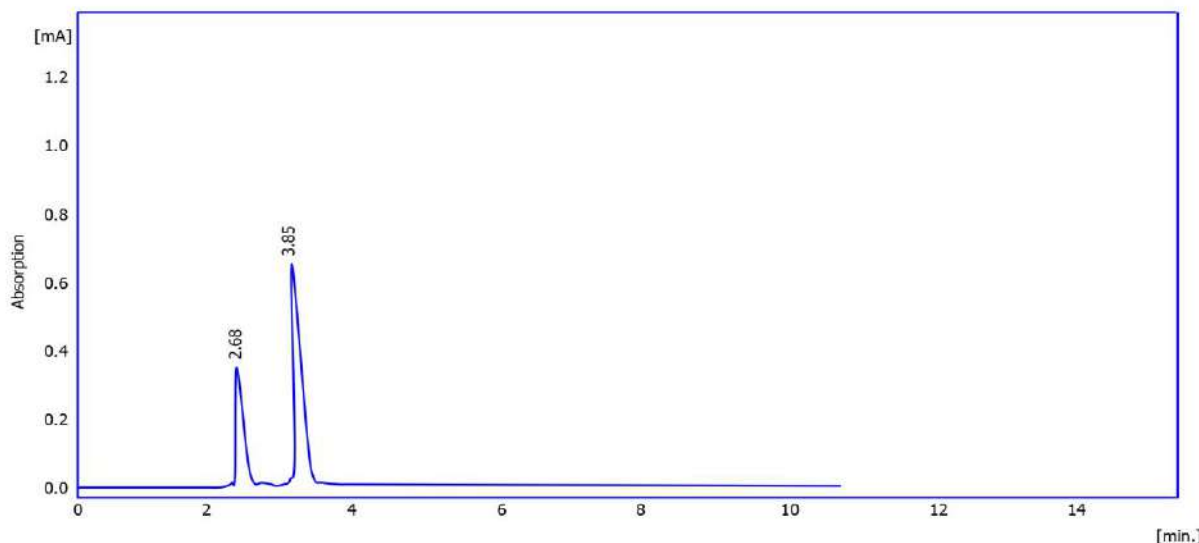
Chromatogram F:\ sample 31 .PRM

Page 1 of 1



Sample Info:

Sample ID	:	sample 31	Amount	0
Sample	:	sample 31	ISTD Amount	0
Inj. Volume [mL]	:	0.1	Dilution	1
Autostop	:	20.00 min	External Start	: Start - Restart, Down
Detector 1	:	Detector 3	Range 1	: Bipolar, 2000 mAU, 10 Samp. per Sec.
Subtraction Chromatogram	:	(None)	Matching	: No Change



Result chromatography Table (Uncal - F:\ sample 31)

No	Reten. Time [min]	Area [mAU.s]	Height [mAU]	Area [%]	Height [%]	W05 [min]	Compound Name
1	2.68	9621.05	382.12	40.00	40.00	0.15	
2	3.85	19554.19	681.05	60.00	60.00	0.25	
	Total	29175.49	1125.17	100.00	100.00		

05/03/2023 01:40 μ

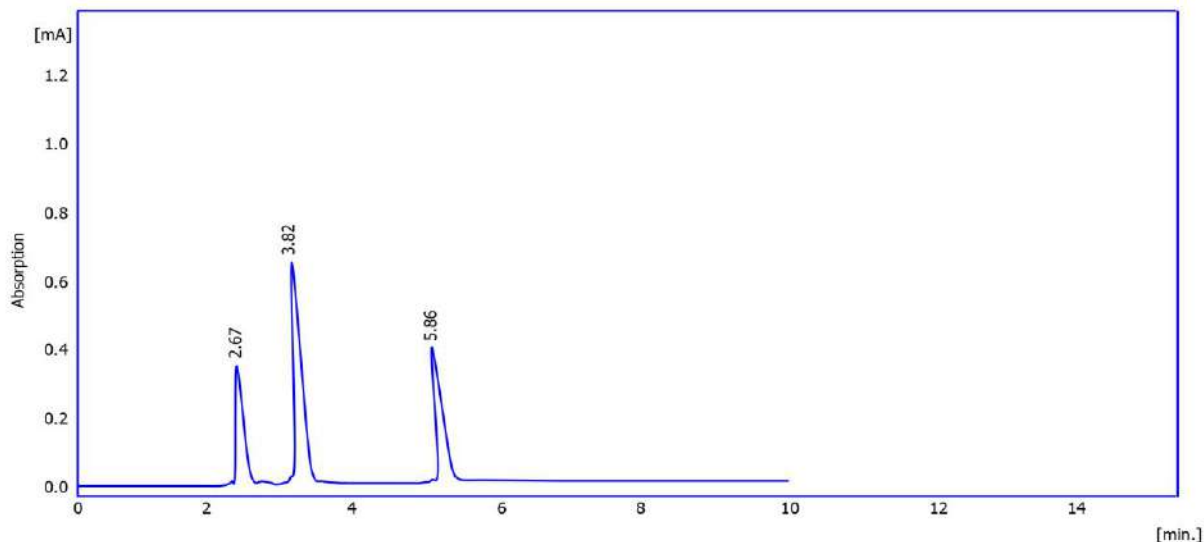
Chromatogram F:\ sample 32 .PRM

Page 1 of 1



Sample Info:

Sample ID	:	sample 32	Amount	0
Sample	:	sample 32	ISTD Amount	0
Inj. Volume [mL]	:	0.1	Dilution	1
Autostop	:	20.00 min	External Start	: Start - Restart, Down
Detector 1	:	Detector 3	Range 1	: Bipolar, 2000 mAU, 10 Samp. per Sec.
Subtraction Chromatogram	:	(None)	Matching	: No Change



Result chromatography Table (Uncal - F:\ sample 32)

No	Reten. Time [min]	Area [mAU.s]	Height [mAU]	Area [%]	Height [%]	W05 [min]	Compound Name
1	2.67	9584.15	383.65	25.00	25.00	0.15	
2	3.82	19332.25	688.44	40.00	40.00	0.25	
3	5.86	33521.56	465.98	35.00	35.00	0.20	
	Total	62437.58	1376.59	100.00	100.00		

05/03/2023 01:40 ,

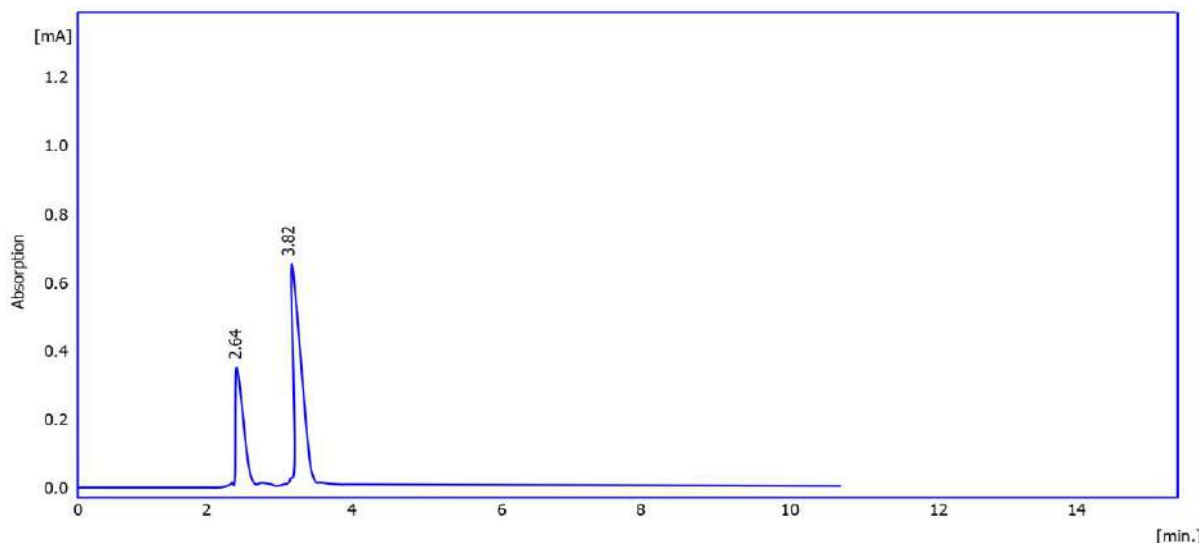
Chromatogram F:\ sample 33 .PRM

Page 1 of 1



Sample Info:

Sample ID	:	sample 33	Amount	0
Sample	:	sample 33	ISTD Amount	0
Inj. Volume [mL]	:	0.1	Dilution	1
Autostop	:	20.00 min	External Start	: Start - Restart, Down
Detector 1	:	Detector 3	Range 1	: Bipolar, 2000 mAU, 10 Samp. per Sec.
Subtraction Chromatogram	:	(None)	Matching	: No Change

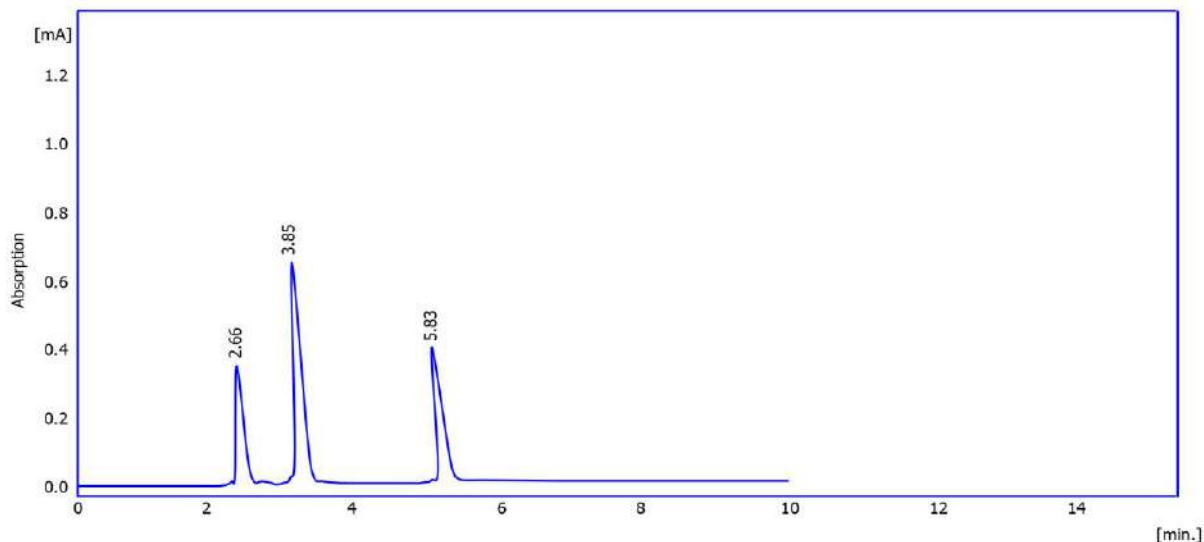


Result chromatography Table (Uncal - F:\ sample 33)

No	Reten. Time [min]	Area [mAU.s]	Height [mAU]	Area [%]	Height [%]	W05 [min]	Compound Name
1	2.68	9452.25	383.65	40.00	40.00	0.15	
2	3.85	19966.05	682.00	60.00	60.00	0.25	
	Total	29418.59	1125.65	100.00	100.00		

**Sample Info:**

Sample ID	:	sample 34	Amount	0
Sample	:	sample 34	ISTD Amount	0
Inj. Volume [mL]	:	0.1	Dilution	1
Autostop	:	20.00 min	External Start	: Start - Restart, Down
Detector 1	:	Detector 3	Range 1	: Bipolar, 2000 mAU, 10 Samp. per Sec.
Subtraction Chromatogram	:	(None)	Matching	: No Change



Result chromatography Table (Uncal - F:\ sample 34)

No	Reten. Time [min]	Area [mAU.s]	Height [mAU]	Area [%]	Height [%]	W05 [min]	Compound Name
1	2.66	9620.12	385.44	25.00	25.00	0.15	
2	3.85	19865.28	689.58	40.00	40.00	0.25	
3	5.83	36598.08	463.25	35.00	35.00	0.20	
	Total	66083.19	1373.65	100.00	100.00		

05/03/2023 01:40 ,

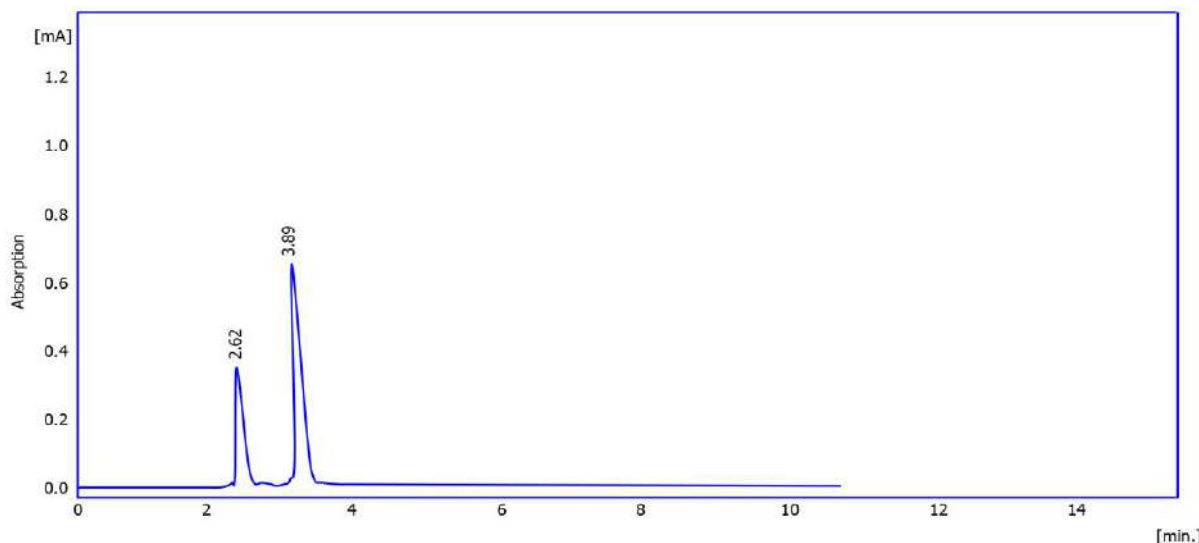
Chromatogram F:\ sample 35 .PRM

Page 1 of 1



Sample Info:

Sample ID	:	sample 35	Amount	0
Sample	:	sample 35	ISTD Amount	0
Inj. Volume [mL]	:	0.1	Dilution	1
Autostop	:	20.00 min	External Start	: Start - Restart, Down
Detector 1	:	Detector 3	Range 1	: Bipolar, 2000 mAU, 10 Samp. per Sec.
Subtraction Chromatogram	:	(None)	Matching	: No Change

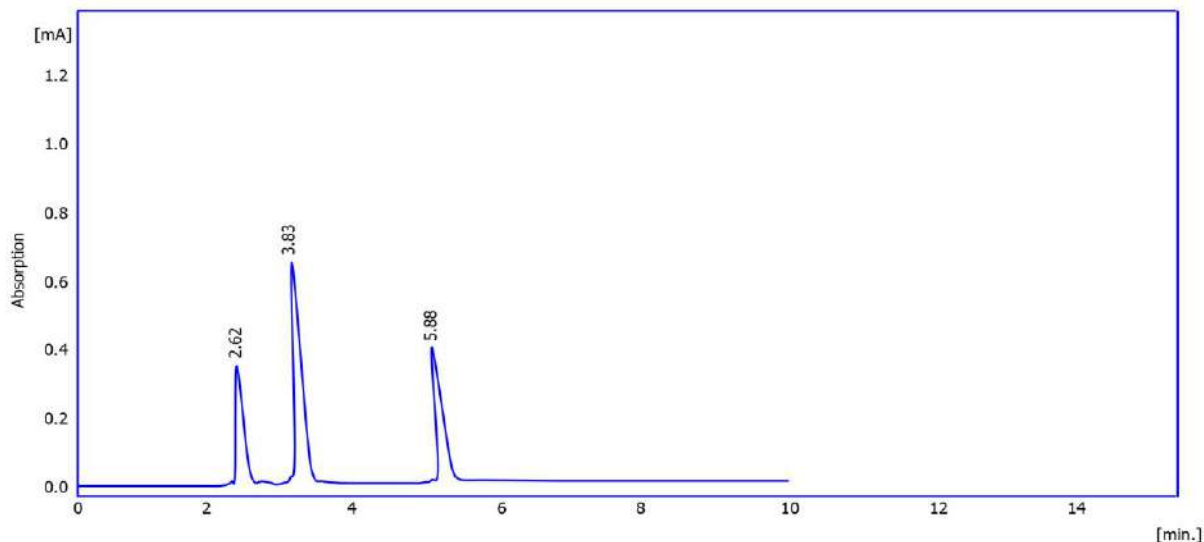


Result chromatography Table (Uncal - F:\ sample 35)

No	Reten. Time [min]	Area [mAU.s]	Height [mAU]	Area [%]	Height [%]	W05 [min]	Compound Name
1	2.62	9520.16	381.25	40.00	40.00	0.15	
2	3.89	19552.14	680.14	60.00	60.00	0.25	
	Total	29172.56	1061.39	100.00	100.00		

**Sample Info:**

Sample ID	:	sample 36	Amount	0
Sample	:	sample 36	ISTD Amount	0
Inj. Volume [mL]	:	0.1	Dilution	1
Autostop	:	20.00 min	External Start	: Start - Restart, Down
Detector 1	:	Detector 3	Range 1	: Bipolar, 2000 mAU, 10 Samp. per Sec.
Subtraction Chromatogram	:	(None)	Matching	: No Change



Result chromatography Table (Uncal - F:\ sample 36)

No	Reten. Time [min]	Area [mAU.s]	Height [mAU]	Area [%]	Height [%]	W05 [min]	Compound Name
1	2.62	9214.59	382.65	25.00	25.00	0.15	
2	3.83	19320.22	681.49	40.00	40.00	0.25	
3	5.88	39665.25	465.99	35.00	35.00	0.20	
	Total	68200.19	1375.28	100.00	100.00		

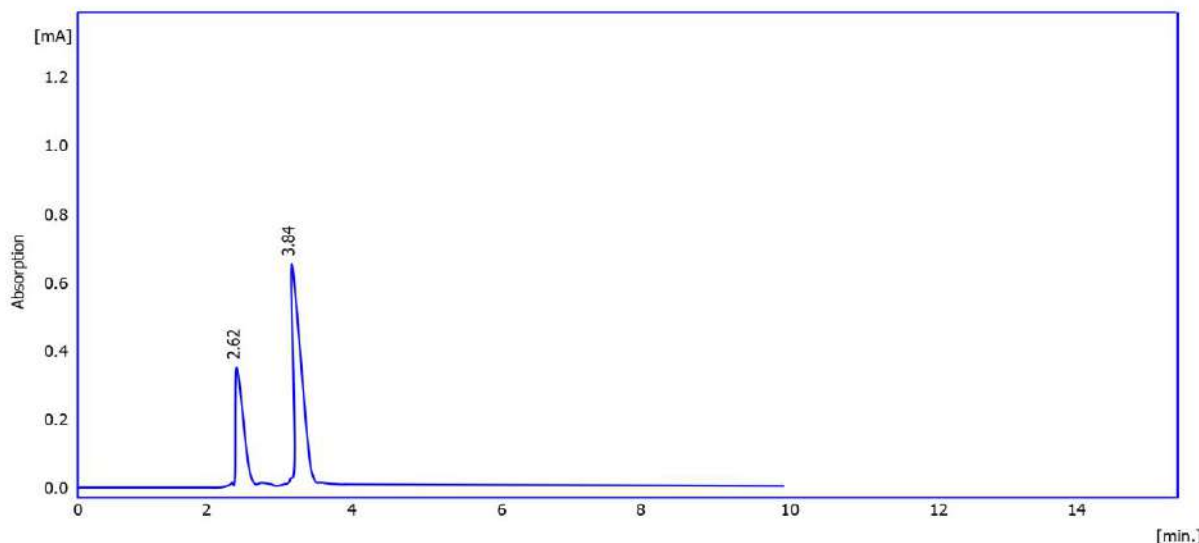
27/02/2023 01:40 μ

Chromatogram F:\ sample 37 .PRM

Page 1 of 1

**Sample Info:**

Sample ID	:	sample 37	Amount	0
Sample	:	sample 37	ISTD Amount	0
Inj. Volume [mL]	:	0.1	Dilution	1
Autostop	:	20.00 min	External Start	: Start - Restart, Down
Detector 1	:	Detector 3	Range 1	: Bipolar, 2000 mAU, 10 Samp. per Sec.
Subtraction Chromatogram	:	(None)	Matching	: No Change

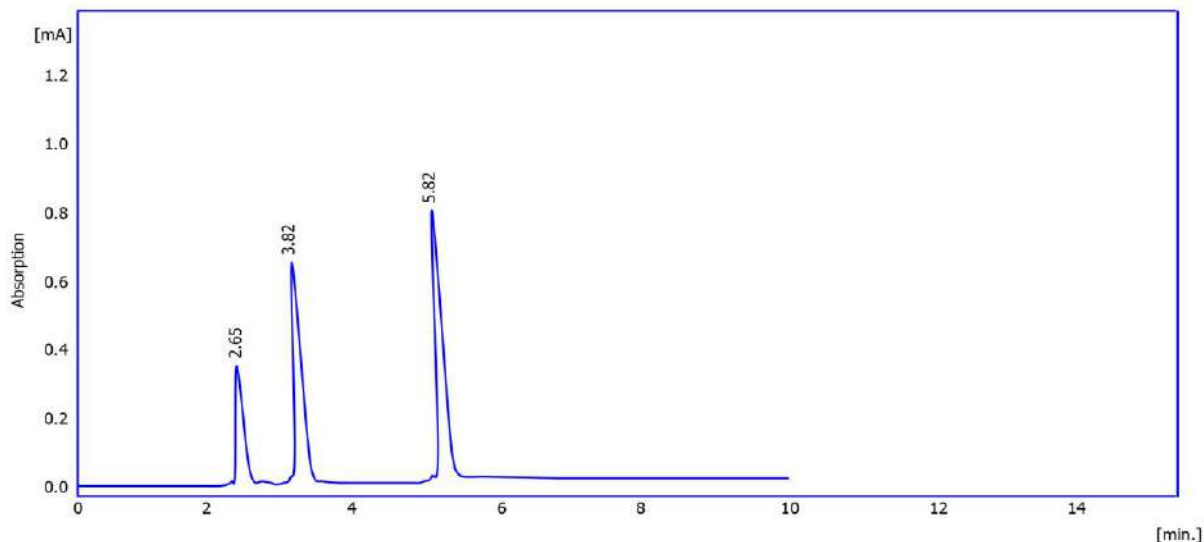


Result chromatography Table (Uncal - F:\ sample 37)

No	Reten. Time [min]	Area [mAU.s]	Height [mAU]	Area [%]	Height [%]	W05 [min]	Compound Name
1	2.62	9832.01	382.49	40.00	40.00	0.15	
2	3.84	19221.12	693.66	60.00	60.00	0.25	
	Total	29054.13	1933.65	100.00	100.00		

**Sample Info:**

Sample ID	:	sample 38	Amount	0
Sample	:	sample 38	ISTD Amount	0
Inj. Volume [mL]	:	0.1	Dilution	1
Autostop	:	20.00 min	External Start	: Start - Restart, Down
Detector 1	:	Detector 3	Range 1	: Bipolar, 2000 mAU, 10 Samp. per Sec.
Subtraction Chromatogram	:	(None)	Matching	: No Change



Result chromatography Table (Uncal - F:\ sample 38)

No	Reten. Time [min]	Area [mAU.s]	Height [mAU]	Area [%]	Height [%]	W05 [min]	Compound Name
1	2.65	9412.56	382.45	20.00	20.00	0.15	
2	3.82	19224.19	694.11	30.00	30.00	0.25	
3	5.82	60213.56	800.25	50.00	50.00	0.35	
	Total	88850.31	1871.58	100.00	100.00		

27/02/2023 01:40 ,

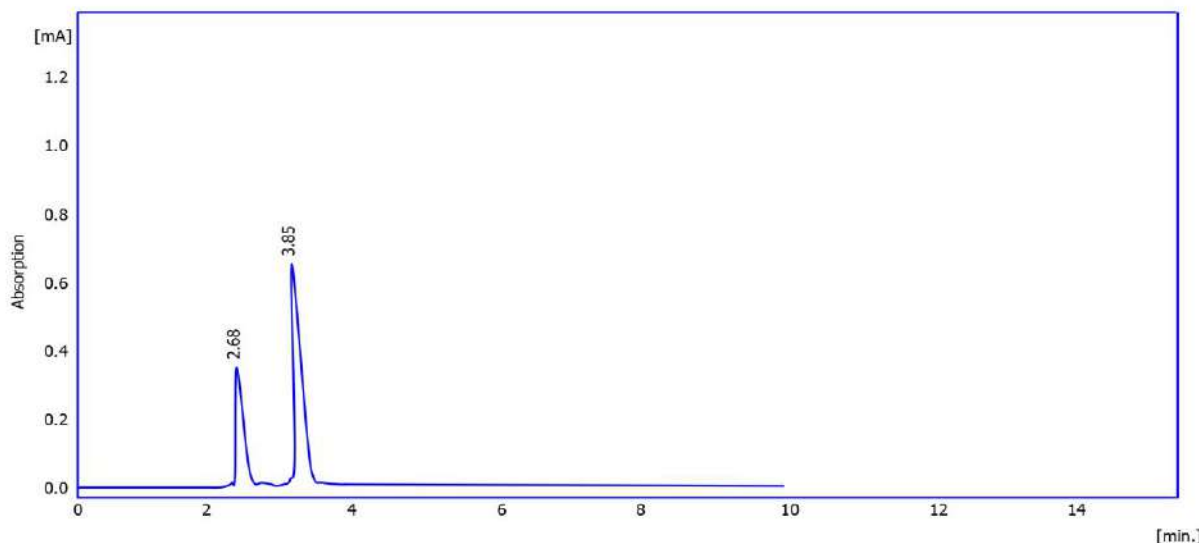
Chromatogram F:\ sample 39 .PRM

Page 1 of 1



Sample Info:

Sample ID	:	sample 39	Amount	0
Sample	:	sample 39	ISTD Amount	0
Inj. Volume [mL]	:	0.1	Dilution	1
Autostop	:	20.00 min	External Start	: Start - Restart, Down
Detector 1	:	Detector 3	Range 1	: Bipolar, 2000 mAU, 10 Samp. per Sec.
Subtraction Chromatogram	:	(None)	Matching	: No Change



Result chromatography Table (Uncal - F:\ sample 39)

No	Reten. Time [min]	Area [mAU.s]	Height [mAU]	Area [%]	Height [%]	W05 [min]	Compound Name
1	2.68	9720.15	381.05	40.00	40.00	0.15	
2	3.85	18145.10	692.11	60.00	60.00	0.25	
	Total	25214.25	1933.16	100.00	100.00		

28/02/2023 01:40 μ

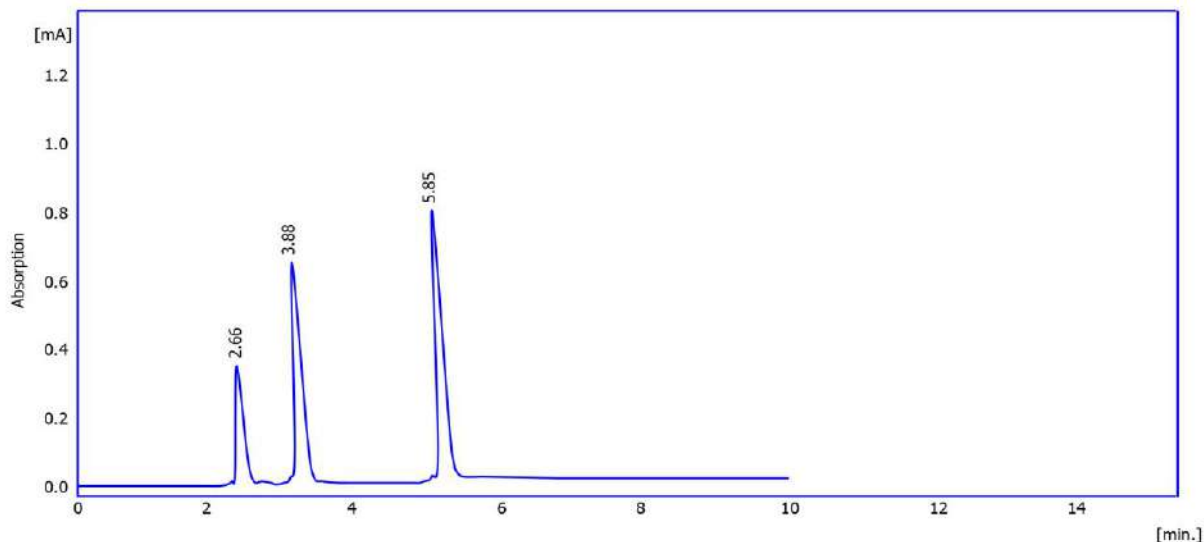
Chromatogram F:\ sample 40 .PRM

Page 1 of 1



Sample Info:

Sample ID	:	sample 40	Amount	0
Sample	:	sample 40	ISTD Amount	0
Inj. Volume [mL]	:	0.1	Dilution	1
Autostop	:	20.00 min	External Start	: Start - Restart, Down
Detector 1	:	Detector 3	Range 1	: Bipolar, 2000 mAU, 10 Samp. per Sec.
Subtraction Chromatogram	:	(None)	Matching	: No Change



Result chromatography Table (Uncal - F:\ sample 40)

No	Reten. Time [min]	Area [mAU.s]	Height [mAU]	Area [%]	Height [%]	W05 [min]	Compound Name
1	2.66	9620.14	382.84	20.00	20.00	0.15	
2	3.88	19858.66	694.22	30.00	30.00	0.25	
3	5.85	64221.56	800.12	50.00	50.00	0.35	
	Total	93700.25	1871.99	100.00	100.00		

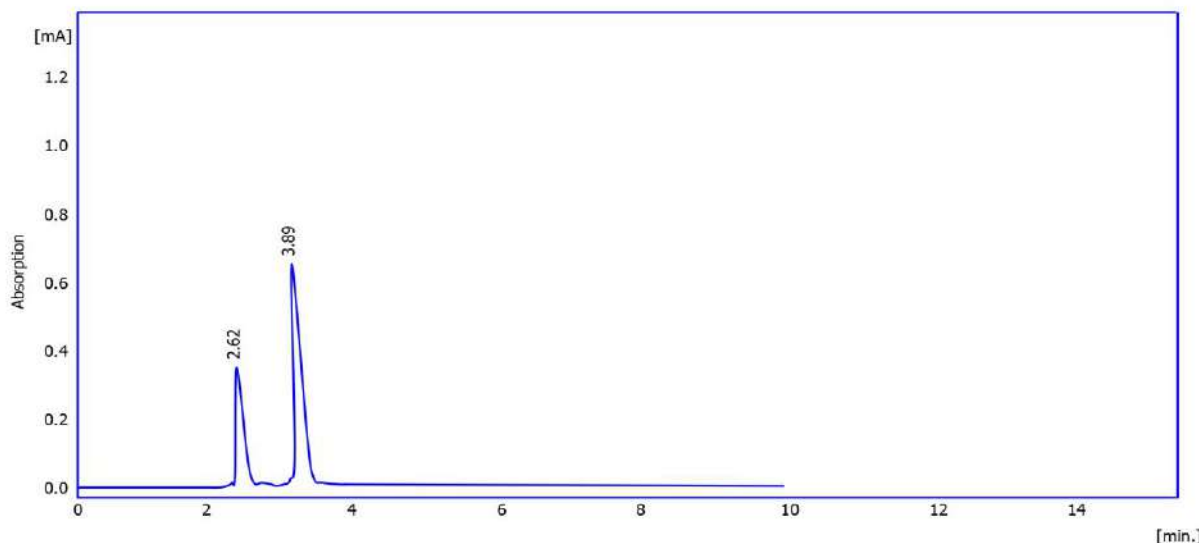
27/02/2023 01:40 μ

Chromatogram F:\ sample 41 .PRM

Page 1 of 1

**Sample Info:**

Sample ID	:	sample 41	Amount	0
Sample	:	sample 41	ISTD Amount	0
Inj. Volume [mL]	:	0.1	Dilution	1
Autostop	:	20.00 min	External Start	: Start - Restart, Down
Detector 1	:	Detector 3	Range 1	: Bipolar, 2000 mAU, 10 Samp. per Sec.
Subtraction Chromatogram	:	(None)	Matching	: No Change



Result chromatography Table (Uncal - F:\ sample 41)

No	Reten. Time [min]	Area [mAU.s]	Height [mAU]	Area [%]	Height [%]	W05 [min]	Compound Name
1	2.62	9542.08	381.33	40.00	40.00	0.15	
2	3.89	19332.16	692.05	60.00	60.00	0.25	
	Total	28874.24	1933.38	100.00	100.00		

28/02/2023 01:40 μ

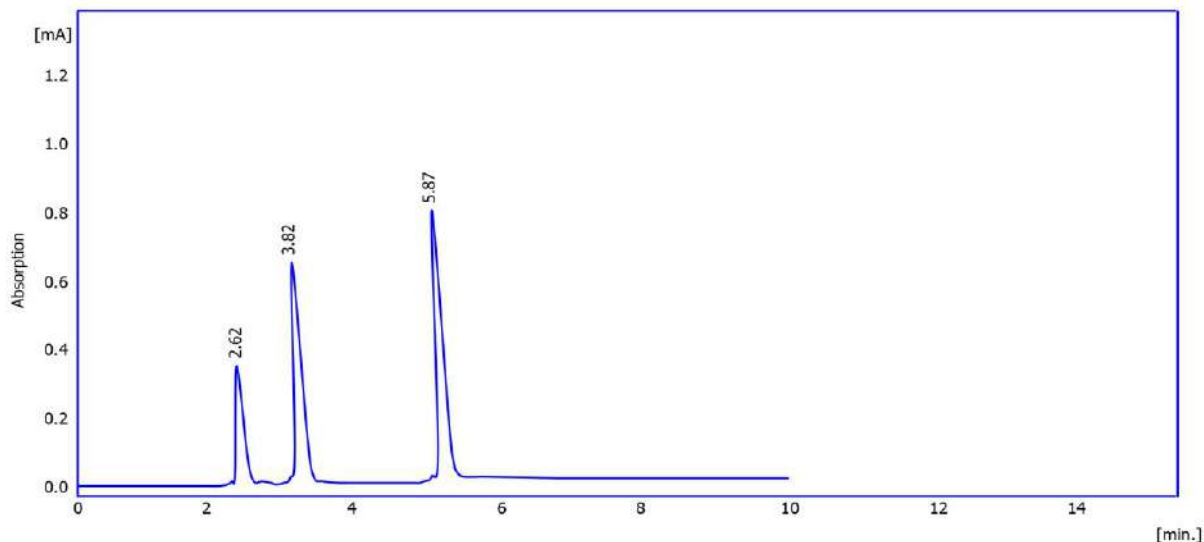
Chromatogram F:\ sample 42 .PRM

Page 1 of 1



Sample Info:

Sample ID	:	sample 42	Amount	0
Sample	:	sample 42	ISTD Amount	0
Inj. Volume [mL]	:	0.1	Dilution	1
Autostop	:	20.00 min	External Start	: Start - Restart, Down
Detector 1	:	Detector 3	Range 1	: Bipolar, 2000 mAU, 10 Samp. per Sec.
Subtraction Chromatogram	:	(None)	Matching	: No Change



Result chromatography Table (Uncal - F:\ sample 42)

No	Reten. Time [min]	Area [mAU.s]	Height [mAU]	Area [%]	Height [%]	W05 [min]	Compound Name
1	2.62	9485.11	383.15	20.00	20.00	0.15	
2	3.82	19320.15	695.22	30.00	30.00	0.25	
3	5.87	71256.00	802.14	50.00	50.00	0.35	
	Total	100061.49	1878.49	100.00	100.00		

02/03/2023 01:40 μ

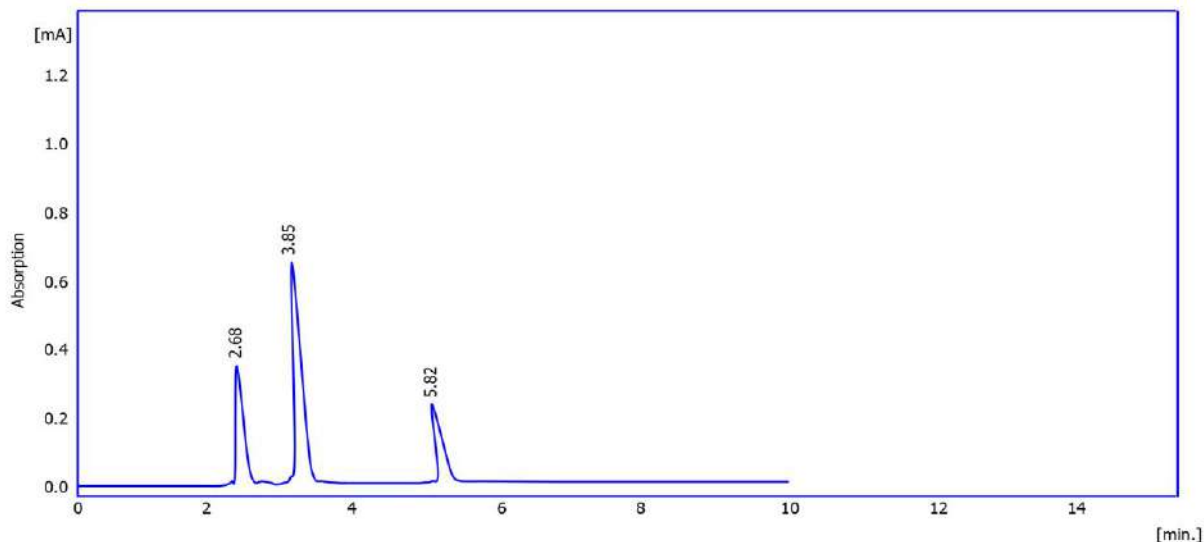
Chromatogram F:\ sample 44 .PRM

Page 1 of 1



Sample Info:

Sample ID	:	sample 44	Amount	0
Sample	:	sample 44	ISTD Amount	0
Inj. Volume [mL]	:	0.1	Dilution	1
Autostop	:	20.00 min	External Start	: Start - Restart, Down
Detector 1	:	Detector 3	Range 1	: Bipolar, 2000 mAU, 10 Samp. per Sec.
Subtraction Chromatogram	:	(None)	Matching	: No Change



Result chromatography Table (Uncal - F:\ sample 44)

No	Reten. Time [min]	Area [mAU.s]	Height [mAU]	Area [%]	Height [%]	W05 [min]	Compound Name
1	2.68	9365.02	380.15	30.00	30.00	0.15	
2	3.85	19712.66	682.66	50.00	50.00	0.25	
3	5.82	9825.23	251.46	20.00	20.00	0.15	
	Total	38902.56	1314.59	100.00	100.00		

02/03/2023 01:40 μ

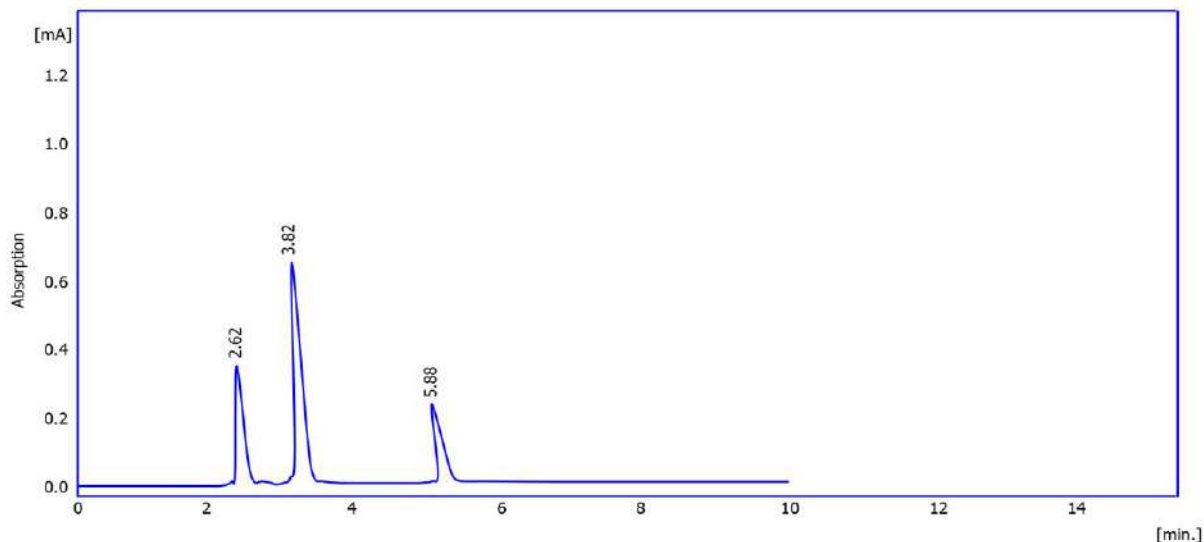
Chromatogram F:\ sample 46 .PRM

Page 1 of 1



Sample Info:

Sample ID	:	sample 46	Amount	0
Sample	:	sample 46	ISTD Amount	0
Inj. Volume [mL]	:	0.1	Dilution	1
Autostop	:	20.00 min	External Start	: Start - Restart, Down
Detector 1	:	Detector 3	Range 1	: Bipolar, 2000 mAU, 10 Samp. per Sec.
Subtraction Chromatogram	:	(None)	Matching	: No Change



Result chromatography Table (Uncal - F:\ sample 46)

No	Reten. Time [min]	Area [mAU.s]	Height [mAU]	Area [%]	Height [%]	W05 [min]	Compound Name
1	2.62	9854.15	381.45	30.00	30.00	0.15	
2	3.82	19521.46	683.22	50.00	50.00	0.25	
3	5.88	12352.11	252.55	20.00	20.00	0.15	
	Total	41826.59	1318.12	100.00	100.00		

02/03/2023 01:40 μ

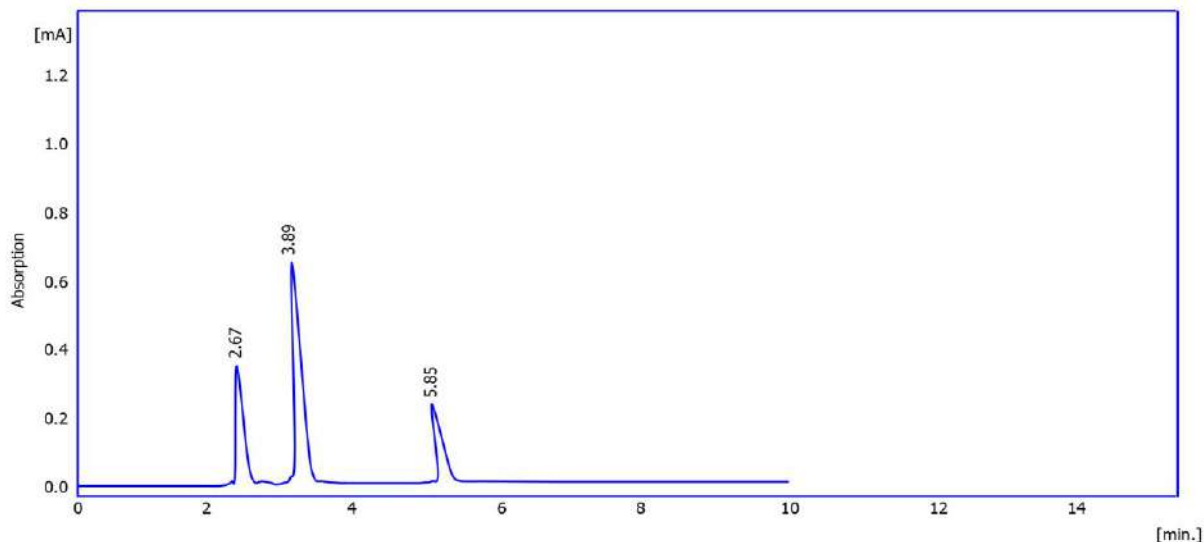
Chromatogram F:\ sample 48 .PRM

Page 1 of 1



Sample Info:

Sample ID	:	sample 48	Amount	0
Sample	:	sample 48	ISTD Amount	0
Inj. Volume [mL]	:	0.1	Dilution	1
Autostop	:	20.00 min	External Start	: Start - Restart, Down
Detector 1	:	Detector 3	Range 1	: Bipolar, 2000 mAU, 10 Samp. per Sec.
Subtraction Chromatogram	:	(None)	Matching	: No Change

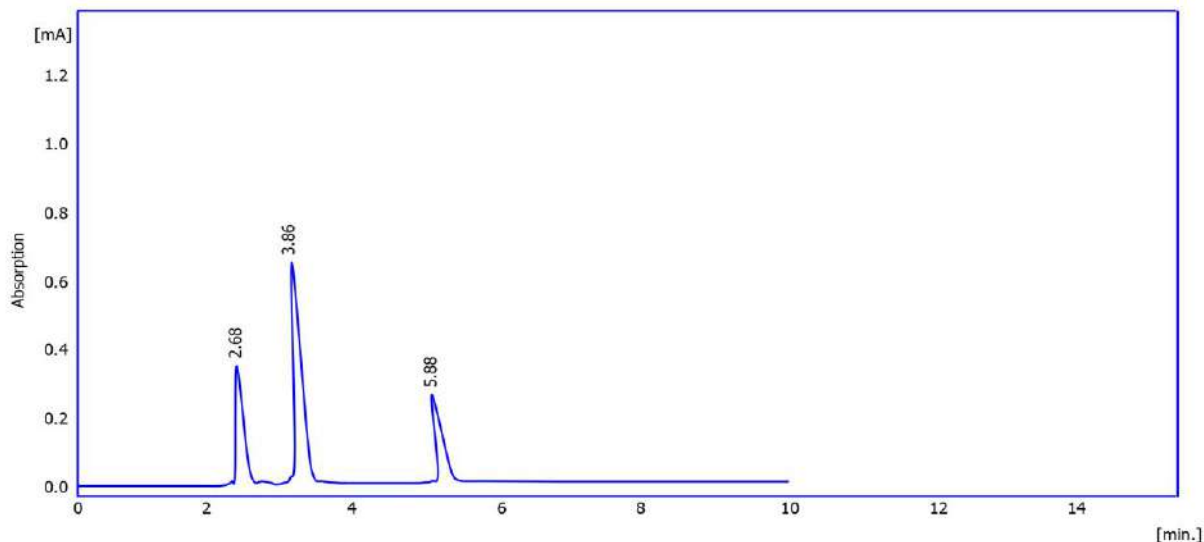


Result chromatography Table (Uncal - F:\ sample 48)

No	Reten. Time [min]	Area [mAU.s]	Height [mAU]	Area [%]	Height [%]	W05 [min]	Compound Name
1	2.67	9254.05	381.12	30.00	30.00	0.15	
2	3.89	18945.21	683.85	50.00	50.00	0.25	
3	5.85	15985.66	252.98	20.00	20.00	0.15	
	Total	44184.59	1319.55	100.00	100.00		

**Sample Info:**

Sample ID	:	sample 50	Amount	0
Sample	:	sample 50	ISTD Amount	0
Inj. Volume [mL]	:	0.1	Dilution	1
Autostop	:	20.00 min	External Start	: Start - Restart, Down
Detector 1	:	Detector 3	Range 1	: Bipolar, 2000 mAU, 10 Samp. per Sec.
Subtraction Chromatogram	:	(None)	Matching	: No Change



Result chromatography Table (Uncal - F:\ sample 50)

No	Reten. Time [min]	Area [mAU.s]	Height [mAU]	Area [%]	Height [%]	W05 [min]	Compound Name
1	2.68	9632.05	381.55	35.00	35.00	0.15	
2	3.86	19441.25	683.65	45.00	45.00	0.25	
3	5.88	5621.05	241.56	20.00	20.00	0.10	
	Total	34694.58	1306.73	100.00	100.00		

05/03/2023 01:40 μ

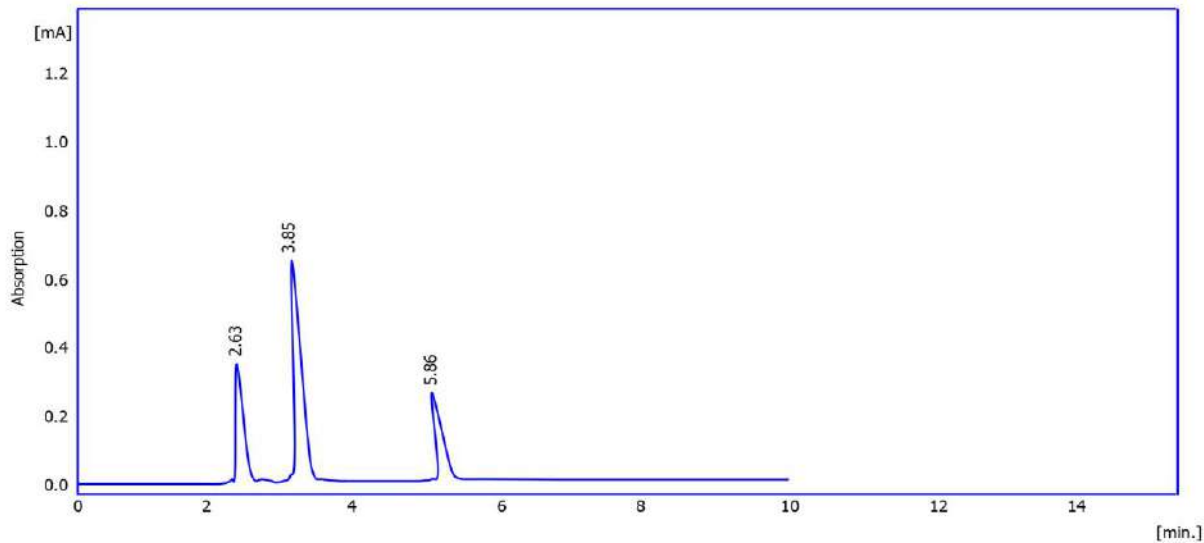
Chromatogram F:\ sample 52 .PRM

Page 1 of 1



Sample Info:

Sample ID	:	sample 52	Amount	0
Sample	:	sample 52	ISTD Amount	0
Inj. Volume [mL]	:	0.1	Dilution	1
Autostop	:	20.00 min	External Start	: Start - Restart, Down
Detector 1	:	Detector 3	Range 1	: Bipolar, 2000 mAU, 10 Samp. per Sec.
Subtraction Chromatogram	:	(None)	Matching	: No Change

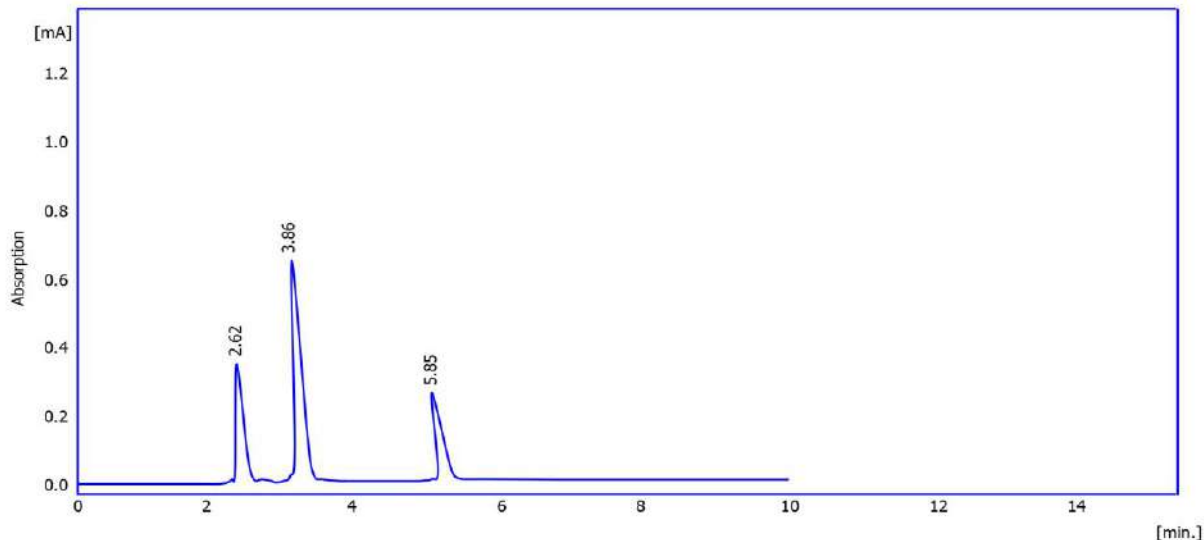


Result chromatography Table (Uncal - F:\ sample 52)

No	Reten. Time [min]	Area [mAU.s]	Height [mAU]	Area [%]	Height [%]	W05 [min]	Compound Name
1	2.63	9785.64	381.15	35.00	35.00	0.15	
2	3.85	19521.25	683.85	45.00	45.00	0.25	
3	5.86	7854.08	241.66	20.00	20.00	0.10	
	Total	37260.15	1307.98	100.00	100.00		

**Sample Info:**

Sample ID	:	sample 54	Amount	0
Sample	:	sample 54	ISTD Amount	0
Inj. Volume [mL]	:	0.1	Dilution	1
Autostop	:	20.00 min	External Start	: Start - Restart, Down
Detector 1	:	Detector 3	Range 1	: Bipolar, 2000 mAU, 10 Samp. per Sec.
Subtraction Chromatogram	:	(None)	Matching	: No Change



Result chromatography Table (Uncal - F:\ sample 54)

No	Reten. Time [min]	Area [mAU.s]	Height [mAU]	Area [%]	Height [%]	W05 [min]	Compound Name
1	2.62	9721.00	382.65	35.00	35.00	0.15	
2	3.86	19965.21	684.11	45.00	45.00	0.25	
3	5.85	9652.00	242.65	20.00	20.00	0.10	
	Total	39338.58	1312.99	100.00	100.00		

05/03/2023 01:40 μ

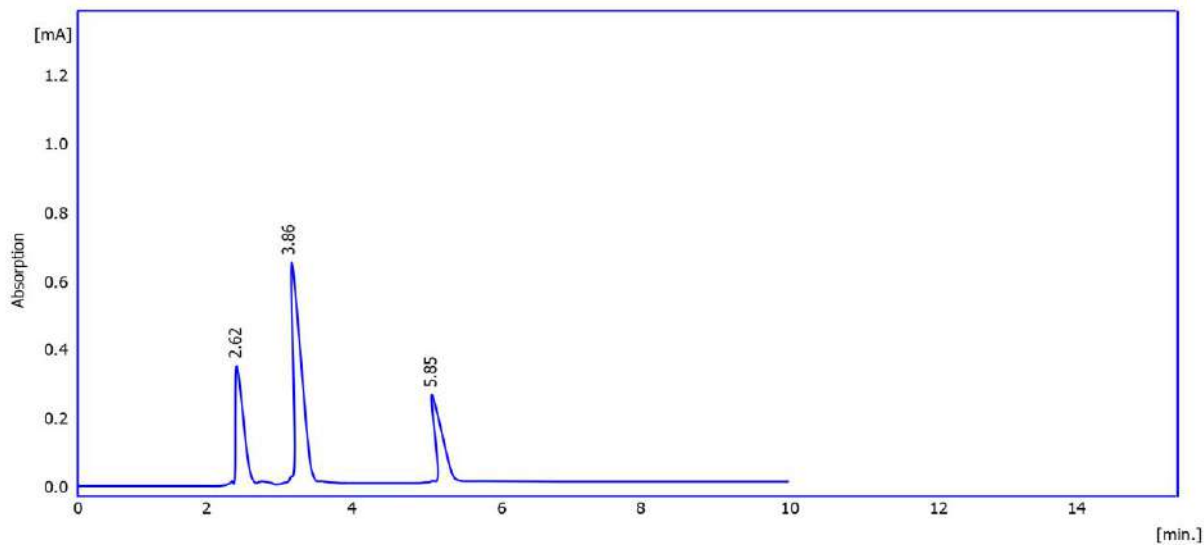
Chromatogram F:\ sample 54.PRM

Page 1 of 1



Sample Info:

Sample ID	:	sample 54	Amount	0
Sample	:	sample 54	ISTD Amount	0
Inj. Volume [mL]	:	0.1	Dilution	1
Autostop	:	20.00 min	External Start	: Start - Restart, Down
Detector 1	:	Detector 3	Range 1	: Bipolar, 2000 mAU, 10 Samp. per Sec.
Subtraction Chromatogram	:	(None)	Matching	: No Change



Result chromatography Table (Uncal - F:\ sample 54)

No	Reten. Time [min]	Area [mAU.s]	Height [mAU]	Area [%]	Height [%]	W05 [min]	Compound Name
1	2.62	9721.00	382.65	35.00	35.00	0.15	
2	3.85	19965.21	684.11	45.00	45.00	0.25	
3	5.85	9652.00	242.65	20.00	20.00	0.10	
	Total	39338.58	1312.99	100.00	100.00		

01/03/2023 01:40 μ

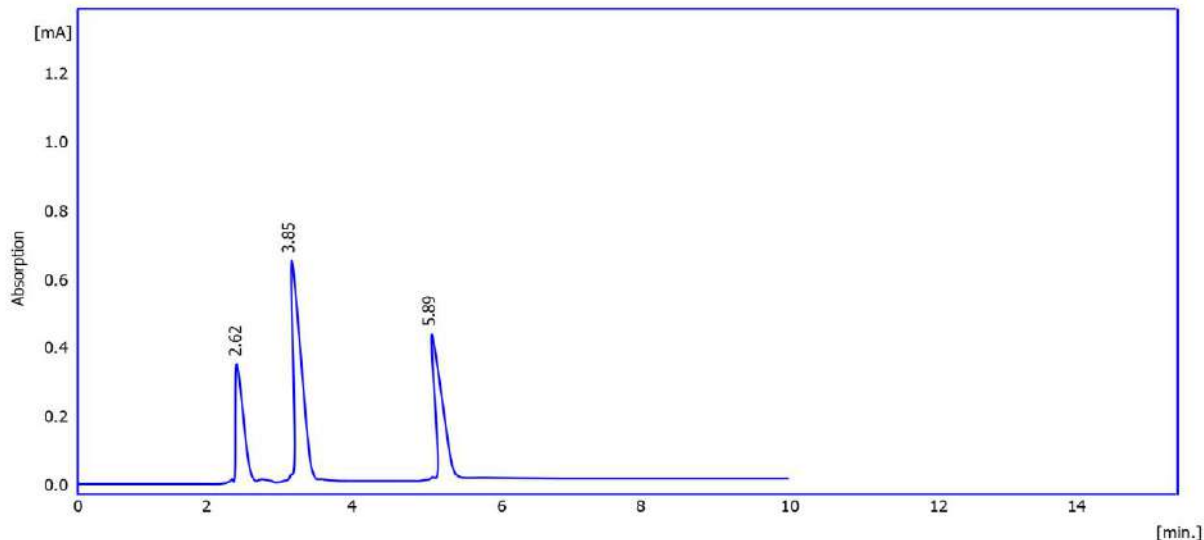
Chromatogram F:\ sample 56 .PRM

Page 1 of 1



Sample Info:

Sample ID	:	sample 56	Amount	0
Sample	:	sample 56	ISTD Amount	0
Inj. Volume [mL]	:	0.1	Dilution	1
Autostop	:	20.00 min	External Start	: Start - Restart, Down
Detector 1	:	Detector 3	Range 1	: Bipolar, 2000 mAU, 10 Samp. per Sec.
Subtraction Chromatogram	:	(None)	Matching	: No Change



Result chromatography Table (Uncal - F:\ sample 56)

No	Reten. Time [min]	Area [mAU.s]	Height [mAU]	Area [%]	Height [%]	W05 [min]	Compound Name
1	2.62	9410.23	380.15	25.00	25.00	0.15	
2	3.85	18441.25	691.55	40.00	40.00	0.25	
3	5.89	33256.01	410.23	35.00	35.00	0.25	
	Total	61107.49	1481.93	100.00	100.00		

01/03/2023 01:40 μ

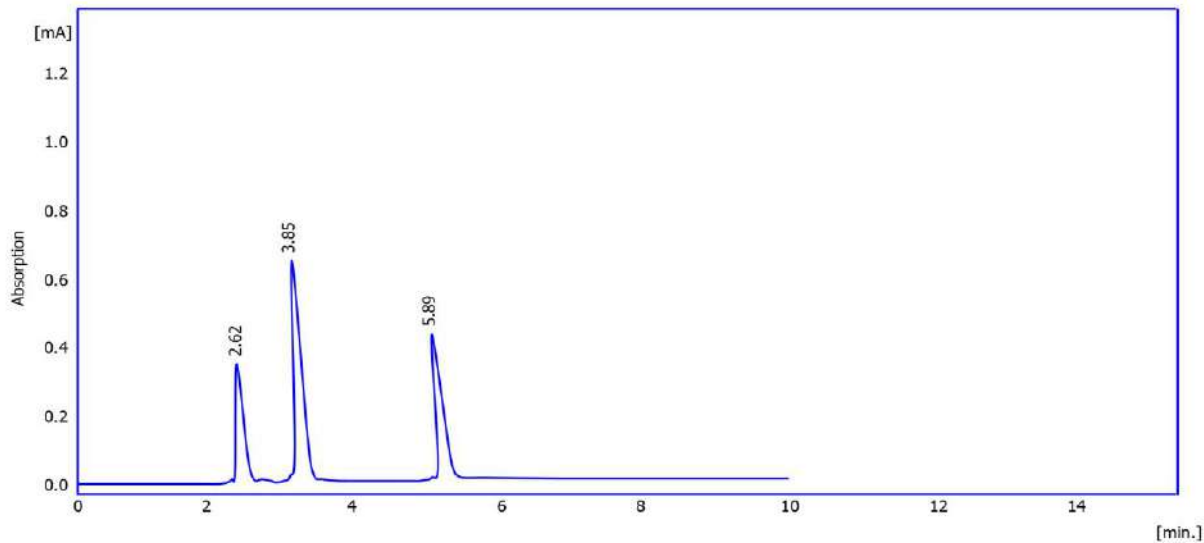
Chromatogram F:\ sample 56 .PRM

Page 1 of 1



Sample Info:

Sample ID	:	sample 56	Amount	0
Sample	:	sample 56	ISTD Amount	0
Inj. Volume [mL]	:	0.1	Dilution	1
Autostop	:	20.00 min	External Start	: Start - Restart, Down
Detector 1	:	Detector 3	Range 1	: Bipolar, 2000 mAU, 10 Samp. per Sec.
Subtraction Chromatogram	:	(None)	Matching	: No Change



Result chromatography Table (Uncal - F:\ sample 56)

No	Reten. Time [min]	Area [mAU.s]	Height [mAU]	Area [%]	Height [%]	W05 [min]	Compound Name
1	2.62	9410.23	380.15	25.00	25.00	0.15	
2	3.85	18441.25	691.55	40.00	40.00	0.25	
3	5.89	33256.01	410.23	35.00	35.00	0.25	
	Total	61107.49	1481.93	100.00	100.00		

01/03/2023 01:40 μ

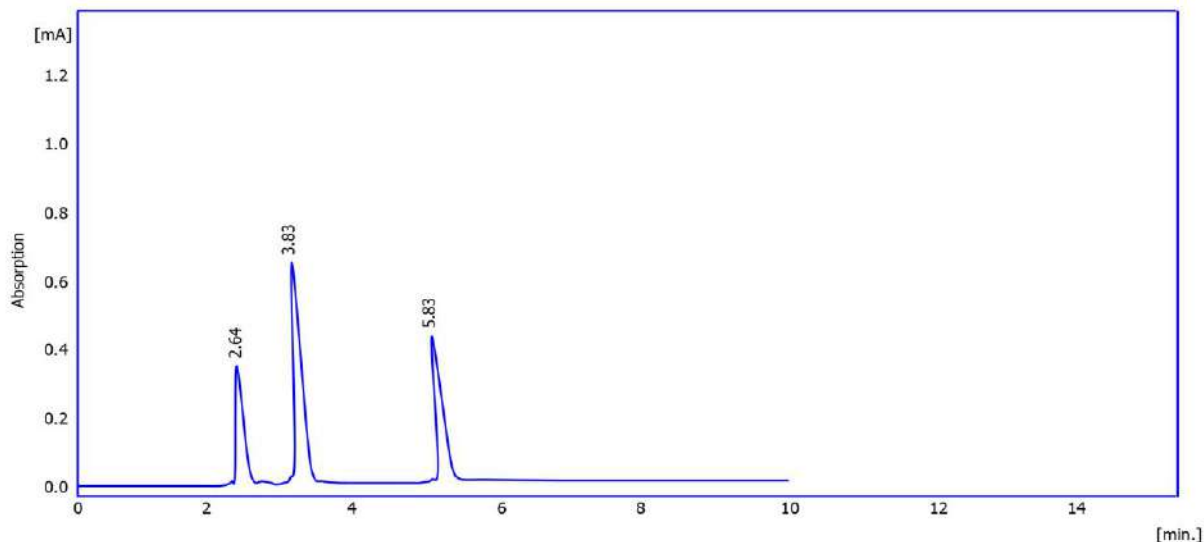
Chromatogram F:\ sample 58 .PRM

Page 1 of 1



Sample Info:

Sample ID	:	sample 58	Amount	0
Sample	:	sample 58	ISTD Amount	0
Inj. Volume [mL]	:	0.1	Dilution	1
Autostop	:	20.00 min	External Start	: Start - Restart, Down
Detector 1	:	Detector 3	Range 1	: Bipolar, 2000 mAU, 10 Samp. per Sec.
Subtraction Chromatogram	:	(None)	Matching	: No Change

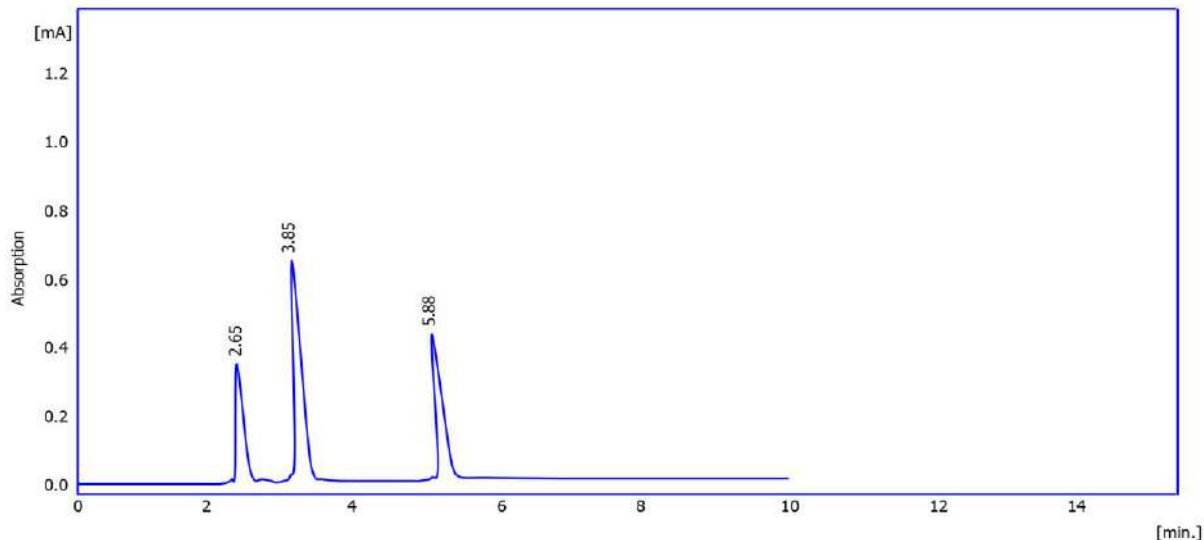


Result chromatography Table (Uncal - F:\ sample 58)

No	Reten. Time [min]	Area [mAU.s]	Height [mAU]	Area [%]	Height [%]	W05 [min]	Compound Name
1	2.64	9821.44	382.46	25.00	25.00	0.15	
2	3.83	19112.05	693.52	40.00	40.00	0.25	
3	5.83	39621.00	415.00	35.00	35.00	0.25	
	Total	68554.79	1489.48	100.00	100.00		

**Sample Info:**

Sample ID	:	sample 60	Amount	0
Sample	:	sample 60	ISTD Amount	0
Inj. Volume [mL]	:	0.1	Dilution	1
Autostop	:	20.00 min	External Start	: Start - Restart, Down
Detector 1	:	Detector 3	Range 1	: Bipolar, 2000 mAU, 10 Samp. per Sec.
Subtraction Chromatogram	:	(None)	Matching	: No Change



Result chromatography Table (Uncal - F:\ sample 60)

No	Reten. Time [min]	Area [mAU.s]	Height [mAU]	Area [%]	Height [%]	W05 [min]	Compound Name
1	2.65	9455.12	383.05	25.00	25.00	0.15	
2	3.85	19256.08	691.46	40.00	40.00	0.25	
3	5.88	43652.22	412.51	35.00	35.00	0.25	
	Total	72363.43	1492.66	100.00	100.00		

01/03/2023 01:40 μ

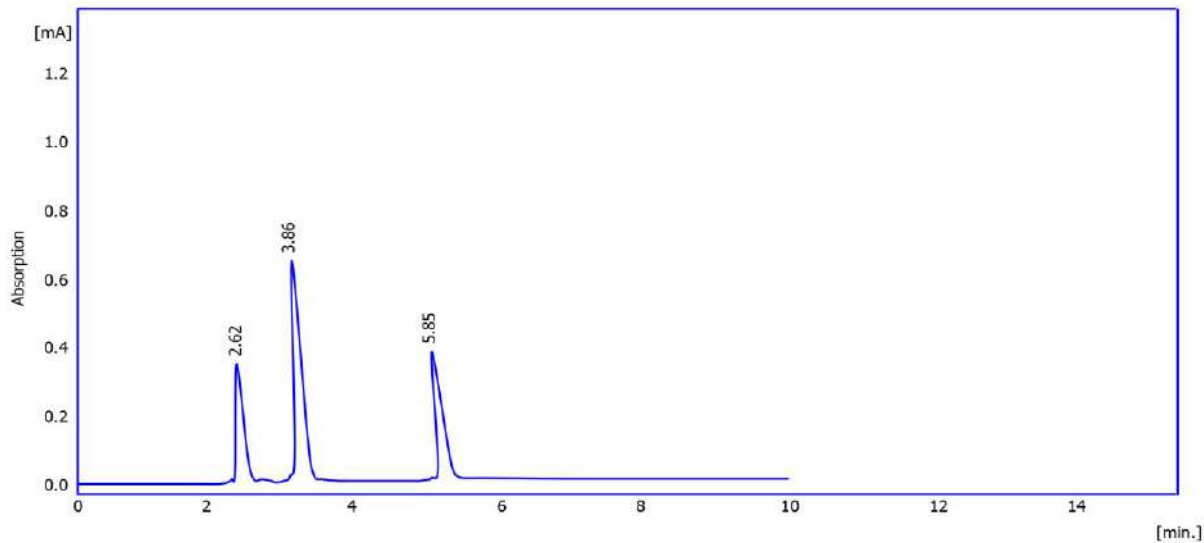
Chromatogram F:\ sample 74 .PRM

Page 1 of 1



Sample Info:

Sample ID	:	sample 74	Amount	0
Sample	:	sample 74	ISTD Amount	0
Inj. Volume [mL]	:	0.1	Dilution	1
Autostop	:	20.00 min	External Start	: Start - Restart, Down
Detector 1	:	Detector 3	Range 1	: Bipolar, 2000 mAU, 10 Samp. per Sec.
Subtraction Chromatogram	:	(None)	Matching	: No Change



Result chromatography Table (Uncal - F:\ sample 74)

No	Reten. Time [min]	Area [mAU.s]	Height [mAU]	Area [%]	Height [%]	W05 [min]	Compound Name
1	2.62	9520.36	385.14	25.00	25.00	0.15	
2	3.85	19788.14	685.46	40.00	40.00	0.25	
3	5.85	13524.58	401.25	35.00	35.00	0.25	
	Total	42833.54	1432.54	100.00	100.00		

01/03/2023 01:40 μ

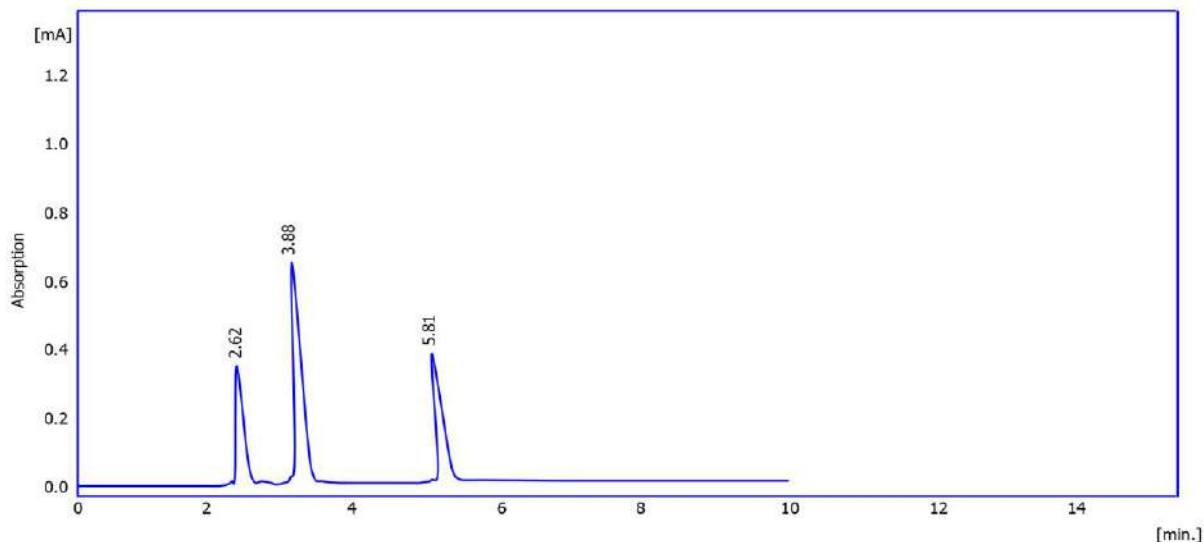
Chromatogram F:\ sample 76 .PRM

Page 1 of 1



Sample Info:

Sample ID	:	sample 76	Amount	0
Sample	:	sample 76	ISTD Amount	0
Inj. Volume [mL]	:	0.1	Dilution	1
Autostop	:	20.00 min	External Start	: Start - Restart, Down
Detector 1	:	Detector 3	Range 1	: Bipolar, 2000 mAU, 10 Samp. per Sec.
Subtraction Chromatogram	:	(None)	Matching	: No Change



Result chromatography Table (Uncal - F:\ sample 76)

No	Reten. Time [min]	Area [mAU.s]	Height [mAU]	Area [%]	Height [%]	W05 [min]	Compound Name
1	2.62	9412.33	382.52	25.00	25.00	0.15	
2	3.88	19901.23	684.15	40.00	40.00	0.25	
3	5.81	16221.45	402.66	35.00	35.00	0.25	
	Total	45535.01	1434.98	100.00	100.00		

01/03/2023 01:40 μ

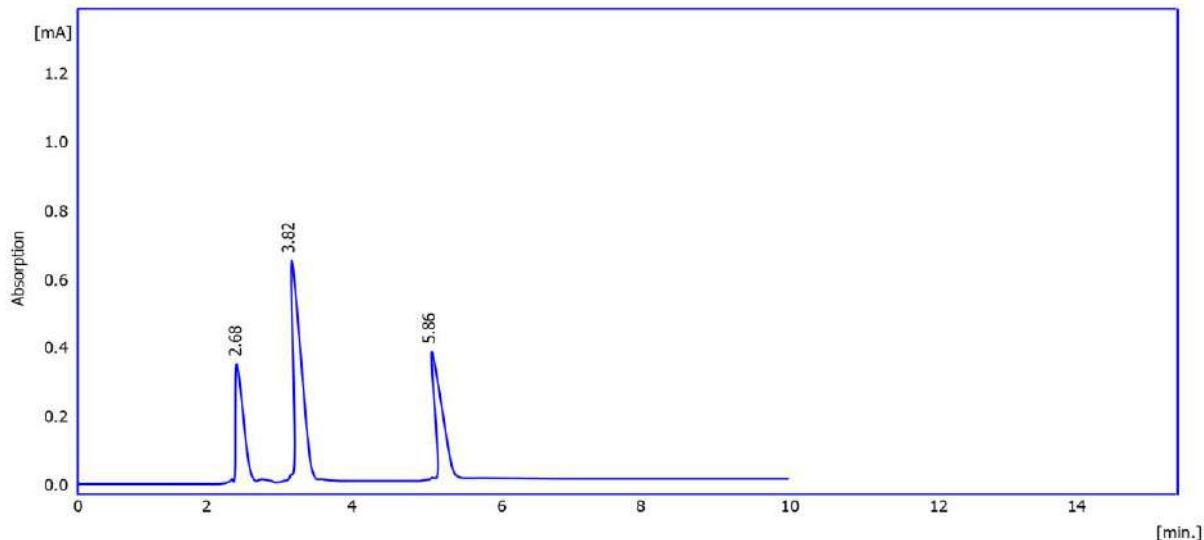
Chromatogram F:\ sample 78 .PRM

Page 1 of 1



Sample Info:

Sample ID	:	sample 78	Amount	0
Sample	:	sample 78	ISTD Amount	0
Inj. Volume [mL]	:	0.1	Dilution	1
Autostop	:	20.00 min	External Start	: Start - Restart, Down
Detector 1	:	Detector 3	Range 1	: Bipolar, 2000 mAU, 10 Samp. per Sec.
Subtraction Chromatogram	:	(None)	Matching	: No Change



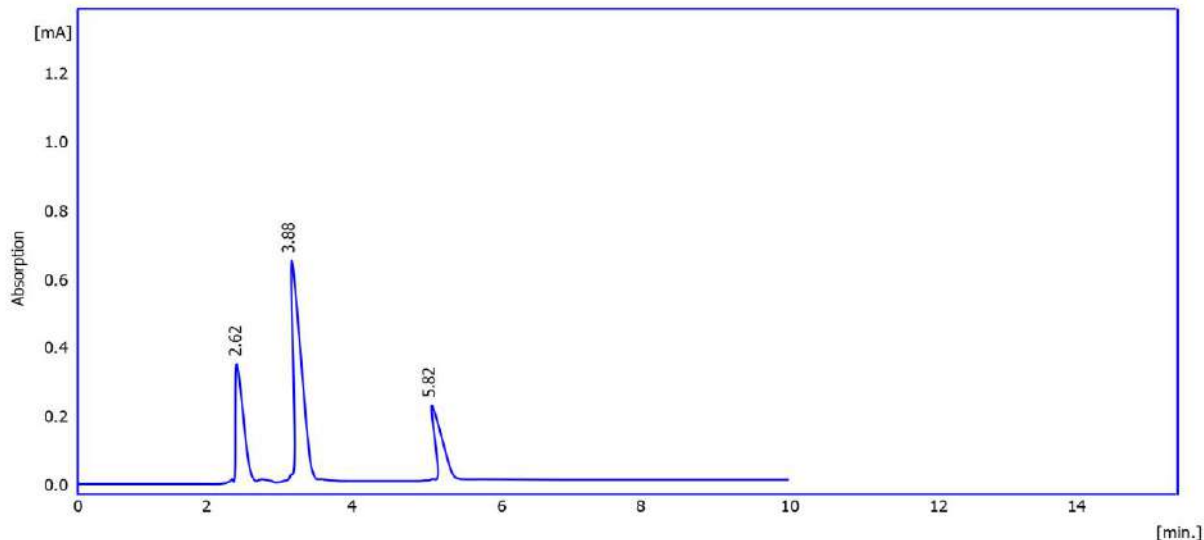
Result chromatography Table (Uncal - F:\ sample 78)

No	Reten. Time [min]	Area [mAU.s]	Height [mAU]	Area [%]	Height [%]	W05 [min]	Compound Name
1	2.68	9521.00	381.05	25.00	25.00	0.15	
2	3.82	18114.25	682.55	40.00	40.00	0.25	
3	5.86	18952.32	403.65	35.00	35.00	0.25	
	Total	46587.12	1436.98	100.00	100.00		

liter of water recorded 4238, 6176, 7933 and 4126, 6050 and 7353 mg L⁻¹ for each of the fungus and bacteria treatment, respectively after the treatment. In contrast,

**Sample Info:**

Sample ID	:	sample 96	Amount	0
Sample	:	sample 96	ISTD Amount	0
Inj. Volume [mL]	:	0.1	Dilution	1
Autostop	:	20.00 min	External Start	: Start - Restart, Down
Detector 1	:	Detector 3	Range 1	: Bipolar, 2000 mAU, 10 Samp. per Sec.
Subtraction Chromatogram	:	(None)	Matching	: No Change



Result chromatography Table (Uncal - F:\ sample 96)

No	Reten. Time [min]	Area [mAU.s]	Height [mAU]	Area [%]	Height [%]	W05 [min]	Compound Name
1	2.62	9632.05	380.22	35.00	35.00	0.15	
2	3.88	1955.14	680.14	45.00	45.00	0.25	
3	5.82	6221.05	230.52	20.00	20.00	0.10	
	Total	17808.49	1211.58	100.00	100.00		

liter of water recorded 4238, 6176, 7933 and 4126, 6050 and 7353 mg L⁻¹ for each of the fungus and bacteria treatment, respectively after the treatment. In contrast, control treatment reached 4640, 6828, 8725 mg L-1, then the pesticide concentration began to decrease after 3 days of treatment, recording 1552, 2235, 3096 and 1132, 1955, 2626 mg L-1, respectively. On the seventh day, the concentrations decreased, recording 975, 1227, 1970 and 541, 942, 1242 mg L-1, respectively, compared to the control treatment, which recorded 1493, 3675 and 4536 mg L-1. On the tenth day, no residues were recorded in the soil.

The residuals of Glyphosate in water for 15 days showed that the three concentrations used, 10, 15 and 20 ml/liter of water, recorded 3520, 5600 and 7955 mg L⁻¹, respectively, immediately after the treatment. The pesticide concentration began to decrease, and with the passage of days, The study reached 822, 2011 and 3652 mg L-1, respectively, on the seventh day. The concentrations decreased on the tenth day, recording 356, 852, and 1203 mg L-1, respectively, and after that, on the 15th day, the HPLC device was not sensitive to any of the concentrations used in the water treatment.

The results of a study using nano-silica as an adsorption agent in the removal of Glyphosate in water indicated that the concentration of 200 mg L⁻¹ achieved the highest rate of removal of the pesticide with a percentage of 89.37%, surpassing the other concentrations of 100 and 150 mg L⁻¹, which achieved 63.45 and 82.87% respectively.

Abstract

A laboratory and field experiment was carried out at the College of Agriculture - University of Kerbala to evaluate the biological factors *Trichoderma harzianum*, *Azotobacter chroococcum*, *Bacillus subtilis*, *Pseudomonas fluorescens* and their role in the biodegradation of the Glyphosate pesticide under the commercial name Teller SL 48%. Laboratory studies included the assessment of tolerance and growth of biological factors in culture media treated with different concentrations of pesticides. Field studies assessed the role of biological factors in biodegradation and measurement of Glyphosate weed pesticide residues at concentrations of 10, 15 and 20 ml/liter of water in soil and water using HPLC. Nano-silica has also been used as an adsorption agent to remove pesticides from water.

It is noted from the laboratory study of the treatment of agricultural media with three concentrations of 10, 15, 20 and 25 ml/liter of Glyphosate pesticide that the *A.chroococcum* showed a remarkable response in its ability to grow and tolerate the concentrations of the pesticide used, as it recorded a growth rate of 7.20 cm in diameter and did not differ significantly from the treatment of the *T. harzianum*, which recorded a growth rate of 6.00 cm in diameter. However, the lowest growth rate was 4.60 cm for the *P. fluorescens*, which differed significantly from other treatments. Concentrations 10 and 15 ml/L was the best form of extension and growth for *A. chroococcum*, *B. subtilis* and *T. harzianum*, recording growths of 9, 8, 7, 5 and 7.5 cm, respectively, compared to the control treatment that achieved 9 cm. In contrast, the bacteria *P. fluorescens* achieved a growth extension of 6 and 4 cm, respectively.

The results of inhibition of the bacteria *A.chroococcum* and the fungus *T. harzianum* showed that the highest percentage of inhibition by the use of Glyphosate was for the bacteria at the concentration of the pesticide 20 ml / L, with 58.30%, and with significant differences from the treatment of the fungus *T. harzianum*, which recorded a percentage of inhibition of 66.70% at the same concentration. The 10 ml/liter concentration recorded the lowest inhibition rates of 18.90 and 55.60% for bacteria and fungi, respectively. In light of the obtained results, three concentrations were chosen, namely 10, 15 and 20 ml/liter, with the selection of the bacteria *A. chroococcum* and the fungus *T. harzianum* for field experiments.

The results of the study of fungus and bacteria evaluation of the biodegradation of Glyphosate in the soil showed that the three concentrations used 10, 15 and 20 ml /



Ministry of Higher Education and Scientific Research University of Karbala

College of Agriculture

Department of Plant Protection

Effect of some biological agents, silica and silver nanoparticles on pesticide degradation

Clayphosate bushes in the soil

Thesis submitted to

**The Council of the College of Agriculture / University of Karbala as
Partial Fulfillment of the Requirement for**

Degree of Master of Sciences in Agriculture – Plant Protection

BY

Wasan Sahib Eatia

Supervised by

Asst.prof. Dr . Mushtak Talib Muhammadali

The second supervisor

Asst.prof. Dr. Astabriq Muhammad Abd al-Ridha

1444 A.H

2023 A.D